Atlas

zu den

Abhandlungen

zur

geologischen Specialkarte

von

Preussen

und

den Thüringischen Staaten.

Band VI. Heft 3.





Berlin.

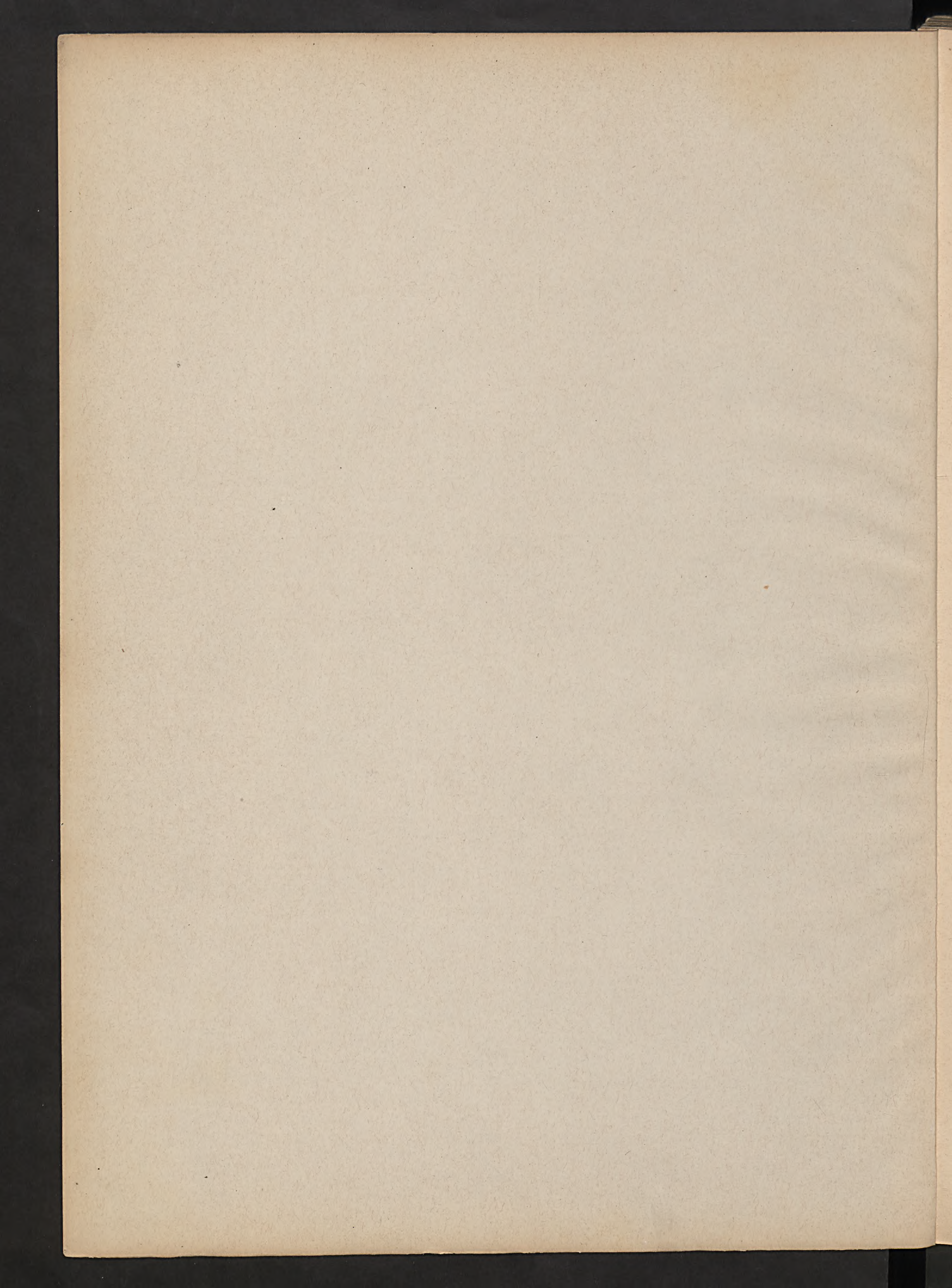
In Commission bei der Simon Schropp'schen Hof-Landkartenhandlung.

(J. H. Neumann.)

1885.

Abhandlungen zur geologischen Specialkarte von Preussen et[illegible] Bd. VI. Heft 3. Atl[illegible]

7



Atlas

zu den

Abhandlungen

zur

geologischen Specialkarte

von

Preussen

und

den Thüringischen Staaten.



Band VI.

Heft 3.

BERLIN.
In Commission bei der Simon Schropp'schen Hof-Landkartenhandlung.
(J. H. Neumann.)
1885.


POLITECHNIKA GDAŃSKA
Z ZASOBÓW
BIBLIOTEKI GŁÓWNEJ
II 15013

Atlas

von

27 lithographirten Tafeln

zu der Abhandlung:

Die Fauna des samländischen Tertiärs.

Von

Dr. Fritz Noetling.

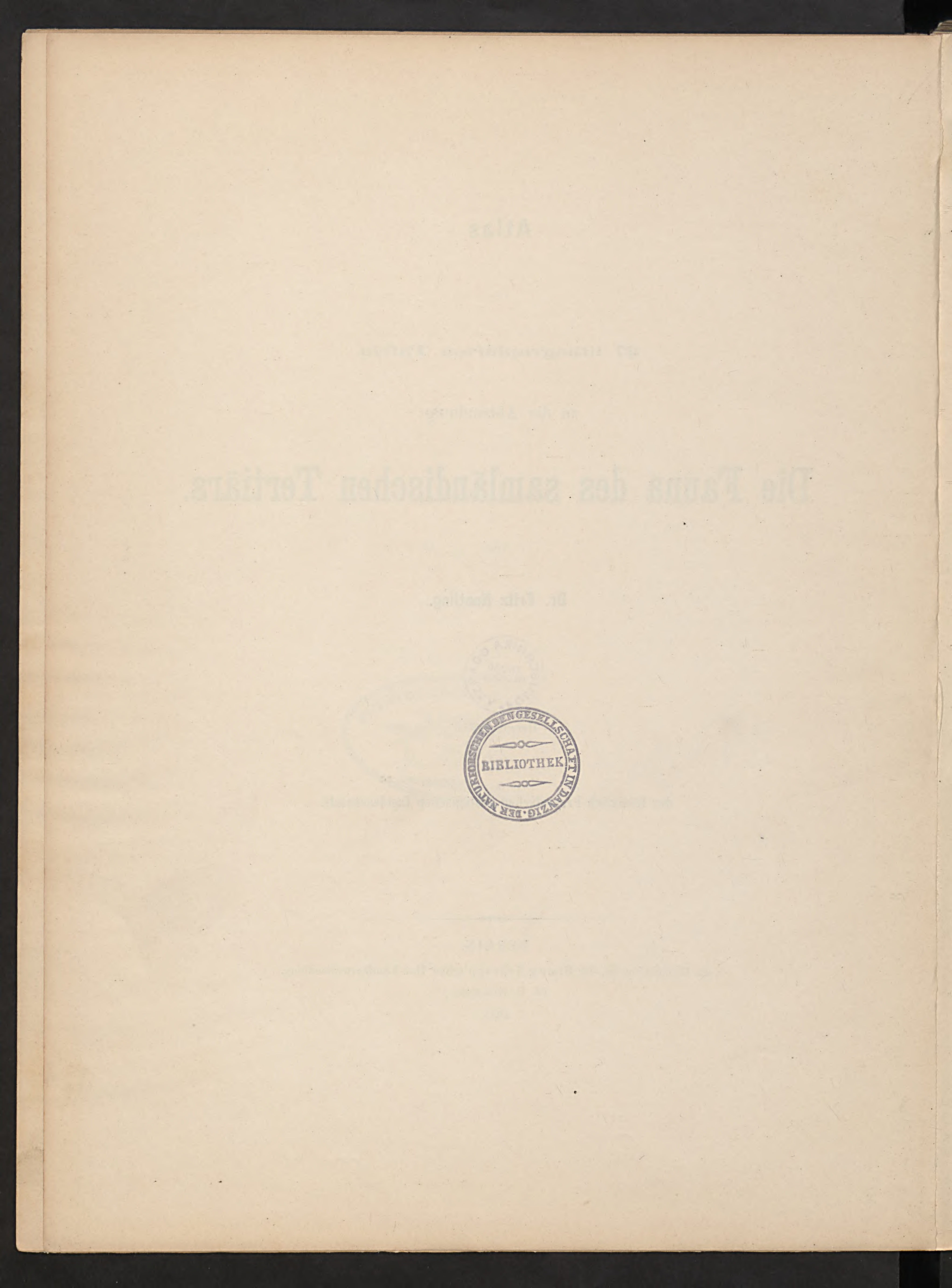


Herausgegeben

von

der Königlich Preussischen geologischen Landesanstalt.

BERLIN.
In Commission bei der Simon Schropp'schen Hof-Landkartenhandlung.
(J. H. Neumann.)
1885.



Lieferung I.

Vertebrata.

Tafel I—XI.



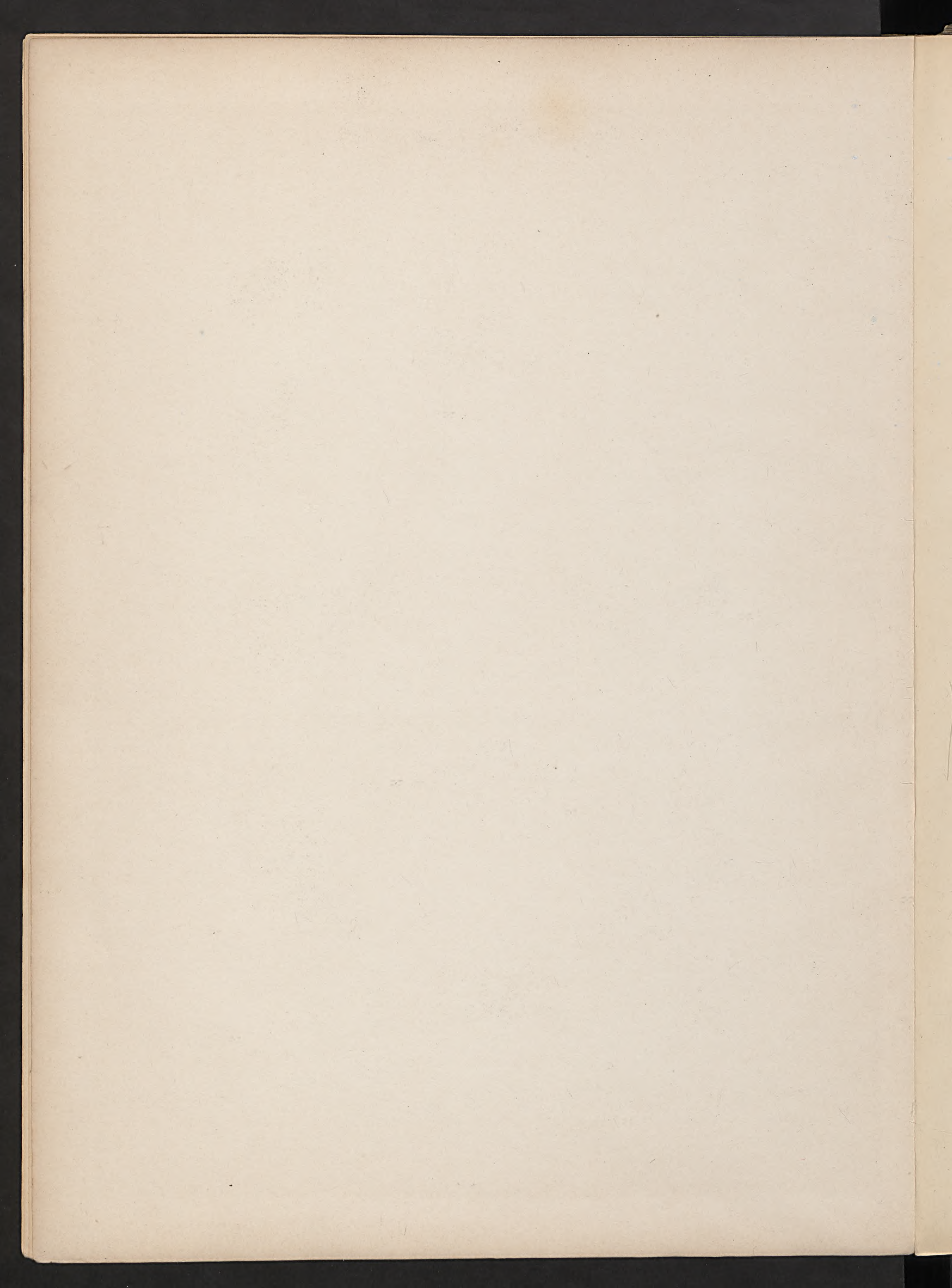

POLITECHNIKA GDAŃSKA
ZAKŁAD GEOLOGJI

Tafel I.

Fig. 1. *Edaphodon Bucklandi* Agassiz, Fragment der rechten Postdentalplatte. Kaufläche.
Fig. 1a. » » » Vorderansicht.
Fig. 1b. » » » Hinteransicht.
Fig. 1c. » » » Seitenansicht (auf die Symphyse gesehen).
a. Vorderer Innenzahn.
b. Hinterer Innenzahn. b' hintere Bruchfläche von b.
c. Aussenzahn.
Fig. 2. *Elasmodus Hunteri* Owen, rechte Postdentalplatte. Ansicht der Kaufläche.
Fig. 2a. » » » » » Seitenansicht.
(Das Stück ist etwas gedreht, so dass auch die Furche der schmalen Unterseite sichtbar wird.)
Fig. 2b. *Elasmodus Hunteri* Owen, rechte Postdentalplatte. Hinteransicht.
a. Aussenzahn.
b. Symphysenzahn.
c. Medianzahn.
Fig. 3. *Elasmodus Hunteri* Owen, rechte Dentalplatte. Ansicht der Kaufläche.
Fig. 3a. » » » » » Unterseite.
Fig. 3b. » » » » » Vorderansicht.
a. Medianzahn.
b. Seitenzähne.
c. Symphysenzahn.
Fig. 4. *Notidanus primigenius* Agassiz.
Fig. 5. *Notidanus primigenius* Agassiz, natürl. Grösse.
Fig. 5a. » » » hinterer Theil vergrössert.
Sämmtlich aus der Zone A_1.

1. 1.a 1.b 1c 2 2a 2b 3. 3a 3b 4 5 5a.

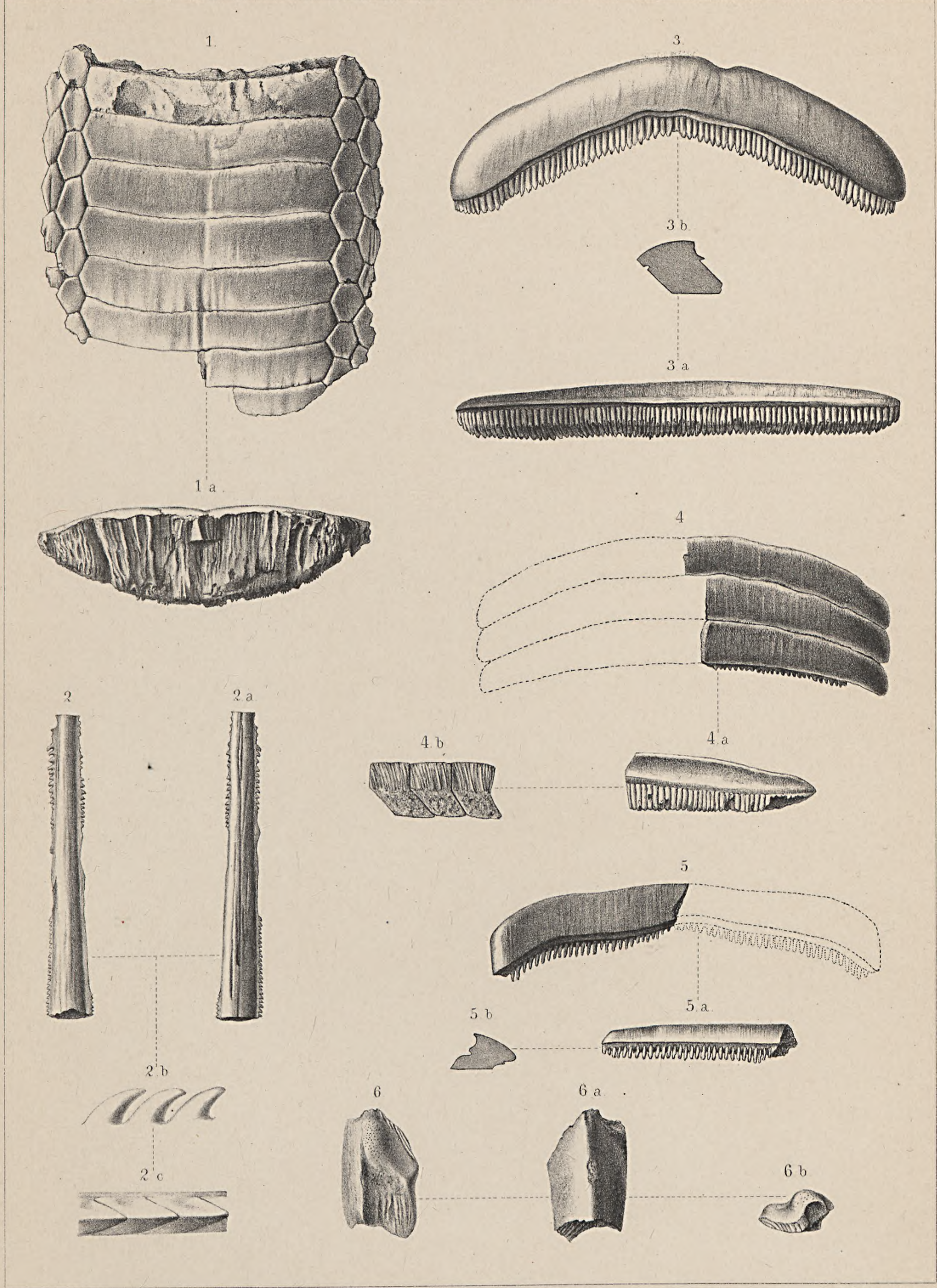
H. Braune del., W. Pütz lith. Druck v. A. Renaud.



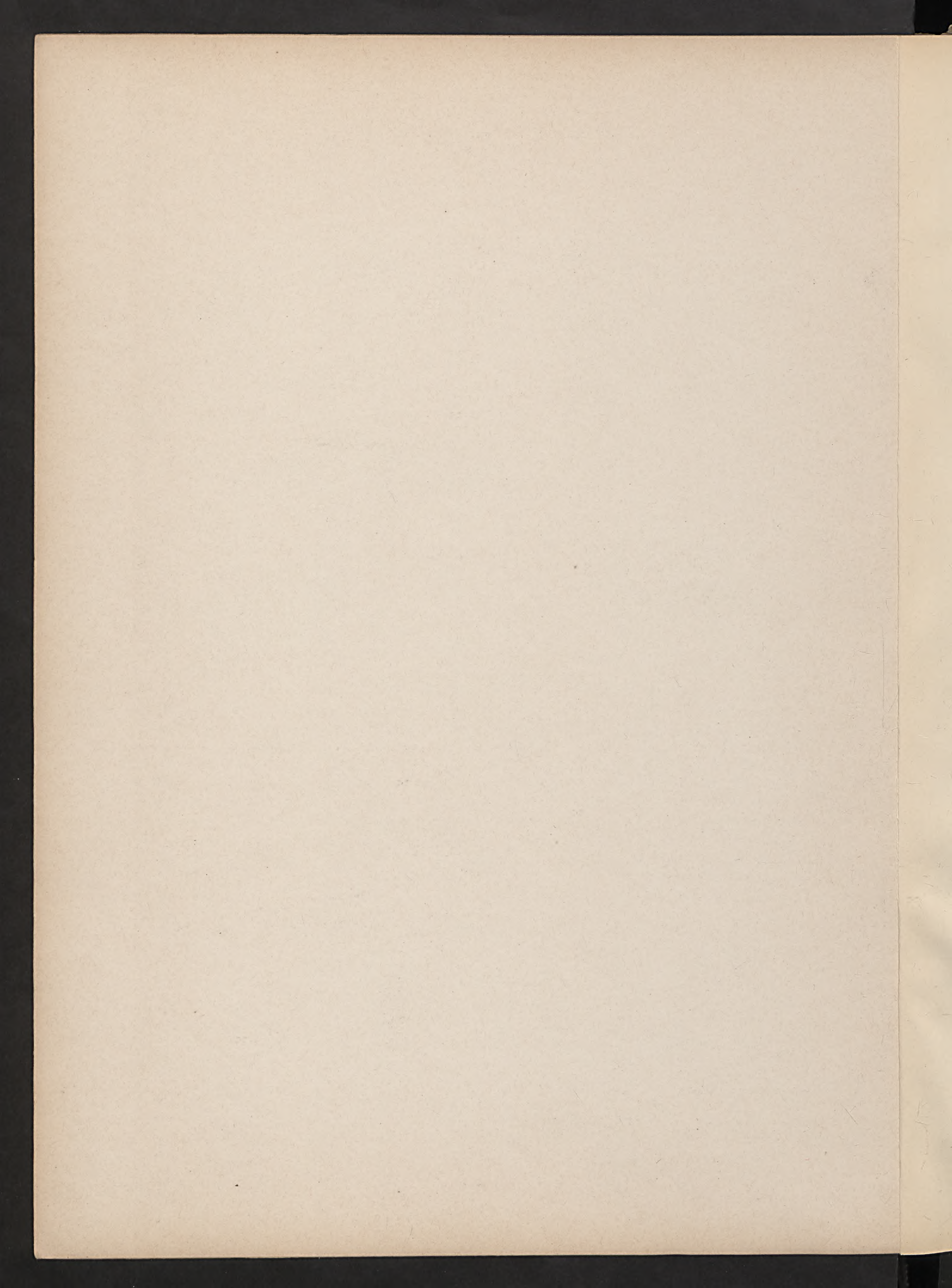
Tafel II.

Fig. 1.	*Myliobates toliapicus* Agassiz, Oberseite.	
Fig. 1a.	» » » Querschnitt der Platte (Hinteransicht).	
Fig. 2.	*Myliobates* sp., Flossenstachel. Vorderseite.	
Fig. 2a.	» » » Hinterseite.	
Fig. 2b.	» » Seitenzähne des Flossenstachels. Seitenansicht	stark vergrössert.
Fig. 2c.	» » » » » Ansicht von oben	
Fig. 3.	*Aëtobates Dixoni* Agassiz, einzelne Zahnplatte. Oberseite.	
Fig. 3a.	» » » » » Hinterseite.	
Fig. 3b.	» » » Querschnitt.	
Fig. 4.	*Aëtobates irregularis* Agassiz, Oberseite.	
Fig. 4a.	» » » Hinterseite.	
Fig. 4b.	» » » Querschnitt.	
Fig. 5	*Aëtobates irregularis* Agassiz, Oberseite.	
Fig. 5a.	» » » Hinterseite.	
Fig. 5b.	» » » Querschnitt.	
Fig. 6.	*Elasmodus Hunteri* Owen sp., linke Prädentalplatte. Innenfläche.	
Fig. 6a.	» » » » » » Aussenfläche.	
Fig. 6b.	» » » » » » Vorderansicht.	

Sämmtlich aus der Zone A_1.



E. Braune del. W. Pütz lith. Druck v. A. Renaud.



Tafel III.

Oxyrhina xiphodon Agassiz.

Mittelzähne.

Fig. 1. Mittelzahn des Unterkiefers. Internseite.
Fig. 1a. » » » Externseite.
Fig. 1b. » » » Seitenansicht.
Fig. 1c. » » » Unterseite.
Fig. 1d. » » » Querschnitt.
Fig. 2. Mittelzahn des Oberkiefers. Internseite.
Fig. 2a. » » » Externseite.
Fig. 2b. » » » Seitenansicht.
Fig. 2c. » » » Unterseite.
Fig. 2d. » » » Querschnitt.
Fig. 3. Mittelzahn des Oberkiefers. Internseite.
Fig. 3a. » » » Externseite.

Seitenzähne.

Aus dem vorderen Theil des Kiefers:

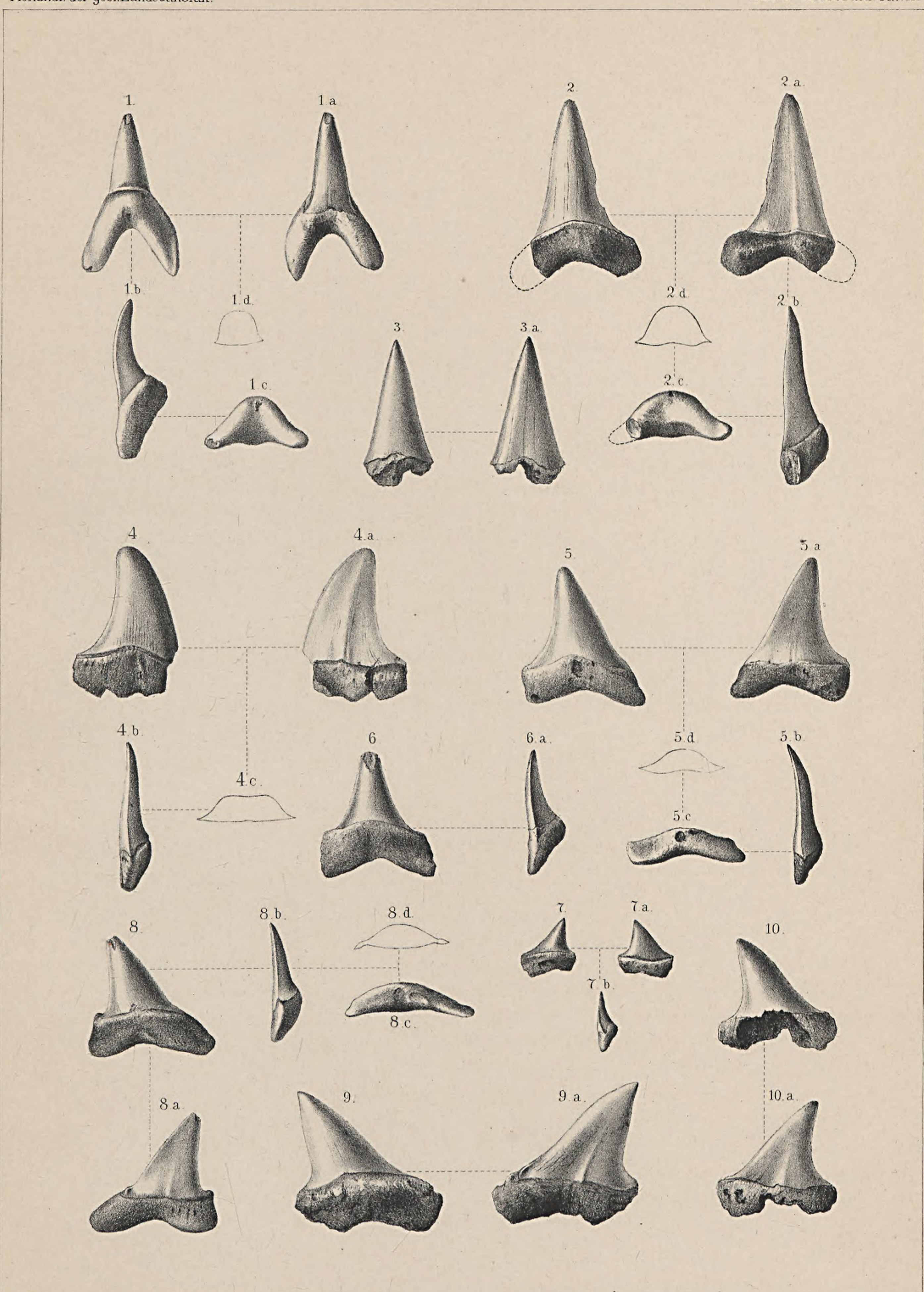
Fig. 4. Seitenzahn des linken Unterkiefers. Internseite.
Fig. 4a. » » » » Externseite.
Fig. 4b. » » » » Seitenansicht.
Fig. 4c. » » » » Querschnitt.
Fig. 5. Seitenzahn des linken Unterkiefers. Internseite.
Fig. 5a. » » » » Externseite.
Fig. 5b. » » » » Seitenansicht.
Fig. 5c. » » » » Unterseite.
Fig. 5d. » » » » Querschnitt.
Fig. 6. Seitenzahn des Unterkiefers. Internseite.
Fig. 6a. » » » Seitenansicht.
Fig. 6b. » » » Querschnitt.

Aus dem hinteren Theil des Kiefers:

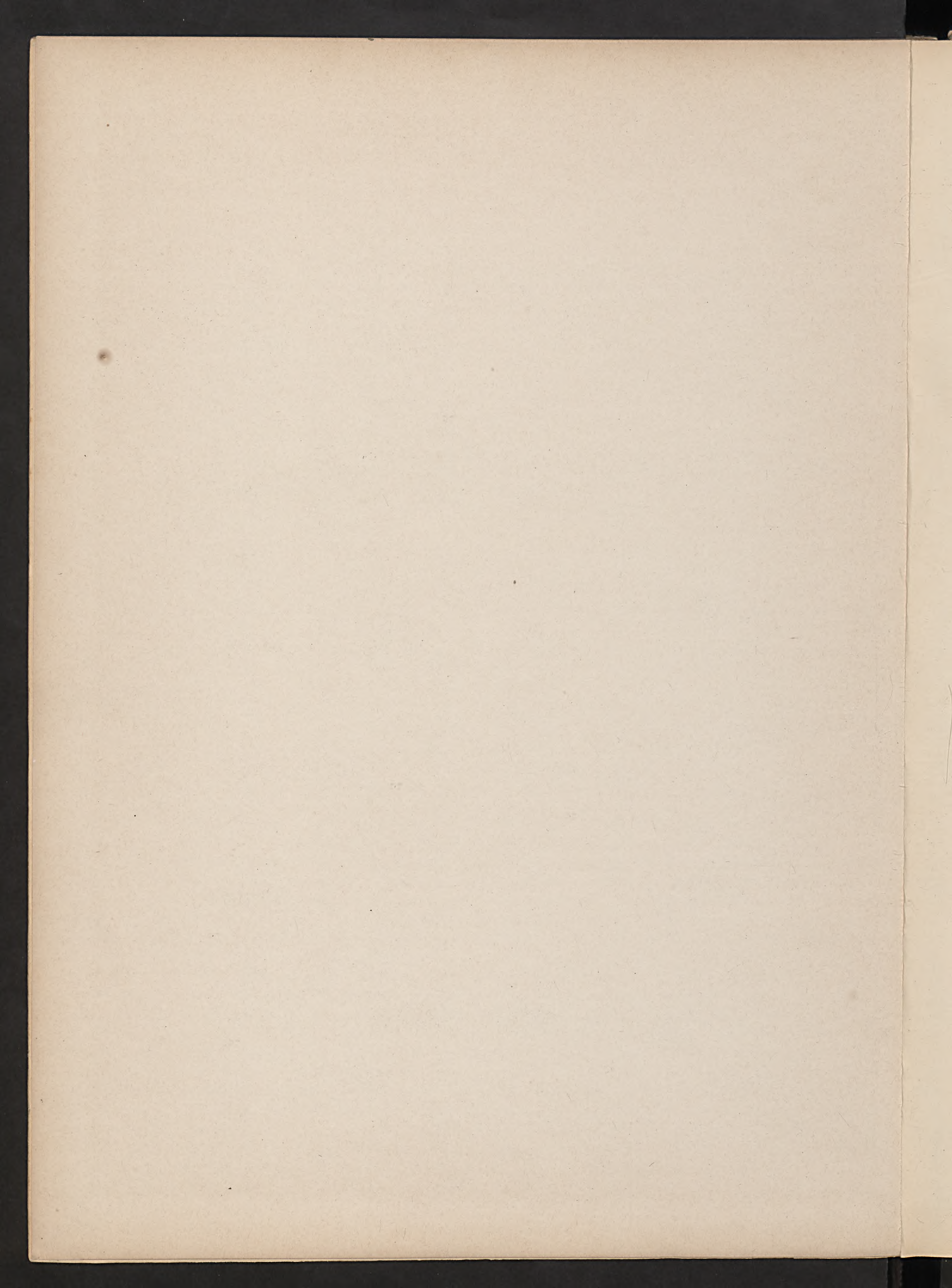
Fig. 7. Seitenzahn des rechten Unterkiefers. Internseite.
Fig. 7a. » » » » Externseite.
Fig. 7b. » » » » Seitenansicht.
Fig. 7c. » » » » Querschnitt.

Fig. 8. Seitenzahn des rechten Oberkiefers. Internseite.
Fig. 8a. » » » » Externseite.
Fig. 8b. » » » » Seitenansicht.
Fig. 8c. » » » » Unterseite.
Fig. 8d. » » » » Querschnitt.
Fig. 9. Seitenzahn des rechten Oberkiefers. Internseite.
Fig. 9a. » » » » Externseite.
Fig. 10. Seitenzahn des rechten Oberkiefers. Internseite.
Fig. 10a. » » » » Externseite.

Sämmtlich aus der Zone A_1.



H. Braune del., W. Pütz lith. Druck v. A. Renaud.



Tafel IV.

Lamna elegans Agassiz.

Mittelzähne.

Fig. 1. Mittelzahn des Unterkiefers. Internseite,
Fig. 1a. » » » Externseite,
Fig. 1b. » » » Seitenansicht, natürliche Grösse.
Fig. 1c. » » » Unterseite,
Fig. 1d. » » » Querschnitt,
Fig. 1e. » » » Hauptspitze, Internseite, vergrössert.
Fig. 1f. » » » Externfläche, stark vergrössert, um den Verlauf der Haftstelle
Fig. 1g. » » » Seitenansicht, der Befestigungsmembran zu zeigen.
Fig. 2. Mittelzahn des Unterkiefers, zweite oder dritte Reihe. Internseite,
Fig. 2a. » » » » » » » Externseite,
Fig. 2b. » » » » » » » Seitenansicht, natürliche Grösse.
Fig. 2c. » » » » » » » Querschnitt,
Fig. 3. Mittelzahn des Oberkiefers. Internseite,
Fig. 3a. » » » Externseite,
Fig. 3b. » » » Seitenansicht, natürliche Grösse.
Fig. 3c. » » » Unterseite,
Fig. 3d. » » » Querschnitt,
Fig. 3e. » » » Hauptspitze, Internseite, vergrössert.

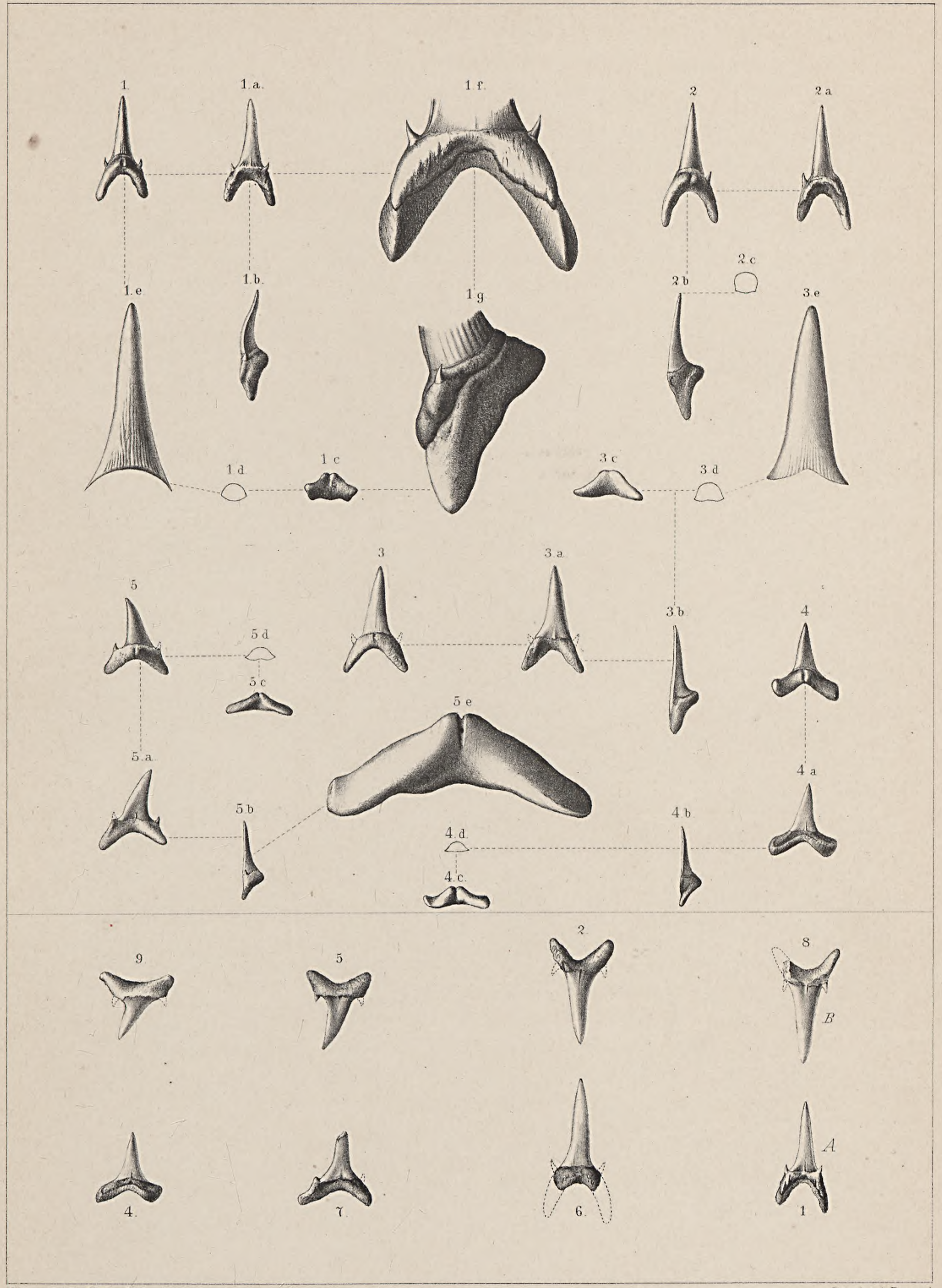
Seitenzähne.

Fig. 4. Seitenzahn des linken(?) Unterkiefers. Internseite,
Fig. 4a. » » » » Externseite,
Fig. 4b. » » » » Seitenansicht, natürliche Grösse.
Fig. 4c. » » » » Unterseite,
Fig. 4d. » » » » Querschnitt,
Fig. 5. Seitenzahn des rechten Oberkiefers. Internseite,
Fig. 5a. » » » » Externseite,
Fig. 5b. » » » » Seitenansicht, natürliche Grösse.
Fig. 5c. » » » » Unterseite,
Fig. 5d. » » » » Querschnitt,
Fig. 5e. » » » » Unterseite, sehr stark vergrössert; um die Lage der Eintrittsöffnung für den Hauptnerv zu zeigen.

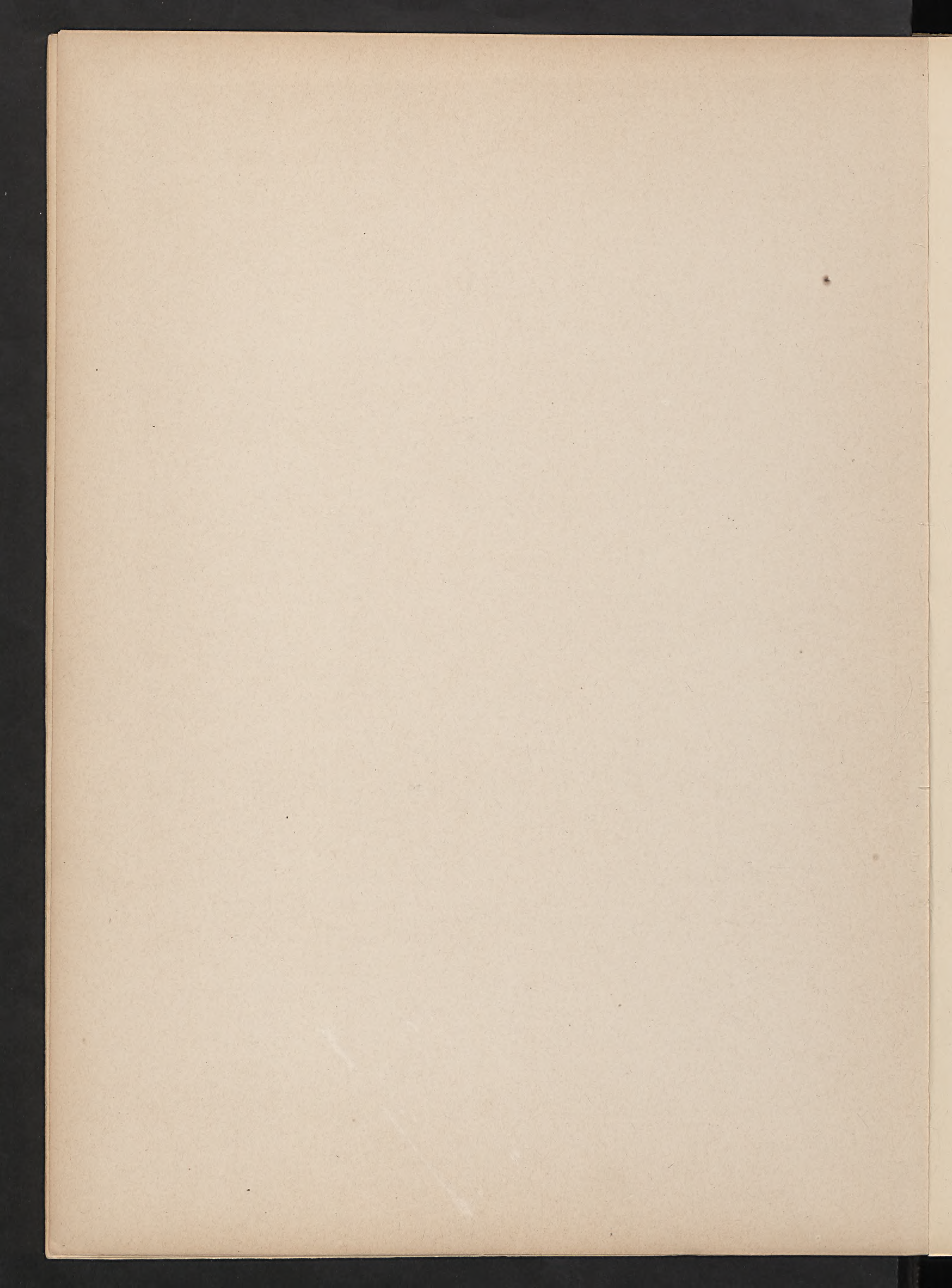
A. Zusammenstellung einiger Oberkieferzähne, sämmtlich von der Externseite.
Fig. 1 und Fig. 6 Mittelzähne,
Fig. 7 und Fig. 4 Seitenzähne.

B. Zusammenstellung einiger Oberkieferzähne, sämmtlich von der Externseite.
Fig. 8 und Fig. 2 Mittelzähne.
Fig. 5 und Fig. 9 Seitenzähne.

Sämmtlich aus der Zone A_1.



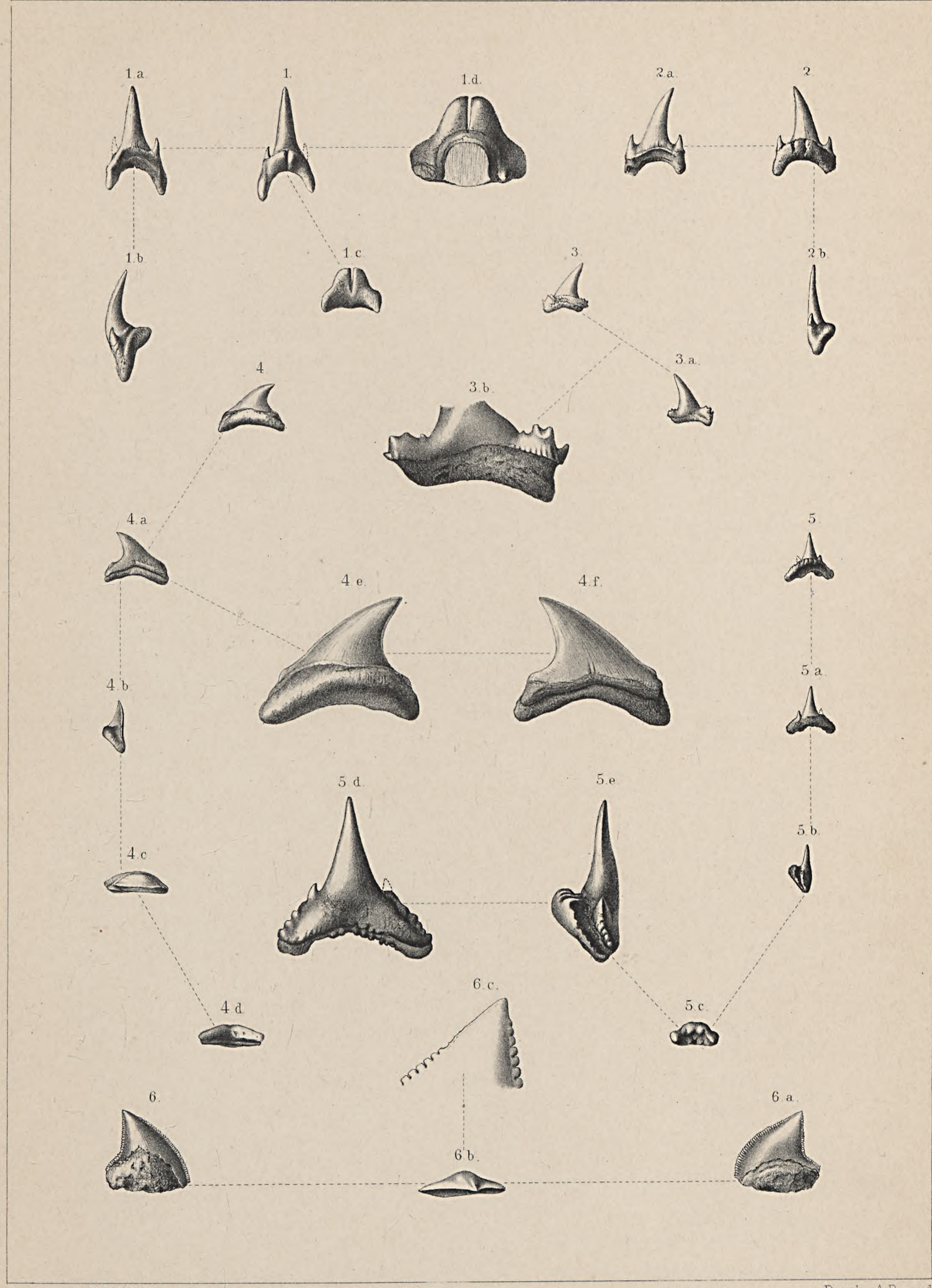
H. Braune del., W. Pütz lith. Druck v. A. Renaud.



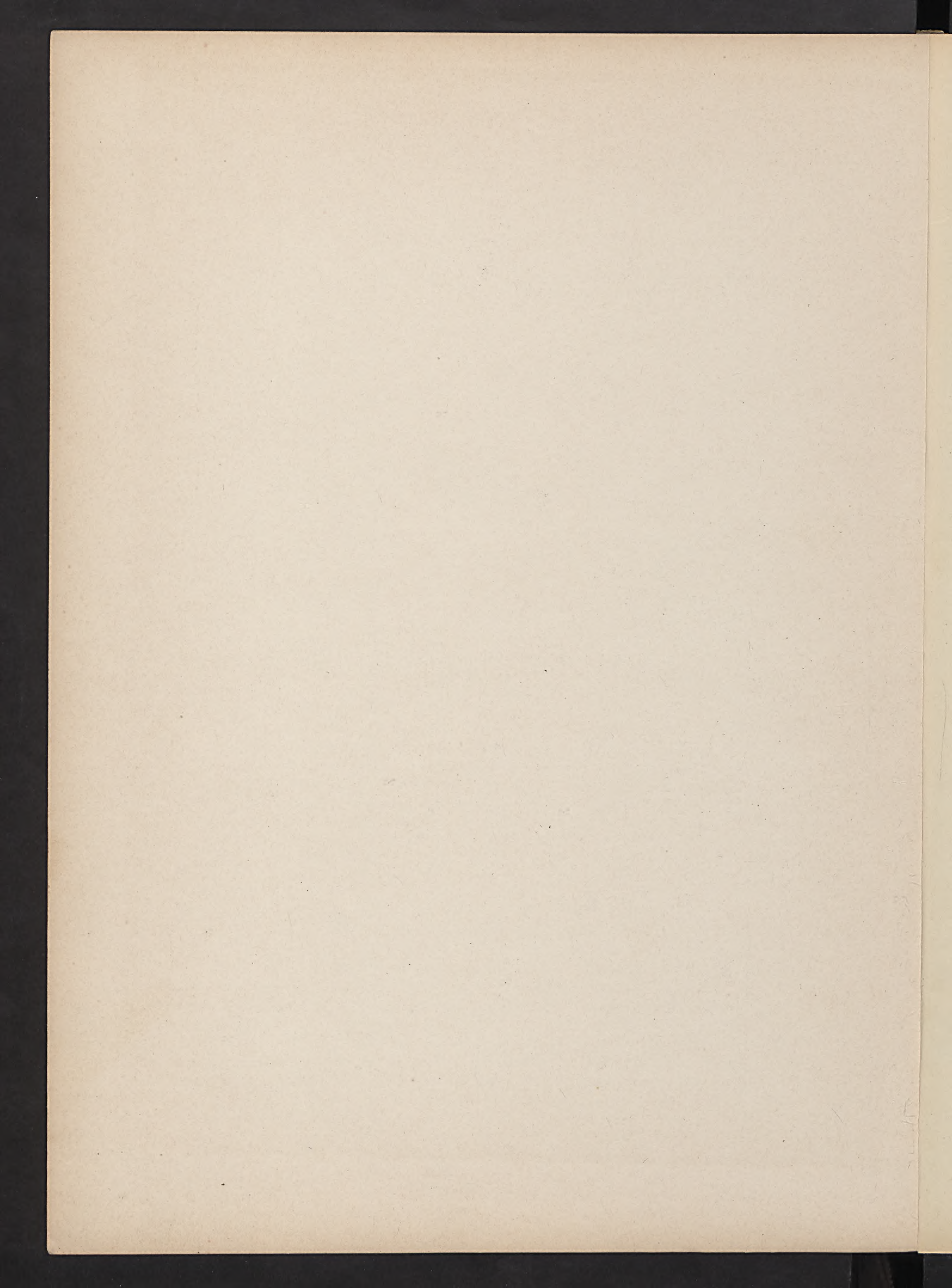
Tafel V.

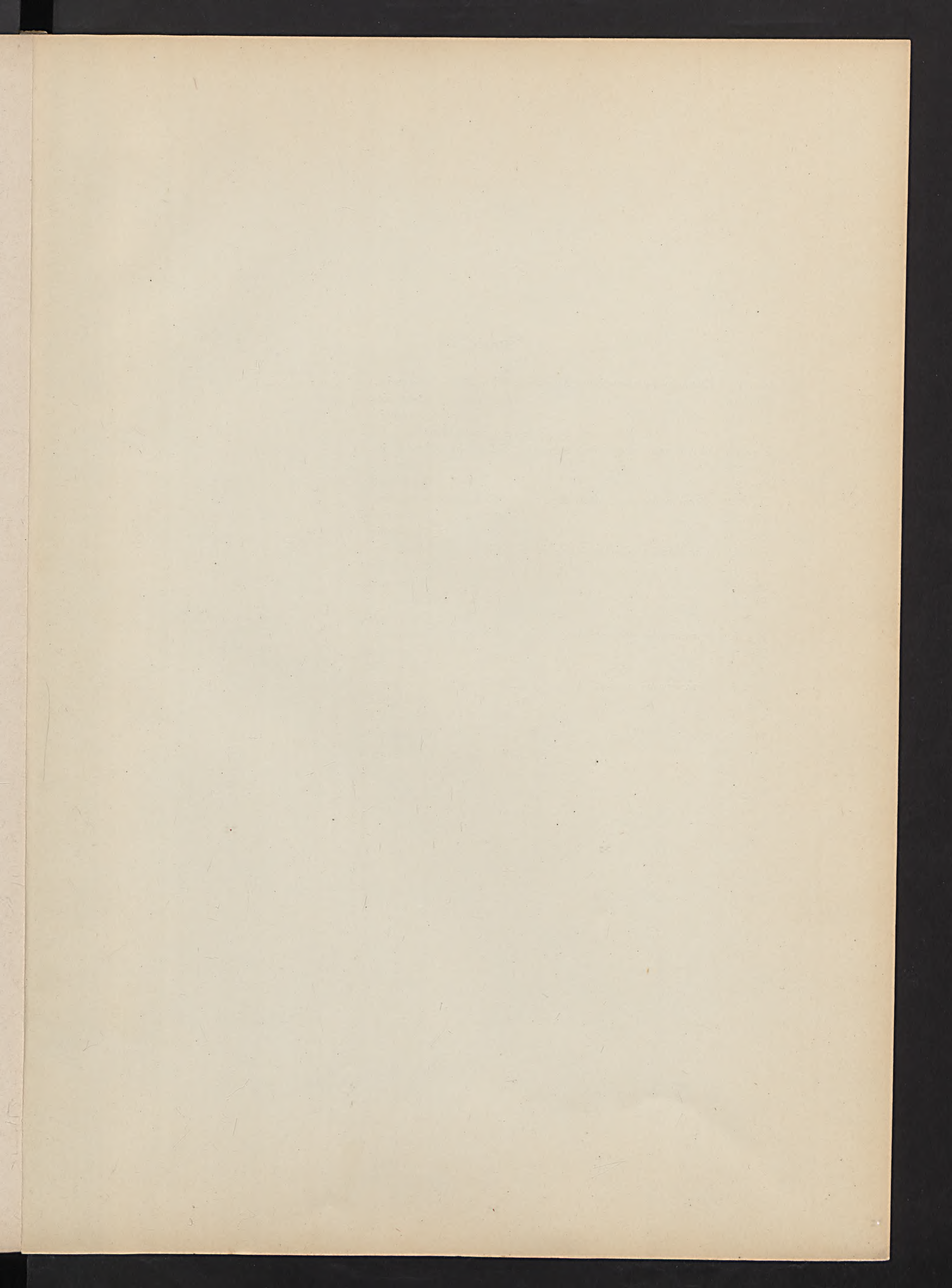
Fig. 1. *Odontaspis Hopei* Agassiz, Mittelzahn des Unterkiefers. Internseite.
Fig. 1a. » » » » » » Externseite.
Fig. 1b. » » » » » » Seitenansicht.
Fig. 1c. » » » » » » Neuralfläche.
Fig. 1d. » » » » » » Ligamentfläche.
(Die Hauptspitze ist abgeschnitten gedacht.)
Fig. 2. *Odontaspis Hopei* Agassiz, Seitenzahn des rechten Oberkiefers. Internseite.
Fig. 2a. » » » » » » » Externseite.
Fig. 2b. » » » » » » » Seitenansicht.
Fig. 3. *Odontaspis Hopei* Agassiz, Seitenzahn des linken Oberkiefers (hinterste Reihen). Internseite.
Fig. 3a. » » » » » » » » » Externseite.
Fig. 3b. » » » » » » » » » Seitenansicht.
(Untere Hälfte stark vergrössert.)
Fig. 4. *Alopias Hassei* sp. n., Seitenzahn des linken Oberkiefers (?). Internseite.
Fig. 4a. » » » » » » » Externseite.
Fig. 4b. » » » » » » » Seitenansicht.
Fig. 4c. » » » » » » » Ansicht von oben.
Fig. 4d. » » » » » » » Neuralfläche.
Fig. 4e. » » » » » » » Internseite, } stark vergrössert.
Fig. 4f. » » » » » » » Externseite, }
Fig. 5. *Scyllium Hauchecornei* sp. n., Seitenzahn. Internseite.
Fig. 5a. » » » » Externseite.
Fig. 5b. » » » » Seitenansicht.
Fig. 5c. » » » » Neuralfläche.
Fig. 5d. » » » » Externseite, } stark vergrössert.
Fig. 5e. » » » » Seitenansicht, }
Fig. 6. *Galeocerdo dubius* sp. n., Internseite.
Fig. 6a. » » » Externseite.
Fig. 6b. » » » Ansicht von oben.
Fig. 6c. » » » Spitze der Krone, stark vergrössert.

Sämmtlich aus der Zone A_1.



H. Braune del., W. Pütz lith. Druck v. A. Renaud.





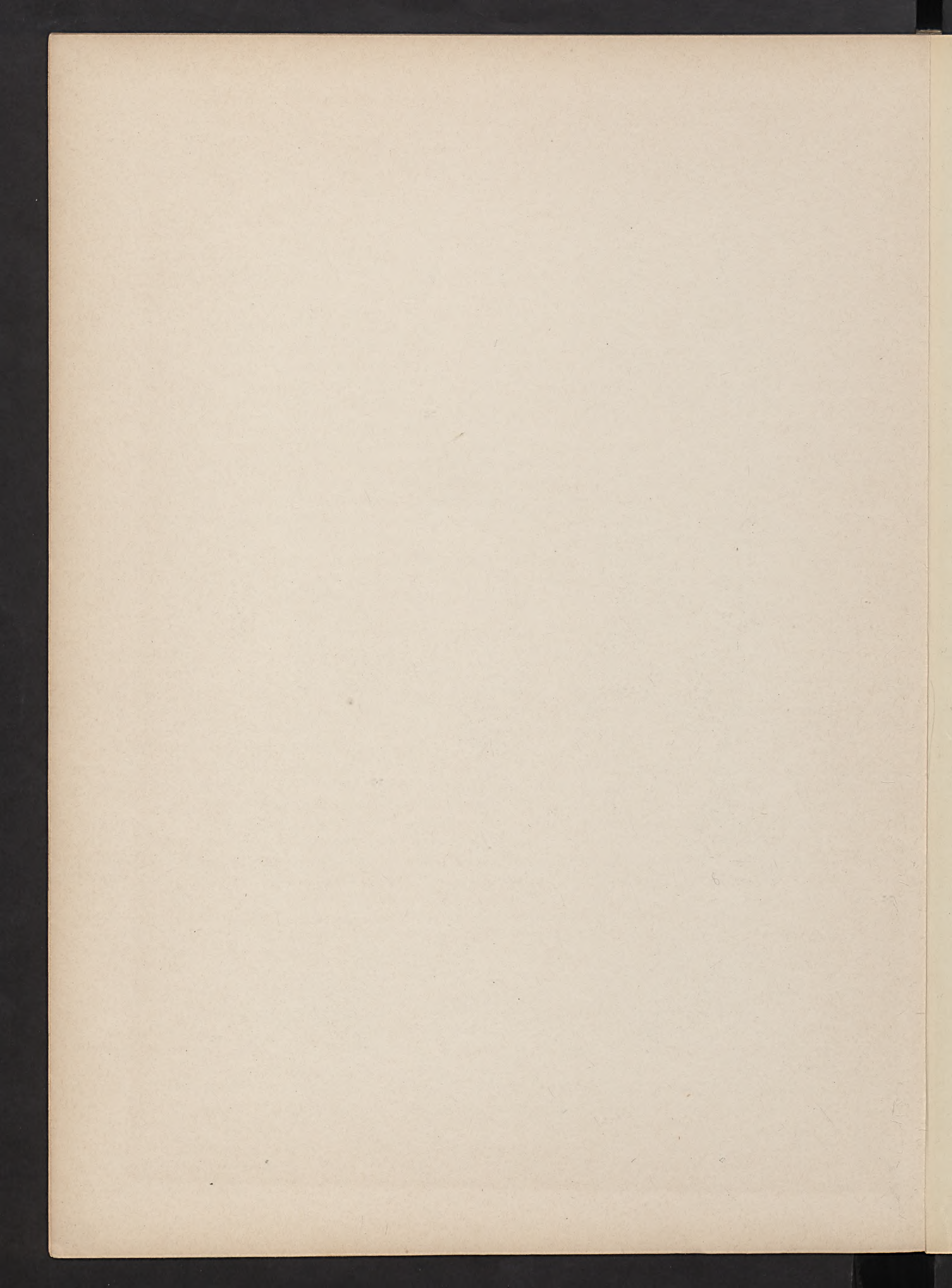
Tafel VI.

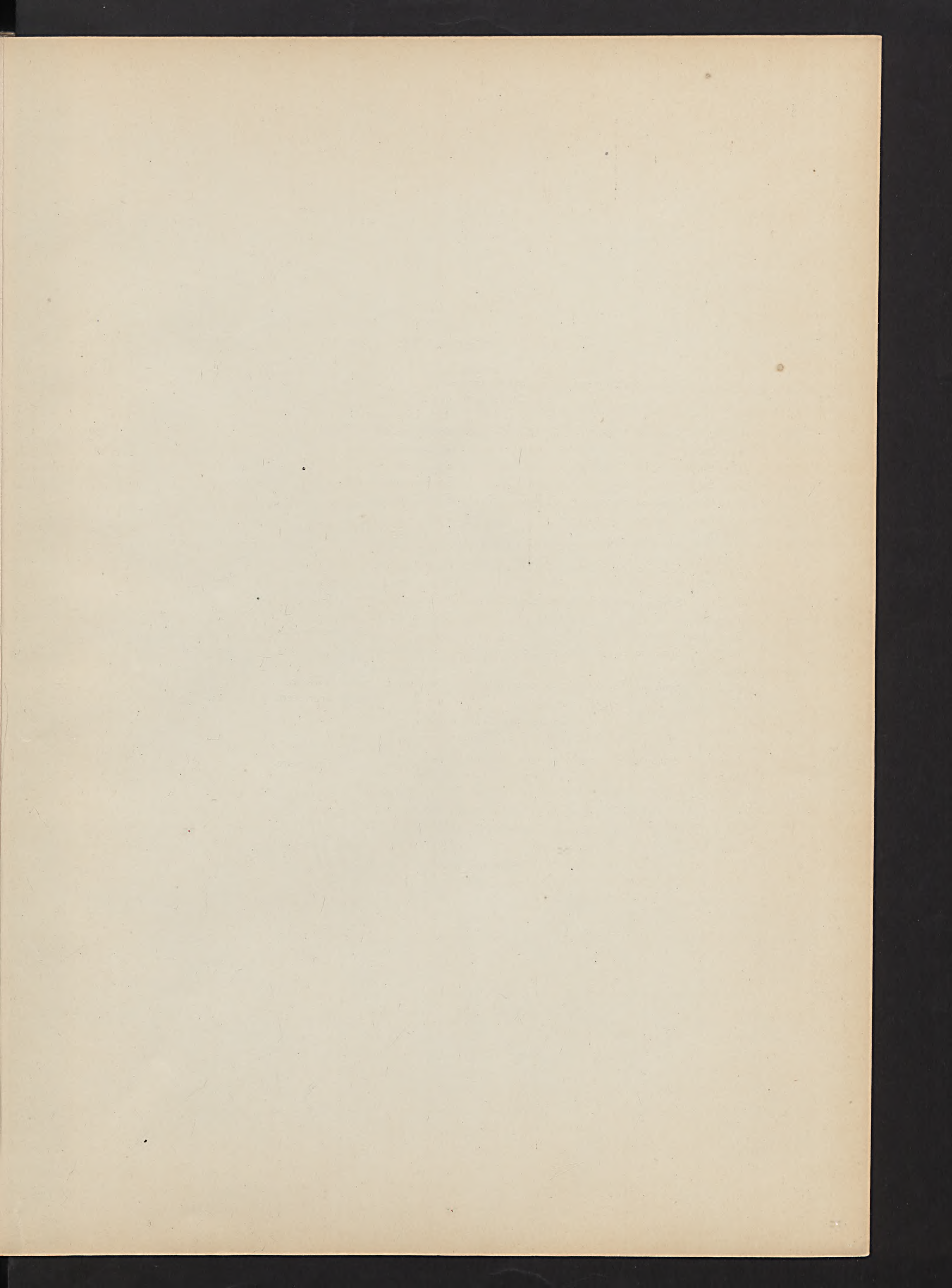
Fig. 1.	*Carcharodon*	*angustidens*	Agassiz,		Mittelzahn.	Internseite.
Fig. 1 a.	»	»	»		»	Vorderseite.
Fig. 1 b.	»	»	»		»	Querschnitt.
	c. Eindruck der Befestigungsmembran.					
Fig. 2.	*Carcharodon*	*angustidens*	Agassiz,		Seitenzahn.	Externseite.
Fig. 2 a.	»	»	»		»	Hinterseite.
Fig. 2 b.	»	»	»		»	Querschnitt.
Fig. 3.	*Carcharodon*	*angustidens*	Agassiz,		Seitenzahn.	Internseite.
Fig. 3 a.	»	»	»		»	Hinterseite (?).
Fig. 3 b.	»	»	»		»	Querschnitt.
Fig. 4.	*Carcharodon*	*obliquus*	Agassiz	sp.,	Mittelzahn.	Internseite.
Fig. 4 a.	»	»	»	»	»	Externseite.
Fig. 4 b.	»	»	»	»	»	Seitenansicht.
Fig. 4 c.	»	»	»	»	»	Unterseite.
Fig. 4 d.	»	»	»	»	»	Querschnitt.
Fig. 5.	*Carcharodon*	*obliquus*	Agassiz	sp.,	Mittelzahn.	Internseite.
Fig. 5 a.	»	»	»	»	»	Seitenansicht.
Fig. 5 b.	»	»	»	»	»	Querschnitt.
Fig. 6.	*Carcharodon*	*obliquus*	Agassiz	sp.,	Seitenzahn.	Internseite.
Fig. 6 a.	»	»	»	»	»	Externseite.
Fig. 6 b.	»	»	»	»	»	Hinterseite.
Fig. 6 c.	»	»	»	»	»	Querschnitt.

Sämmtlich aus der Zone A_1.



H. Braune del., W. Pütz lith. Druck v. A. Renaud.





Tafel VII.

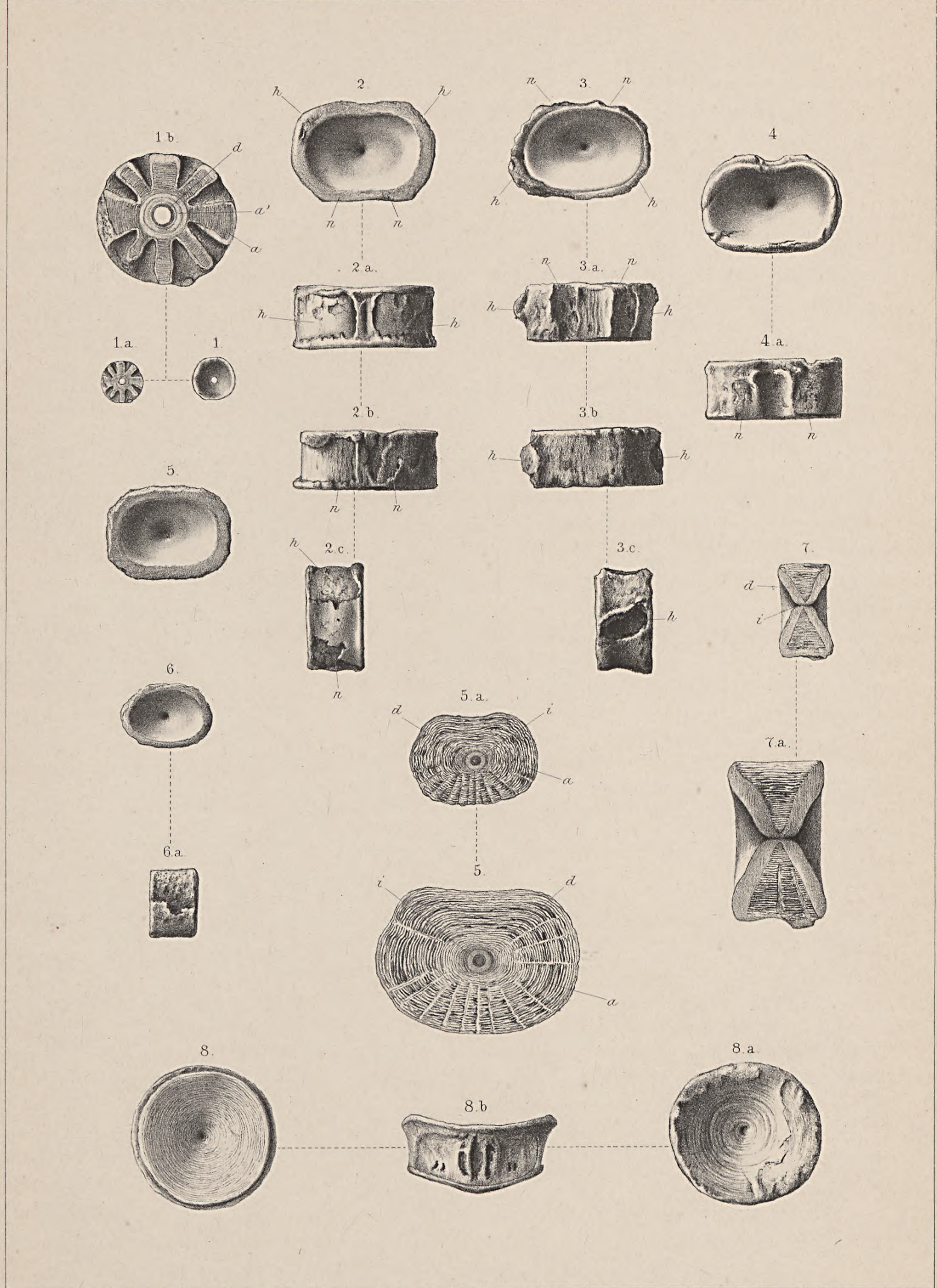
Fig. 1. *Rhinobates Martensi* sp. n., natürl. Grösse.
Fig. 1a. » » » Querschnitt, natürl. Grösse.
Fig. 1b. » » » » stark vergrössert.
Fig. 2. *Squatina Beyrichi* sp. n., Rumpfwirbel. Frontalansicht.
Fig. 2a. » » » » Ventralseite.
Fig. 2b. » » » » Dorsalseite.
Fig. 2d. » » » » Seitenansicht.
Fig. 3. *Squatina Beyrichi* sp. n., Rumpfwirbel. Frontalansicht.
Fig. 3a. » » » » Dorsalseite.
Fig. 3b. » » » » Ventralseite.
Fig. 3c. » » » » Seitenansicht.
Fig. 4. *Squatina Beyrichi* sp. n., Rumpfwirbel. Frontalansicht.
Fig. 4a. » » » » Dorsalseite.
Fig. 5. *Squatina Beyrichi* sp. n., Rumpfwirbel. Frontalansicht.
Fig. 5a. » » » » Querschnitt.
Fig. 5b. » » » » » stark vergrössert.
Fig. 6. *Squatina Beyrichi* sp. n., Schwanzwirbel. Frontalansicht.
Fig. 6a. » » » » Seitenansicht.
Fig. 7. *Squatina Beyrichi* sp. n., Rumpfwirbel. Querschnitt, natürl. Grösse.
Fig. 7a. » » » » » stark vergrössert.

n. Ansatzstellen der Neurapophysen.
h. » » Hämapophysen.

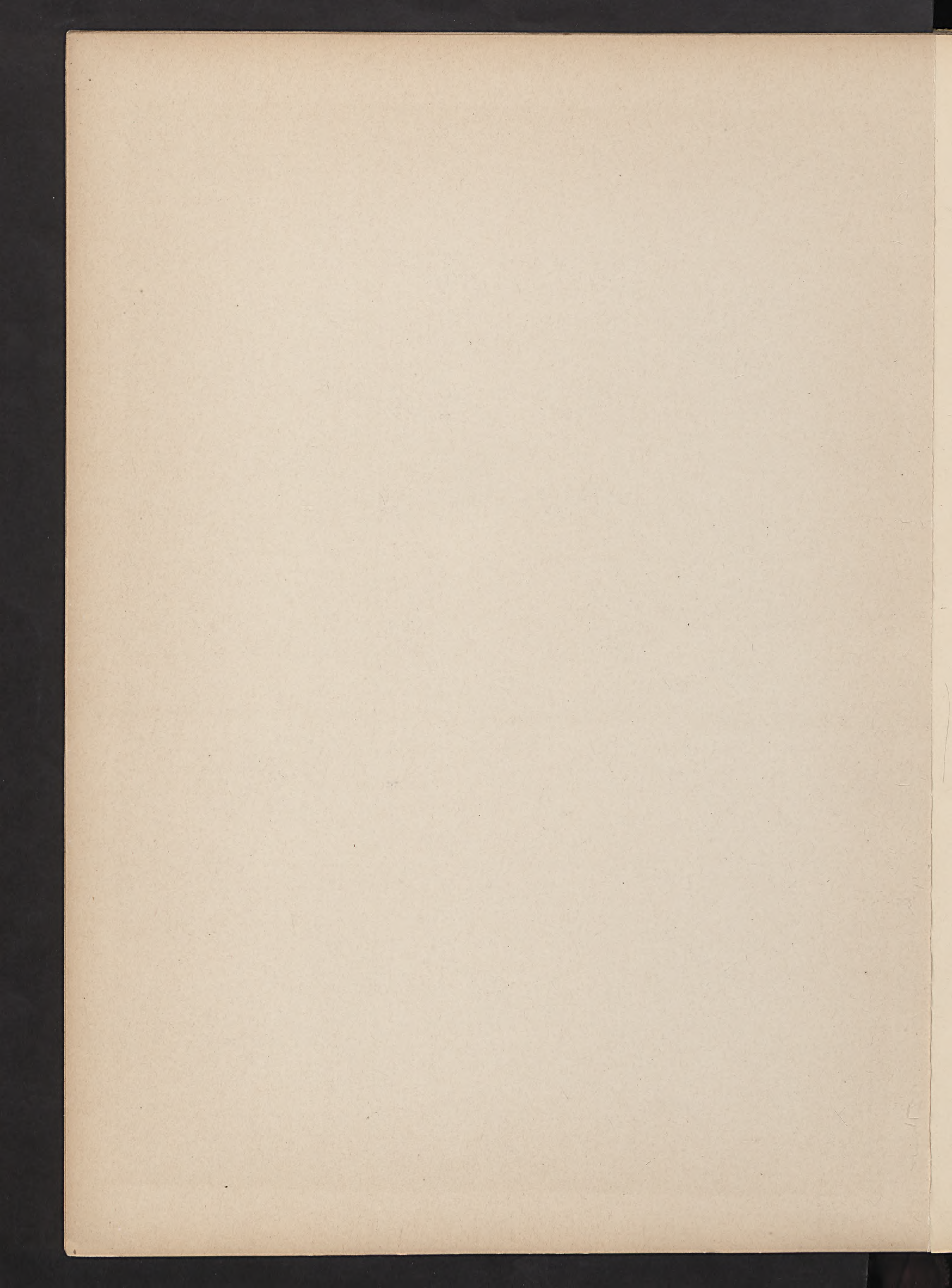
Fig. 8. *Urolophus (?) bicuneatus* sp. n., Rumpfwirbel. } Vorder- resp. Hinterseite.
Fig. 8a. » » » » }
Fig. 8b. » » » » Dorsalseite.

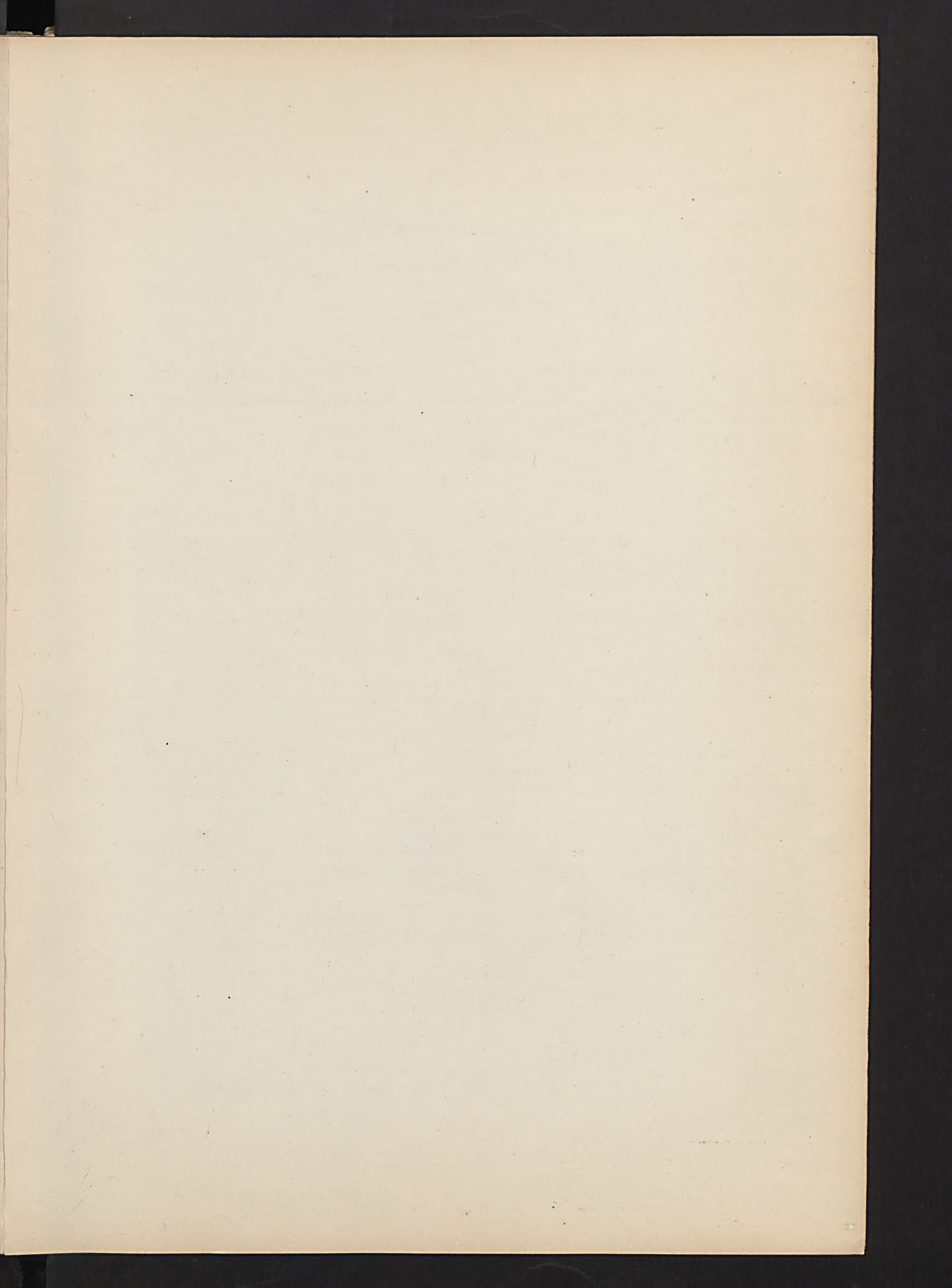
i. Innenzone.
d. Centraler Doppelkegel.
a. Aussenzone.

Sämmtlich aus der Zone A_1.



H. Braune del., W. Pütz lith. Druck v. A. Renaud.



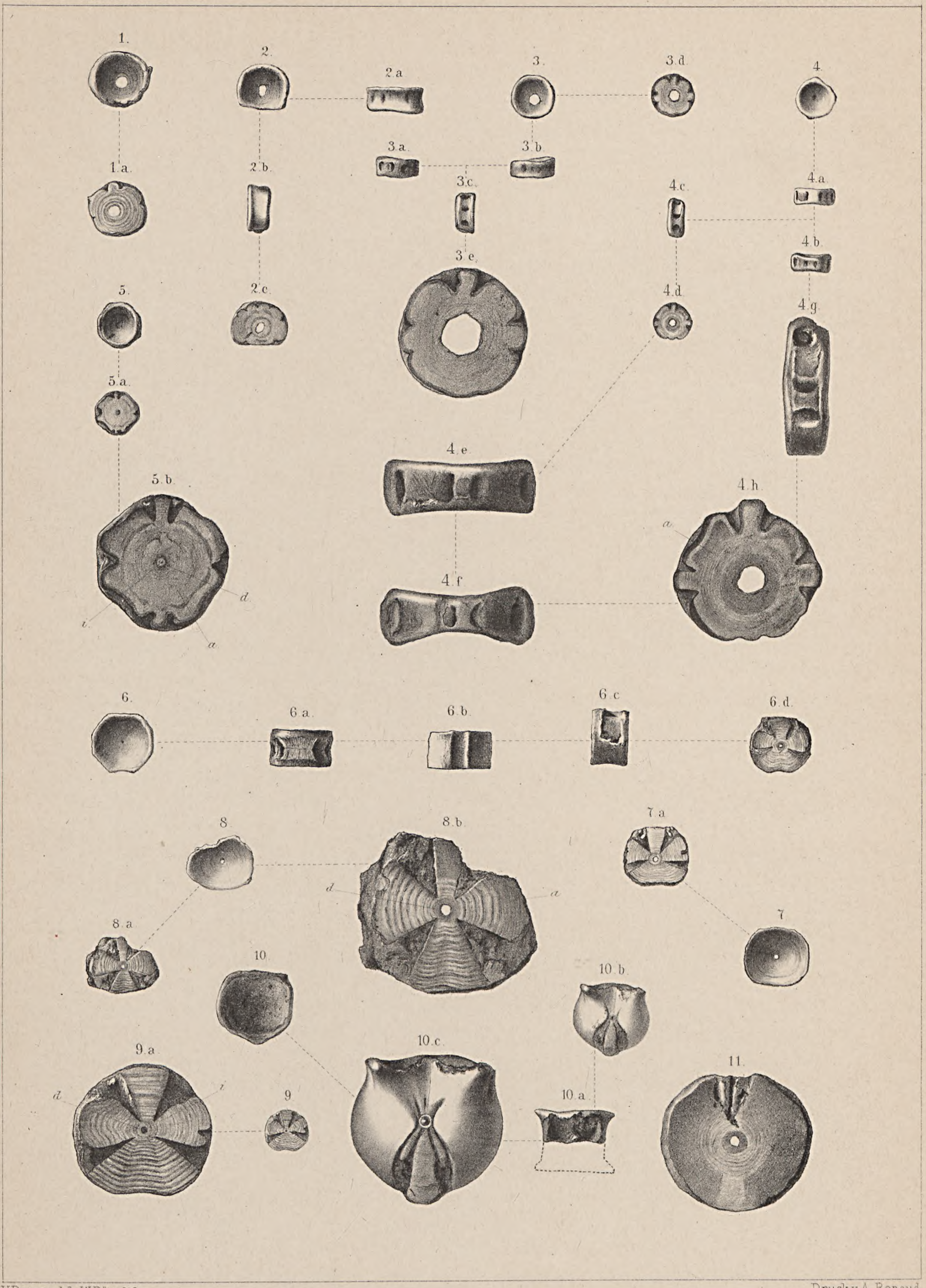


Tafel VIII.

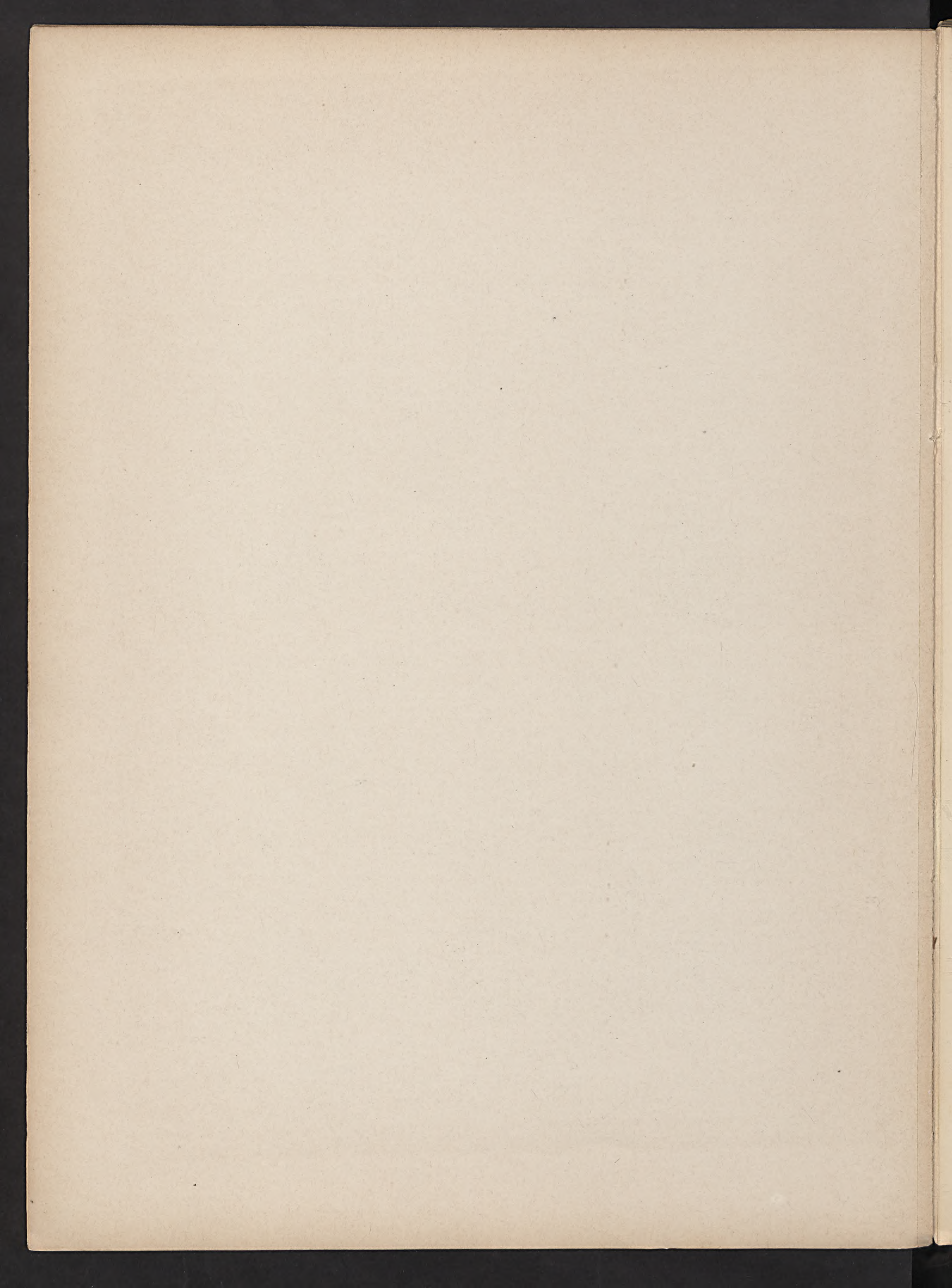
Fig. 1. *Myliobates* sp., cf. *toliapicus* Agassiz, Frontalansicht.
Fig. 1 a. » » » » » Querschnitt.
Fig. 2. *Myliobates* sp., cf. *toliapicus* Agassiz, Frontalansicht.
Fig. 2 a. » » » » » Dorsalseite.
Fig. 2 b. » » » » » Seitenansicht.
Fig. 2 c. » » » » » Querschnitt.
Fig. 3. *Aëtobates* sp., Frontalansicht.
Fig. 3 a. » » Dorsalseite.
Fig. 3 b. » » Ventralseite. (Die ventralen Lücken durch Oberflächenverkalkung verdeckt.)
Fig. 3 c. » » Seitenansicht.
Fig. 3 d. » » Querschnitt.
Fig. 3 e. » » » stark vergrössert.
Fig. 4. *Aëtobates* sp., Frontalansicht.
Fig. 4 a. » » Dorsalseite.
Fig. 4 b. » » Ventralseite.
Fig. 4 c. » » Seitenansicht.
Fig. 4 d. » » Querschnitt.
Fig. 4 e. » » Dorsalseite, stark vergrössert.
Fig. 4 f. » » Ventralseite, » »
Fig. 4 g. » » Seitenansicht, » »
Fig. 4 h. » » Querschnitt, » »
Fig. 5. *Aëtobates* sp., Frontalansicht.
Fig. 5 a. » » Querschnitt.
Fig. 5 b. » » » stark vergrössert.
Fig. 6. *Astrape (?) media* sp. n., Frontalansicht.
Fig. 6 a. » » » Dorsalseite.
Fig. 6 b. » » » Ventralseite.
Fig. 6 c. » » » Seitenansicht.
Fig. 6 d. » » » Querschnitt.
Fig. 7. *Astrape (?) media* sp. n., Frontalansicht.
Fig. 7 a. » » » Querschnitt.
Fig. 8. *Astrape (?) media* sp. n., Frontalansicht.
Fig. 8 a. » » » Querschnitt.
Fig. 8 b. » » » » stark vergrössert.
Fig. 9. *Astrape (?) media* sp. n., Querschnitt.
Fig. 9 a. » » » » stark vergrössert.
Fig. 10. *Scyllium* sp., cf. *Hauchecornei* sp. n., Bruchfläche der Innenseite.
Fig. 10 a. » » » » » Dorsalseite.
Fig. 10 b. » » » » » Querschnitt.
Fig. 10 c. » » » » » » stark vergrössert.
Fig. 11. *Urolophus (?) bicuneatus* sp. n., Rumpfwirbel. Querschnitt.

i. Innenzone.
d. Centraler Doppelkegel.
a. Aussenzone.

Sämmtlich aus der Zone A_1.



H. Braune del., W. Pütz lith. Druck v. A. Renaud.



Tafel IX.

Fig. 1.	*Raja borussica* sp. n.	Frontalansicht.	
Fig. 1 a.	» » »	Dorsalseite.	
Fig. 1 b.	» » »	Ventralseite.	
Fig. 1 c.	» » »	Seitenansicht.	
Fig. 1 d.	» » »	Querschnitt.	
Fig. 1 e.	» » »	Dorsalseite,	stark vergrössert.
Fig. 1 f.	» » »	Ventralseite,	» »
Fig. 1 g.	» » »	Seitenansicht,	» »
Fig. 1 h.	» » »	Querschnitt,	» »
Fig. 2.	*Raja borussica* sp. n.	Frontalansicht.	
Fig. 2 a.	» » »	Dorsalseite.	
Fig. 2 b.	» » »	Ventralseite.	
Fig. 2 c.	» » »	Seitenansicht.	
Fig. 2 d.	» » »	Vergrösserung von Fig. 2 b.	
Fig. 2 e.	» » »	Ventralseite,	stark vergrössert.
Fig. 3.	*Raja borussica* sp. n.	Frontalansicht.	
Fig. 3 a.	» » »	Dorsalseite.	
Fig. 3 b.	» » »	Seitenansicht.	
Fig. 4.	*Raja borussica* sp. n.	Frontalansicht.	
Fig. 4 a.	» » »	Dorsalseite.	
Fig. 4 b.	» » »	Ventralseite.	
Fig. 4 c.	» » »	Seitenansicht.	
Fig. 4 d.	» » »	Querschnitt.	
Fig. 4 e.	» » »	Dorsalseite,	stark vergrössert.
Fig. 4 f.	» » »	Ventralseite,	» »
Fig. 4 g.	» » »	Querschnitt,	» »
Fig. 5.	*Raja borussica* sp. n.	Frontalansicht.	
Fig. 5 a.	» » »	Querschnitt.	
Fig. 5 b.	» » »	»	stark vergrössert.
Fig. 6.	*Galeocerdo* sp., cf. *dubius* sp. n.	Frontalansicht.	
Fig. 6 a.	» » » » »	Dorsalseite.	
Fig. 6 b.	» » » » »	Ventralseite.	
Fig. 6 c.	» » » » »	Seitenansicht.	
Fig. 6 d.	» » » » »	Querschnitt.	
Fig. 6 f.	» » » » »	»	stark vergrössert.
Fig. 7.	*Galeocerdo* sp., cf. *dubius* sp. n.	Frontalansicht.	
Fig. 7 a.	» » » » »	Dorsalseite.	
Fig. 7 b.	» » » » »	Ventralseite.	
Fig. 7 c.	» » » » »	Seitenansicht.	
Fig. 7 d.	» » » » »	Querschnitt.	

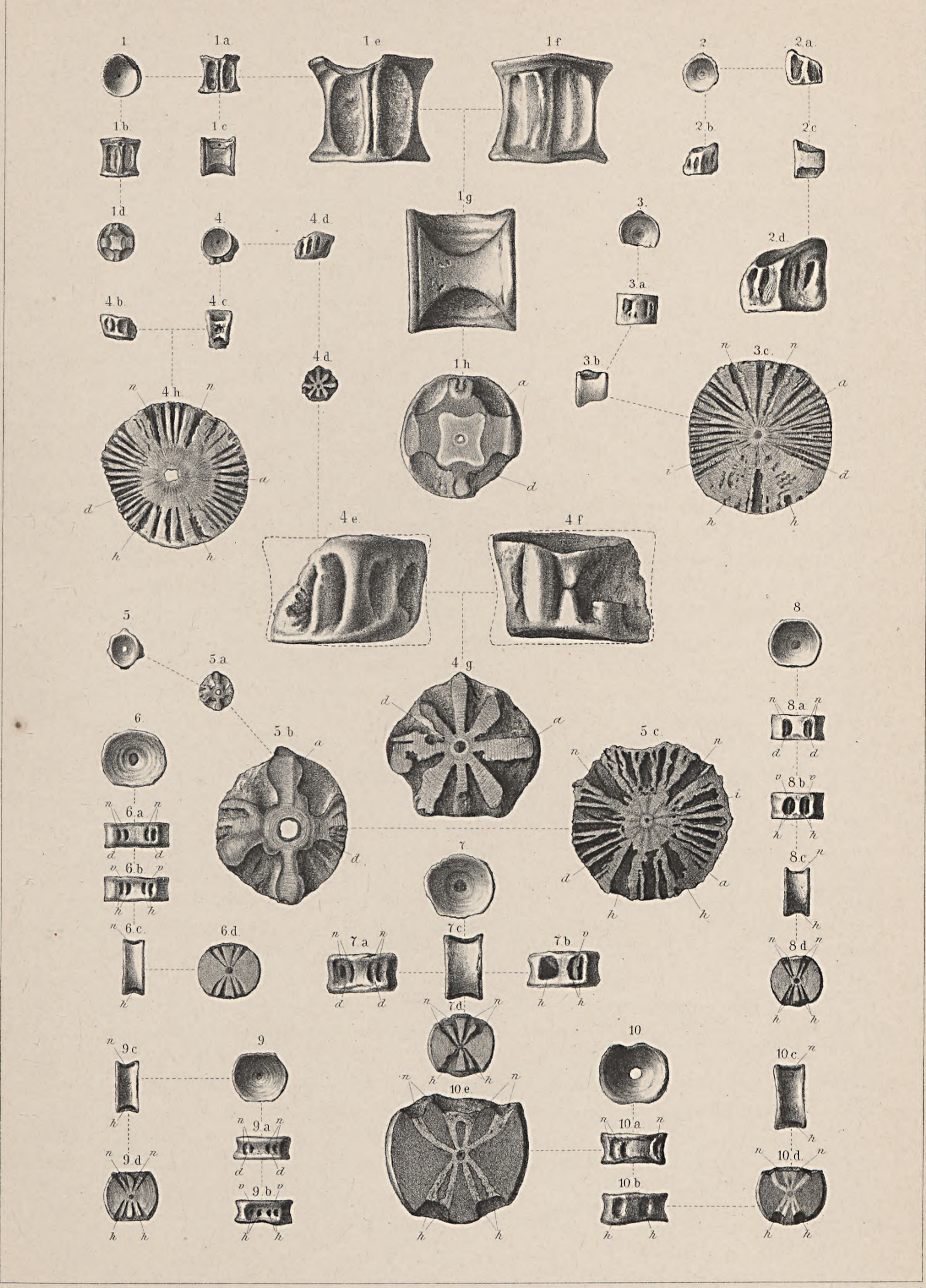
Fig. 8. *Galeocerdo* sp., cf. *dubius* sp. n. Frontalansicht.
Fig. 8a. » » » » » Dorsalseite.
Fig. 8b. » » » » » Ventralseite.
Fig. 8c. » » » » » Seitenansicht.
Fig. 8d. » » » » » Längsschnitt.
Fig. 8e. » » » » » » stark vergrössert.
Fig. 9. *Galeocerdo* sp., cf. *dubius* sp. n. Frontalansicht.
Fig. 9a. » » » » » Dorsalseite.
Fig. 9b. » » » » » Ventralseite.
Fig. 9c. » » » » » Seitenansicht.
Fig. 9d. » » » » » Querschnitt.
Fig. 10. *Galeocerdo* sp., cf. *dubius* sp. n. Frontalansicht.
Fig. 10a. » » » » » Dorsalseite.
Fig. 10b. » » » » » Ventralseite.
Fig. 10c. » » » » » Seitenansicht.
Fig. 10d. » » » » » Querschnitt.
Fig. 10e. » » » » » » stark vergrössert.

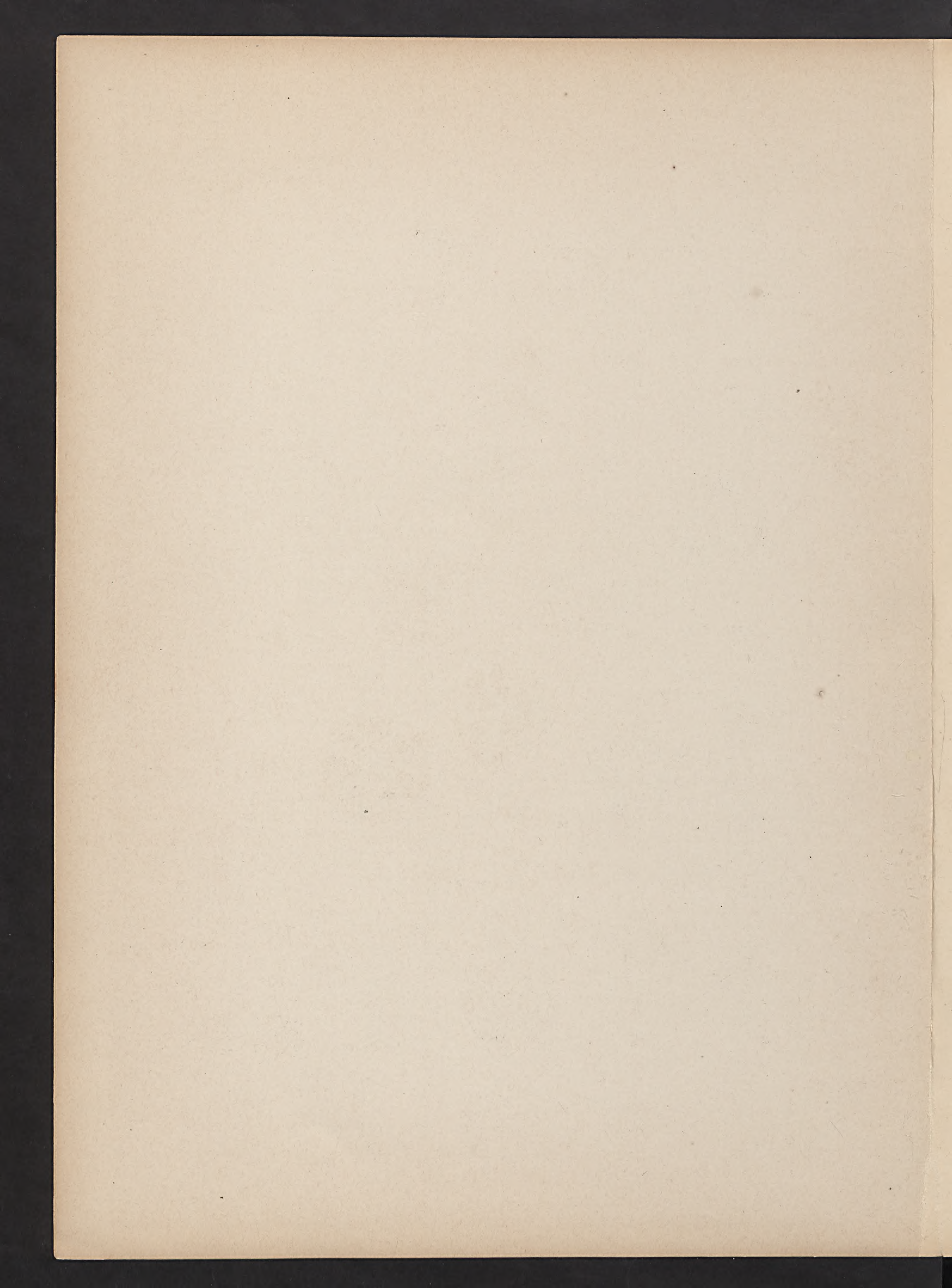
i. Innenzone.
d. Centraler Doppelkegel.
a. Aussenzone.
n. Lücken für die Knorpelzapfen der Neurapophysen.
h. » » » » » Hämapophysen.

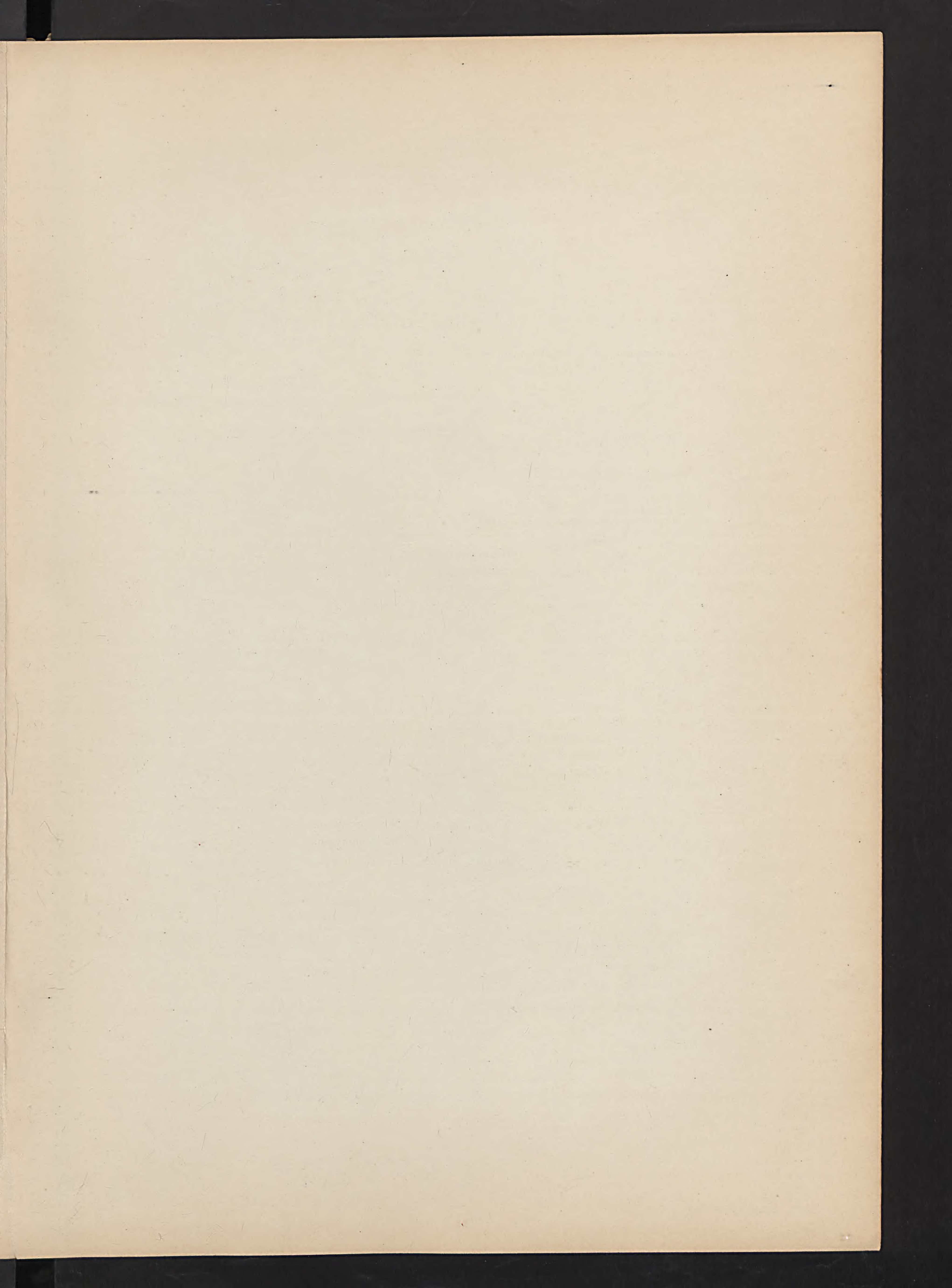
Sämmmtlich aus der Zone A_1.

Berichtigung.

Irrthümlicher Weise sind die Querschnittsbilder des *Lamna*- und *Oxyrhina*-Wirbels (Taf. X, Fig. 4 u. 5), welche als Fig. 4d und Fig. 5e auf Taf. X gehören, auf dieser Tafel unter Fig. 3c, Fig. 4h und Fig. 5c abgebildet worden.


1
1a
1e
1f
2
2a
1b
1c
2b
2c
1g
1d
4
4d
3.
2d
3a
4b
4c
4d
1h
3b
3c
4h
4e
4f
5
8
5a
4g
8a
6
5b
5c
8b
6a
6b
7
8c
6c
6d
7a
7c
7b
8d
7d
9c
9
10
10c
10e
9a
10a
9d
10d
9b
10b



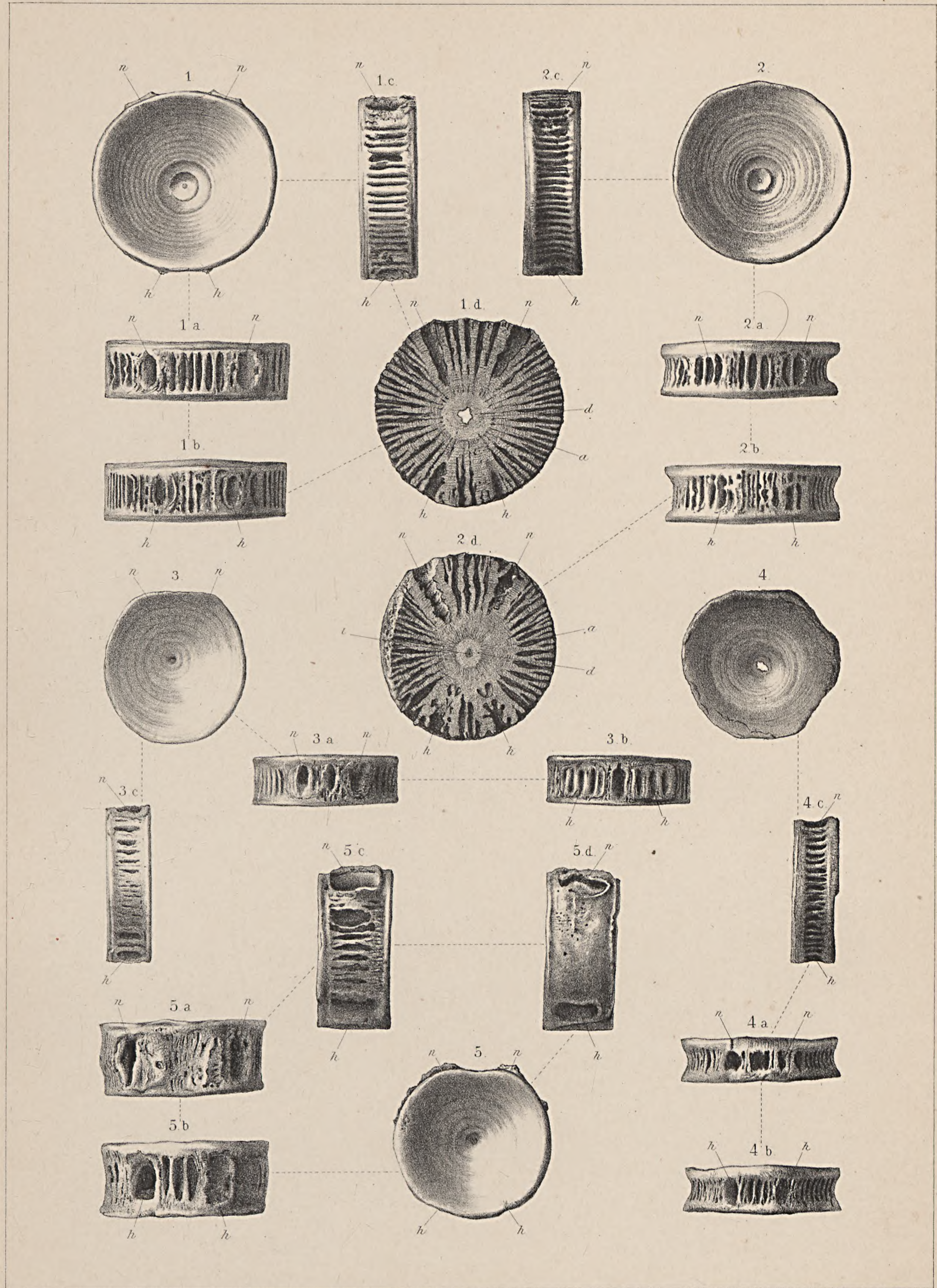


Tafel X.

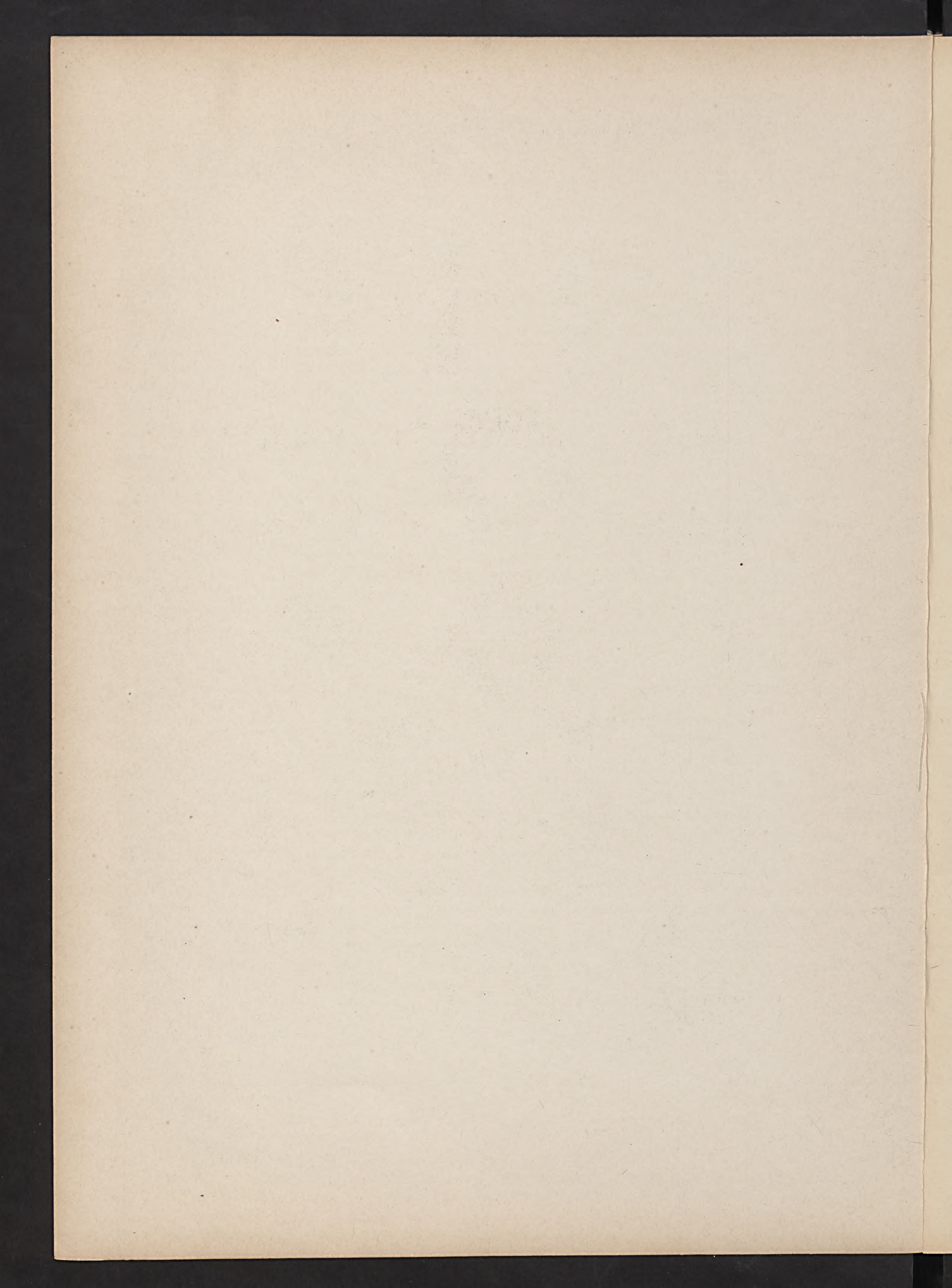
Fig. 1. *Carcharodon* sp., Frontalansicht.
Fig. 1a. » » Dorsalseite.
Fig. 1b. » » Ventralseite.
Fig. 1c. » » Seitenansicht.
Fig. 1d. » » Querschnitt.
Fig. 2. *Carcharodon* sp., Frontalansicht.
Fig. 2a. » » Dorsalseite.
Fig. 2b. » » Ventralseite.
Fig. 2c. » » Seitenansicht.
Fig. 2d. » » Querschnitt.
Fig. 3. *Alopias* sp., cf. *Hassei* sp. n., Frontalansicht.
Fig. 3a. » » » » » Dorsalseite.
Fig. 3b. » » » » » Ventralseite.
Fig. 3c. » » » » » Seitenansicht.
Fig. 3d. » » » » » Querschnitt.
Fig. 4. *Lamna* sp., Frontalansicht.
Fig. 4a. » » Dorsalseite.
Fig. 4b. » » Ventralseite.
Fig. 4c. » » Seitenansicht.
Fig. 4d. » » Querschnitt.
Fig. 5. *Oxyrhina* sp., Frontalansicht.
Fig. 5a. » » Dorsalseite.
Fig. 5b. » » Ventralseite.
Fig. 5c. » » Seitenansicht.
Fig. 5d. » » »
Fig. 5e. » » Querschnitt.

i. Innenzone.
d. Centraler Doppelkegel.
n. Lücken für die Knorpelzapfen der Neurapophysen.
h. » » » » » Hämapophysen.

Sämmtlich aus der Zone A_1.



H. Braune del., W. Pütz lith. Druck v. A. Renaud.



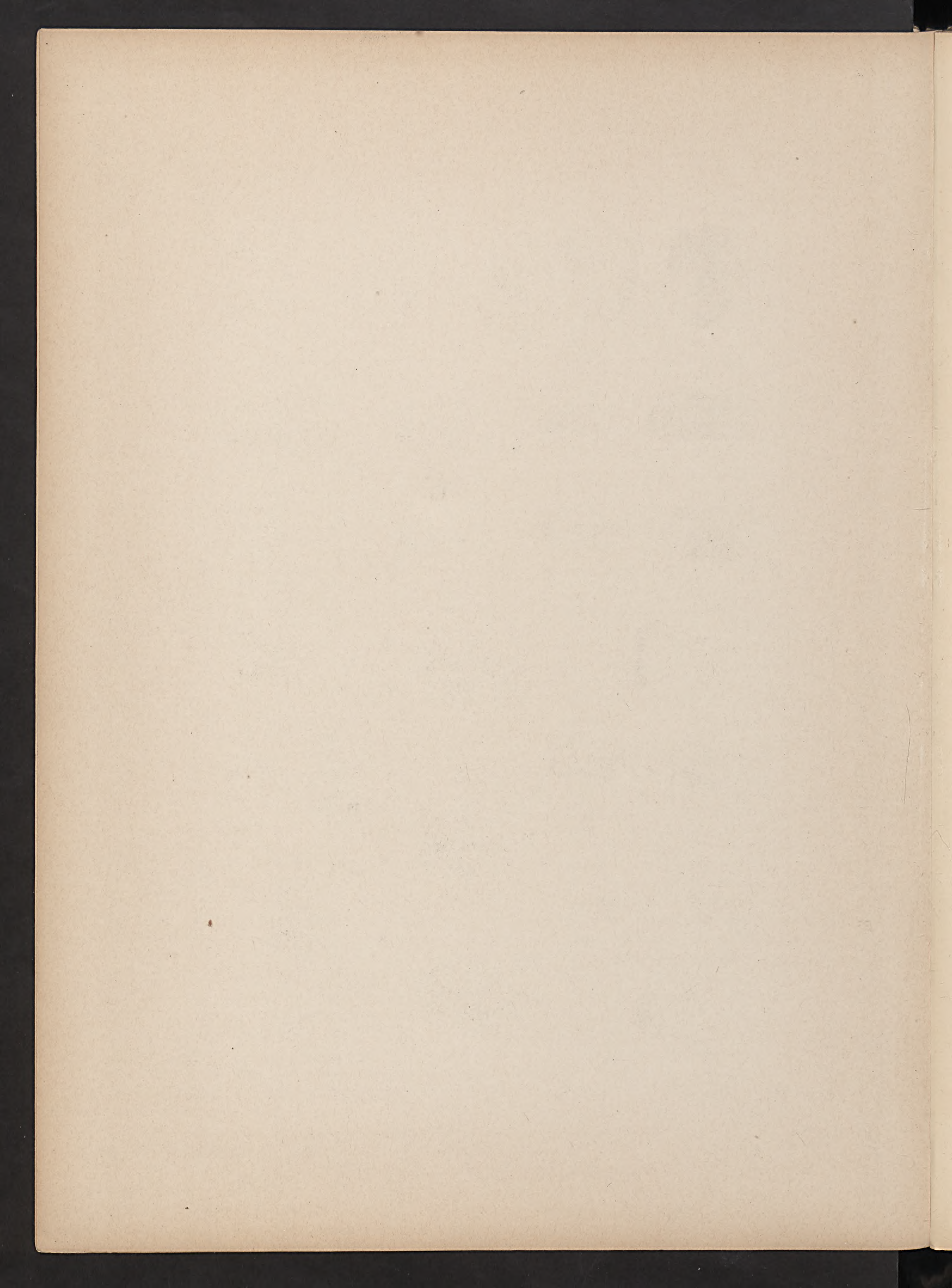
Tafel XI.

Fig. 1.	*Pseudosphaerodon Hilgendorfi* sp. n.,	Plattenförmiger Zahn mit stark abgenutzter Oberfläche.
Fig. 1 a.	» » »	Seitenansicht mit Ersatzzahn 2.
Fig. 1 b.	» » »	Seitenansicht.
Fig. 2.	» » »	Plattenförmiger Zahn, Ersatz für Fig. 1, Oberfläche.
Fig. 2 a.	» » »	Seitenansicht.
Fig. 2 b.	» » »	Seitenansicht.
Fig. 3.	» » »	Plattenförmiger Zahn, Oberfläche.
Fig. 3 a.	» » »	Seitenansicht.
Fig. 3 b.	» » »	Seitenansicht.
Fig. 5.	» » »	Plattenförmiger Zahn, Oberfläche.
Fig. 5 a.	» » »	Seitenansicht.
Fig. 5 b.	» » »	Bruchfläche.
Fig. 6.	» » »	Drei vereinigte keilförmige Zähne, Oberfläche.
Fig. 6 a.	» » »	Aussenseite.
Fig. 6 b.	» » »	Innenseite.
Fig. 6 c.	» » »	Seitenansicht.
Fig. 7.	» » »	Zwei vereinigte keilförmige Zähne, Oberfläche.
Fig. 7 a.	» » »	Seitenansicht.
Fig. 7 b.	» » »	Aussenseite.
Fig. 8.	» » »	Keilförmiger Zahn, Oberfläche.
Fig. 8 a.	» » »	Seitenansicht.
Fig. 8 b.	» » »	Aussenseite.
Fig. 9—10 a.	*Crocodilus* sp.	

Sämmtlich aus der Zone A_1.



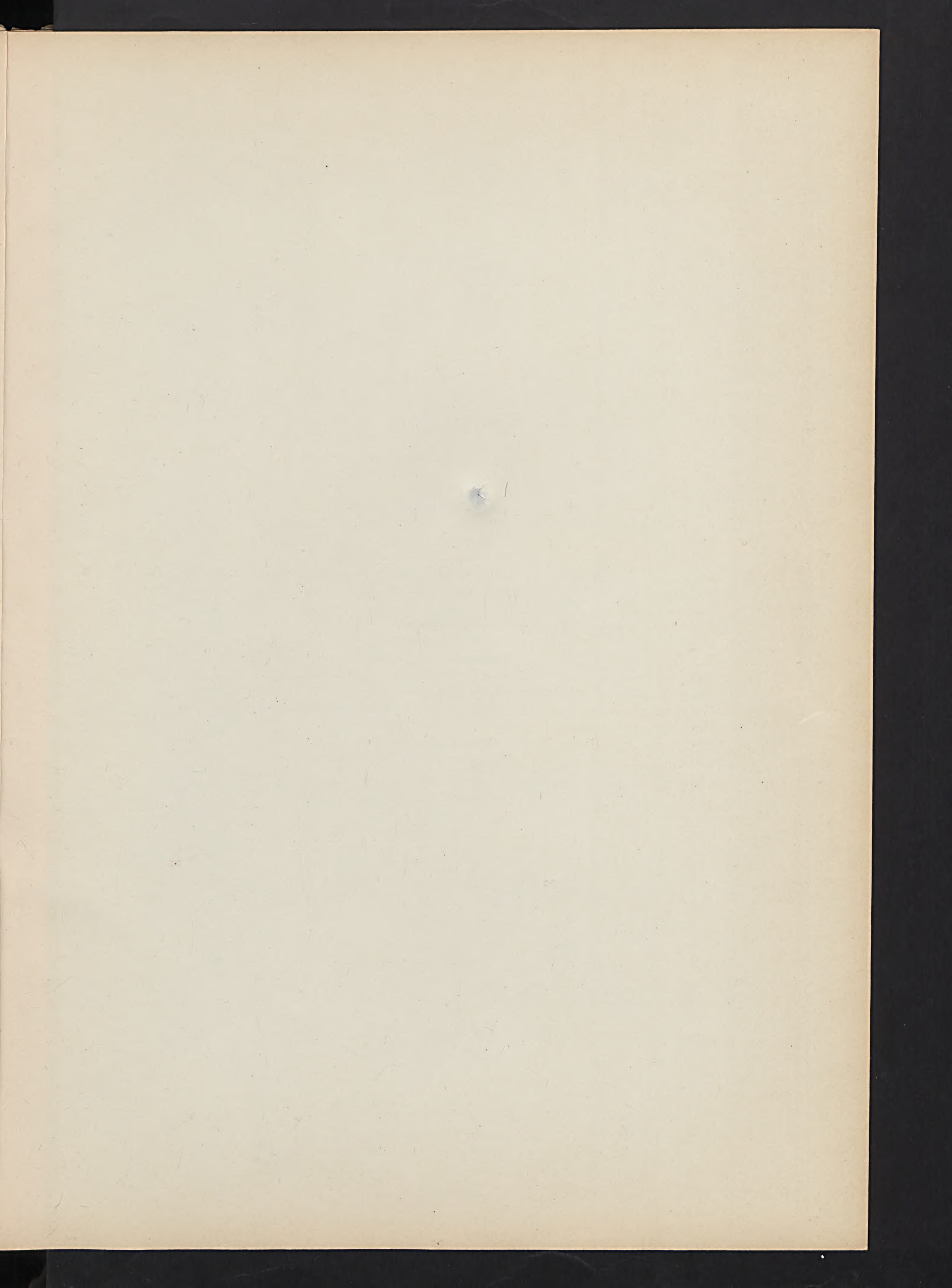
W. Pütz del. et lith. Druck v. A. Renaud.



Lieferung II.

Crustacea und Vermes.

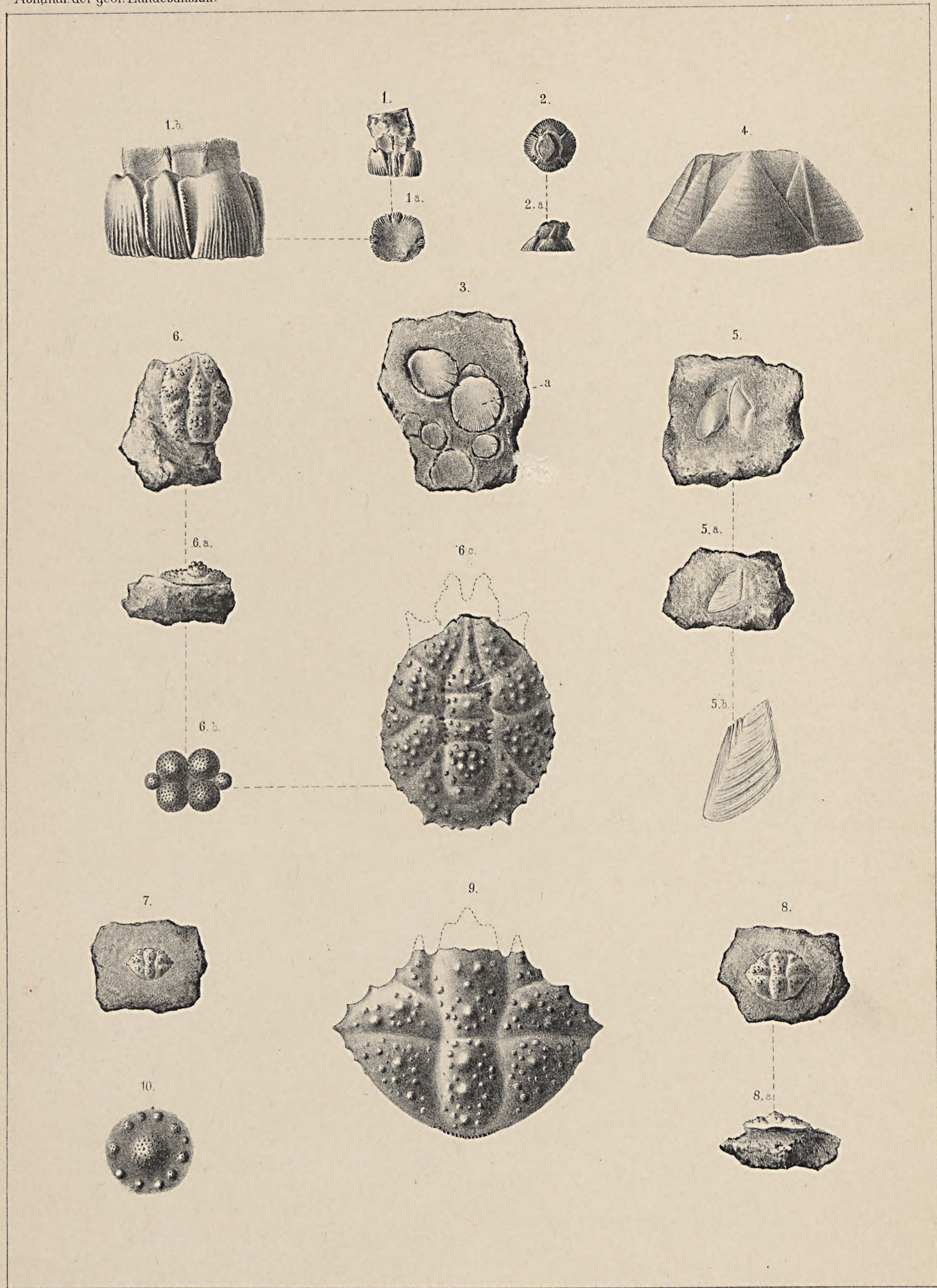
Tafel I—X.



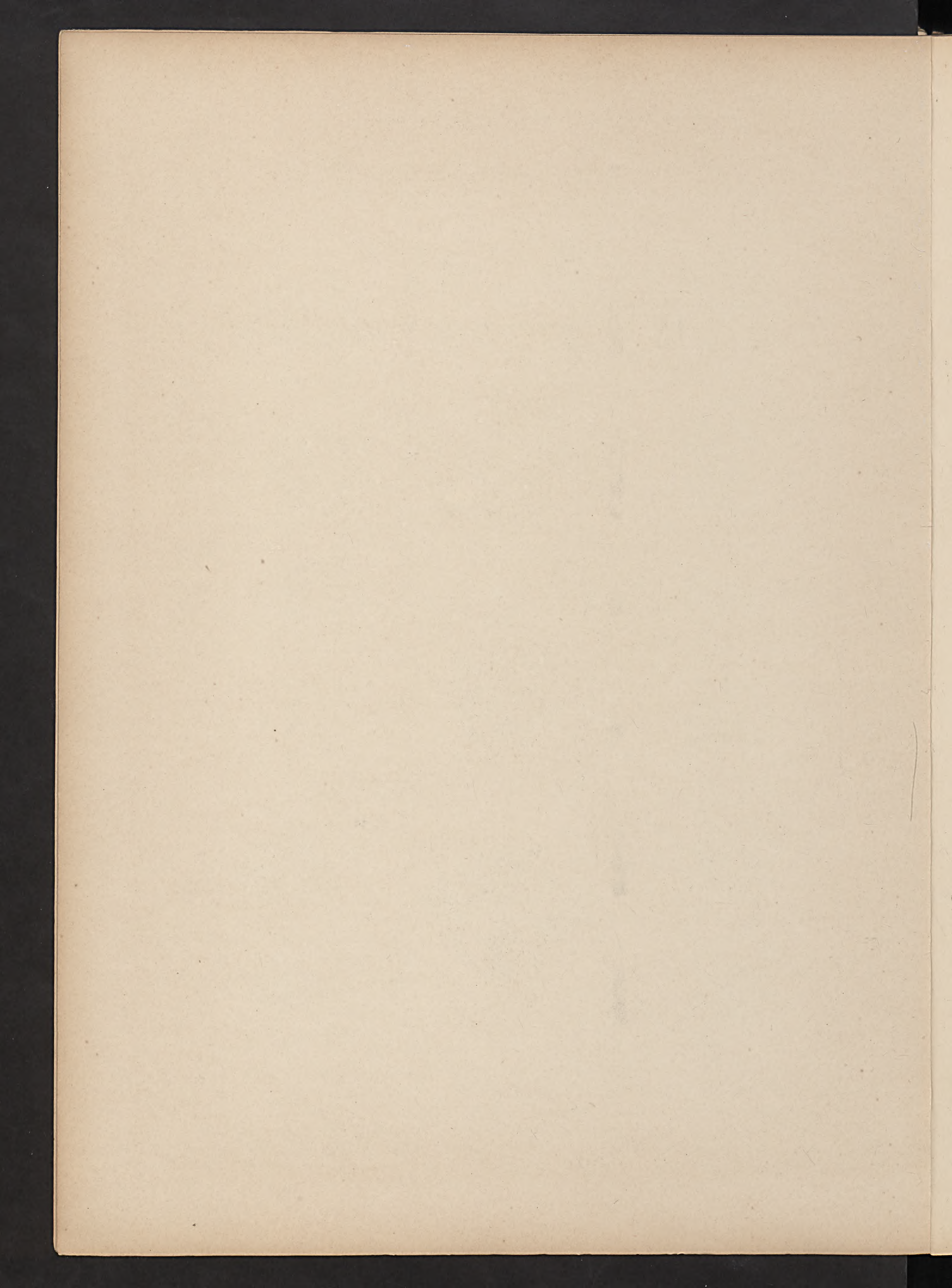
Tafel I.

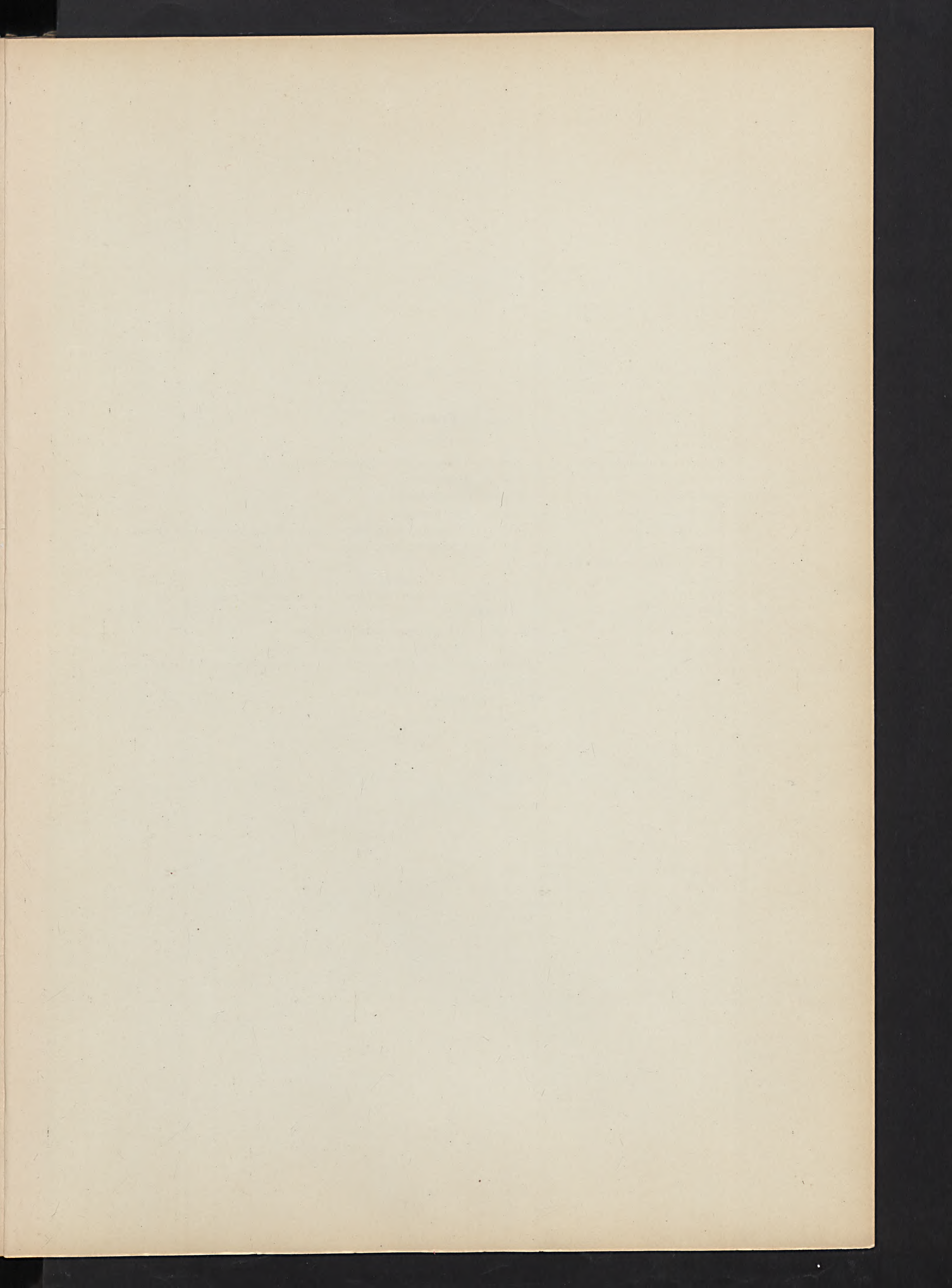
Fig. 1. *Balanus unguiformis* Sow., Steinkern nat. Gr.
Fig. 1 a. » » » » » » Unterseite.
Fig. 1 b. » » » » stark vergr.
Fig. 2. » » » » nat. Gr. Oberseite.
Fig. 2 a. » » » » » »
(Fig. 2 entspricht a in Fig. 3.)
Fig. 3. *Balanus unguiformis* Sow., Steinkern nat. Gr. Colonie. Unterseite.
Fig. 4. » » » Restaurirte Ansicht der äusseren Schale nach einem Abdruck von Fig. 3 a stark vergr. gezeichnet.
Fig. 5. » » » (?) Steinkern eines Scutums und Tergums, nat. Gr.
Fig. 5 a. » » » (?) Abdruck des Scutums, nat. Gr.
Fig. 5 b. » » » (?) » » » vergr.
Fig. 6. *Micromaja spinosa* sp. n., nat. Gr. Oberseite.
Fig. 6 a. » » » » » Vorderansicht.
Fig. 6 b. » » » Restaurirte Ansicht, stark vergr.
Fig. 6 c. » » » Einige der grösseren Tuberkel, stark vergr.
Fig. 7. *Lambrus Bittneri* sp. n., nat. Gr. Steinkern.
Fig. 8. » » » » » » mit theilweise erhaltener Schale.
Fig. 8 a. » » » » » » Hinteransicht.
Fig. 9. » » » Restaurirte Ansicht, stark vergr.
Fig. 10. » » » Einer der grösseren Tuberkel, stark vergr.

Sämmtlich aus der Zone A_1.



E. Ohmann del et lith. Druck A. Renaud.

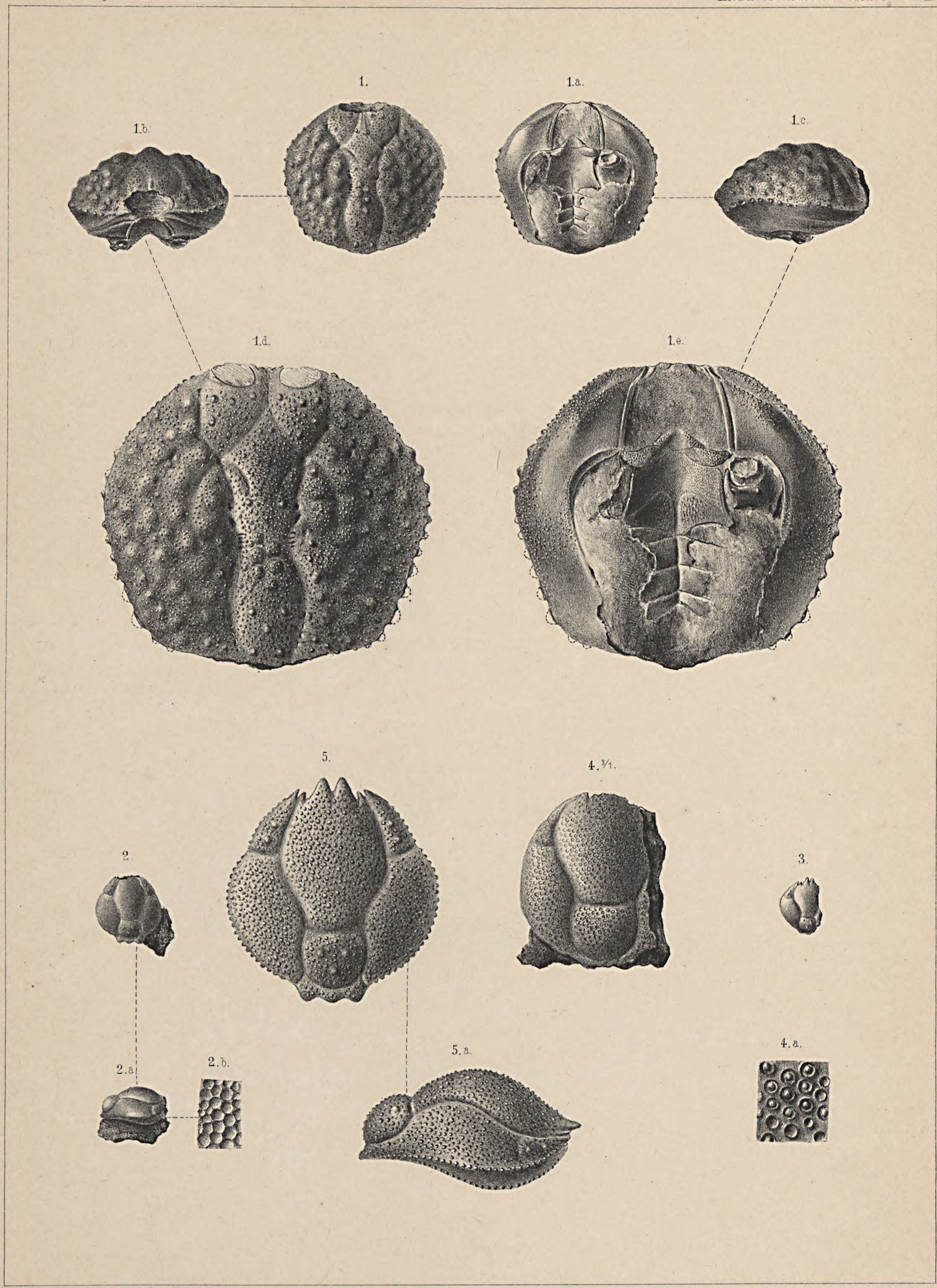




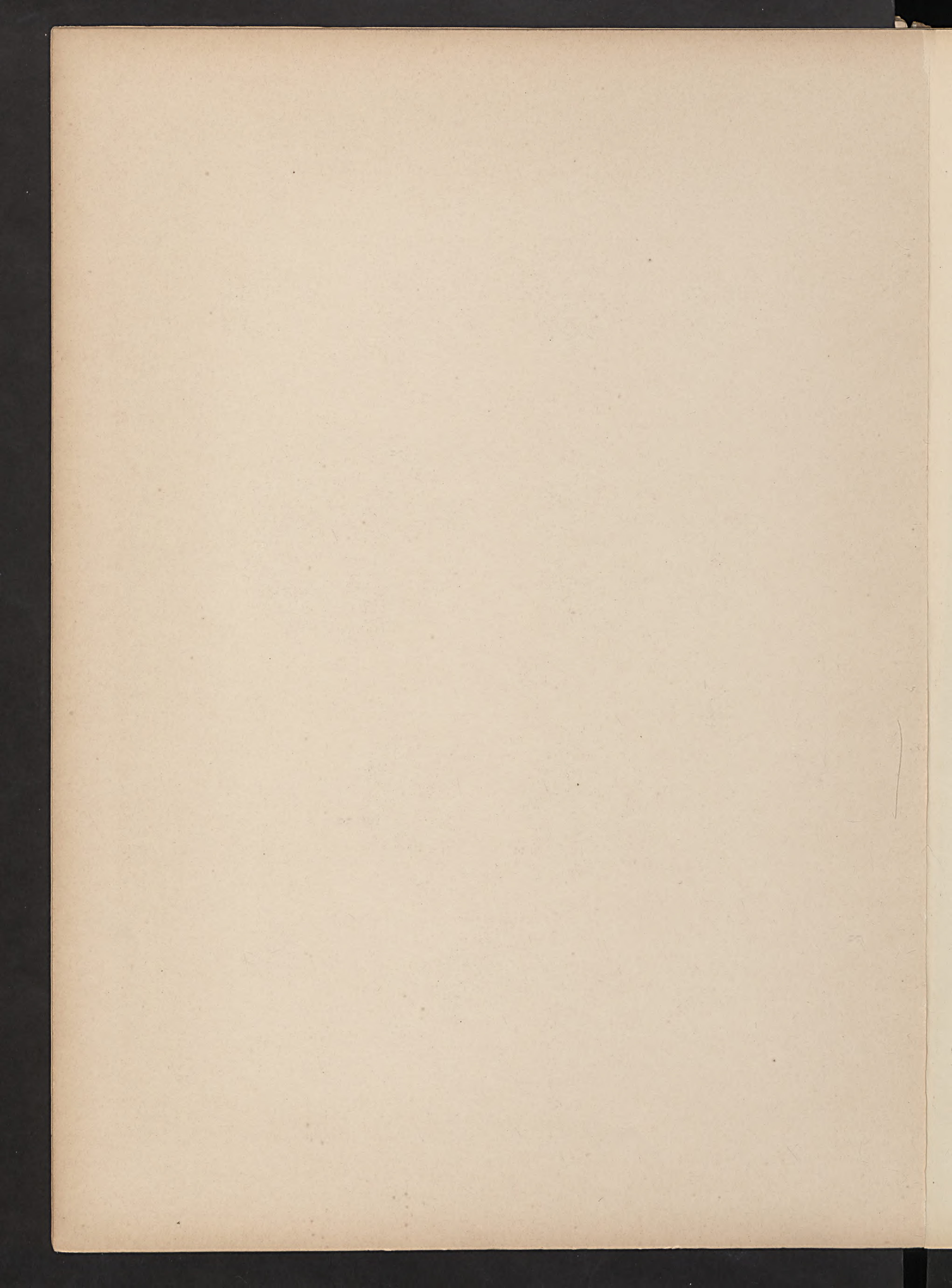
Tafel II.

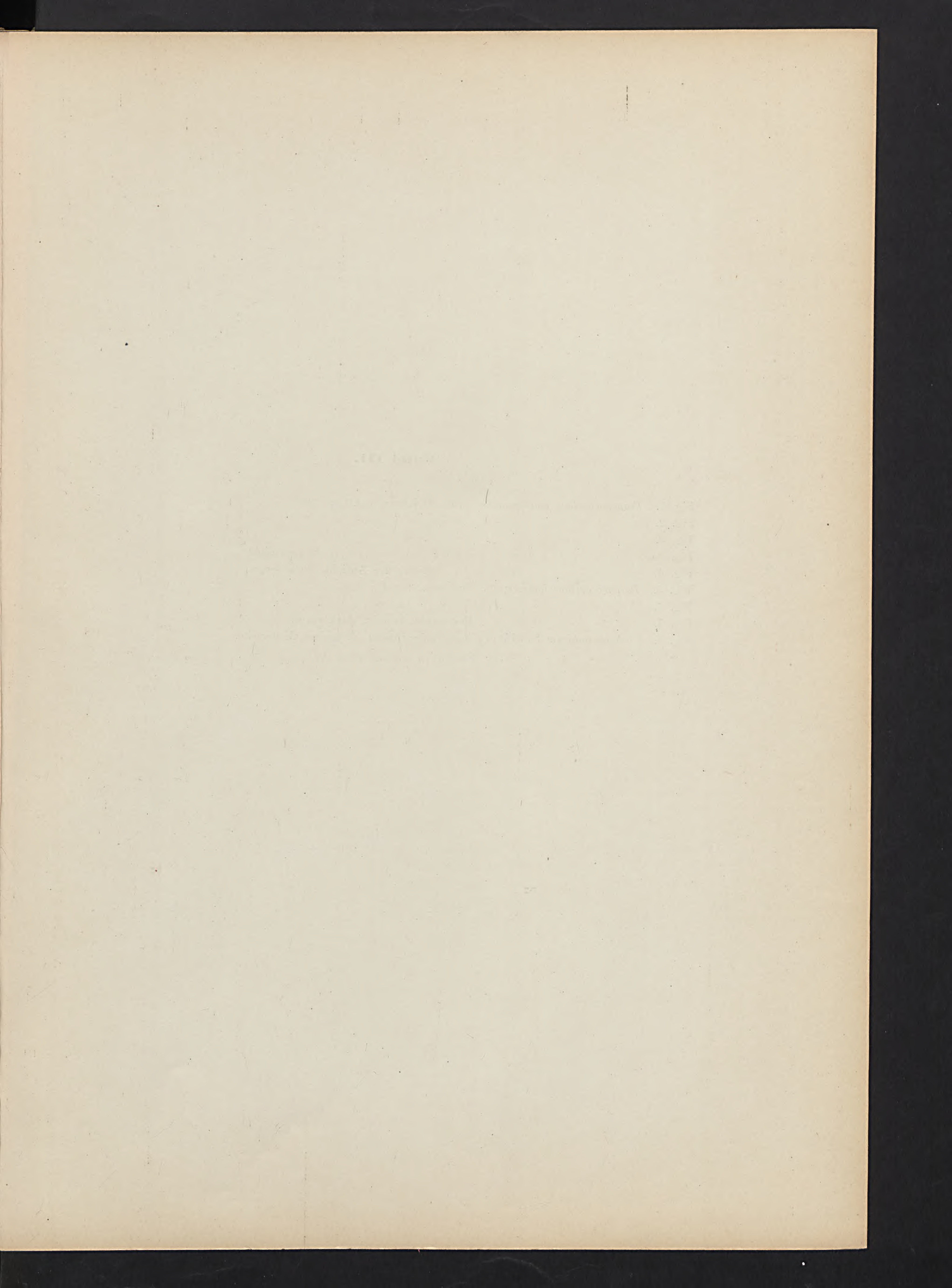
Fig. 1. *Calappilia perlata* sp. n., nat. Gr., Oberseite mit erhaltener Schale.
Fig. 1a. » » » » » Unterseite.
Fig. 1b. » » » » » Vorderansicht.
Fig. 1c. » » » » » Seitenansicht.
Fig. 1d. » » » » » Oberseite, stark vergr., in der Frontalregion etwas ergänzt.
Fig. 1e. » » » » » Unterseite, stark vergr.
Fig. 2. *Ilia corrodata* sp. n., nat. Gr., Steinkern.
Fig. 2a. » » » » » » Seitenansicht.
Fig. 2b. » » » » » Ein Stück der Oberfläche des Steinkernes, stark vergr.
Fig. 3. » » » » » Steinkern.
Fig. 4. » » » stark vergr., mit theilweise erhaltener Schale.
Fig. 4a. » » » » » ein Stück der Schale, stark vergr.
Fig. 5. » » » restaurirte Ansicht (mit theilweiser Zuhülfenahme eines recenten Exemplares), stark vergr.
Fig. 5a. » » » desgl. Seitenansicht.

Sämmtlich aus der Zone A_1.



E. Ohmann del et lith. Druck A. Renaud.

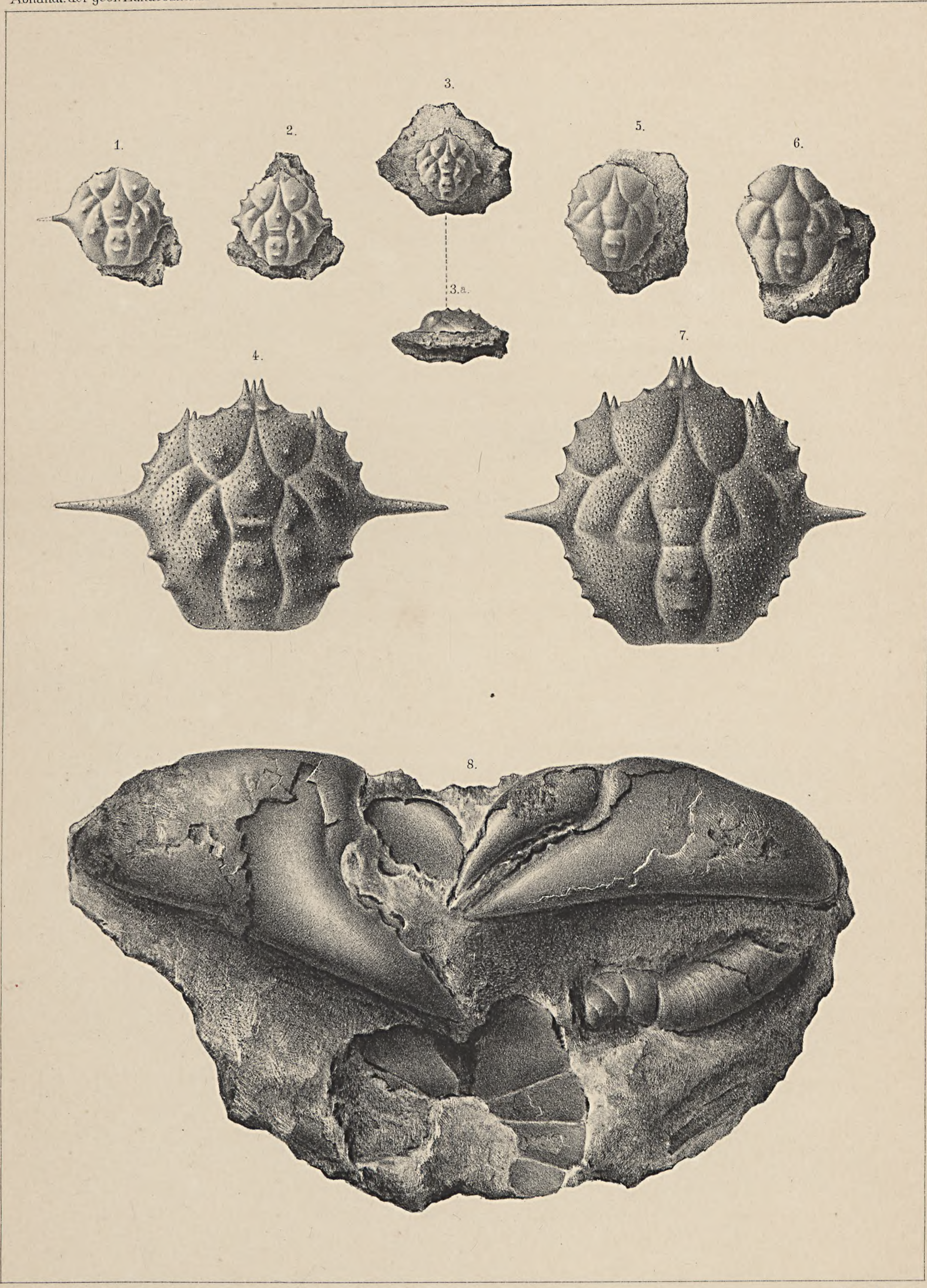




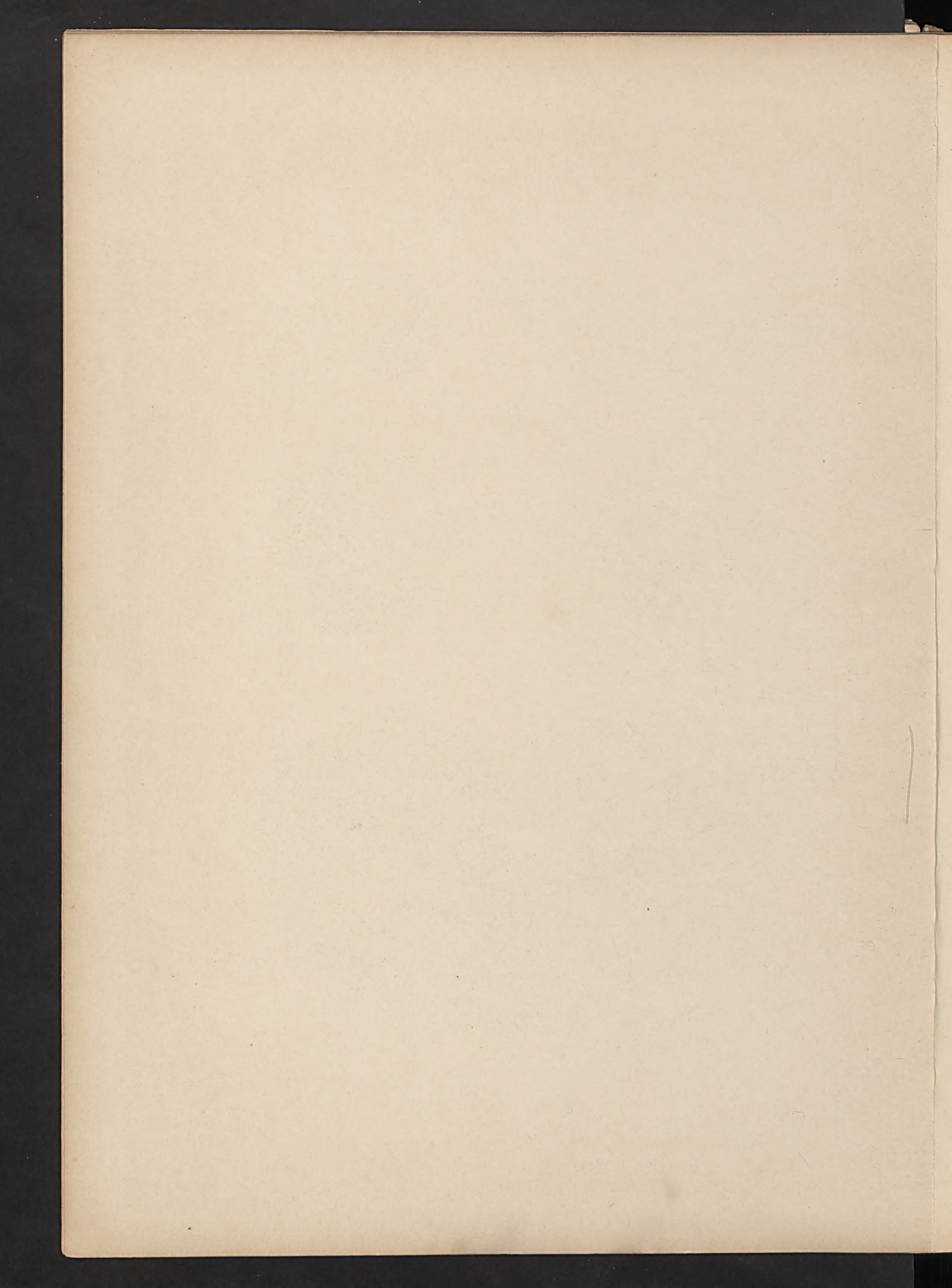
Tafel III.

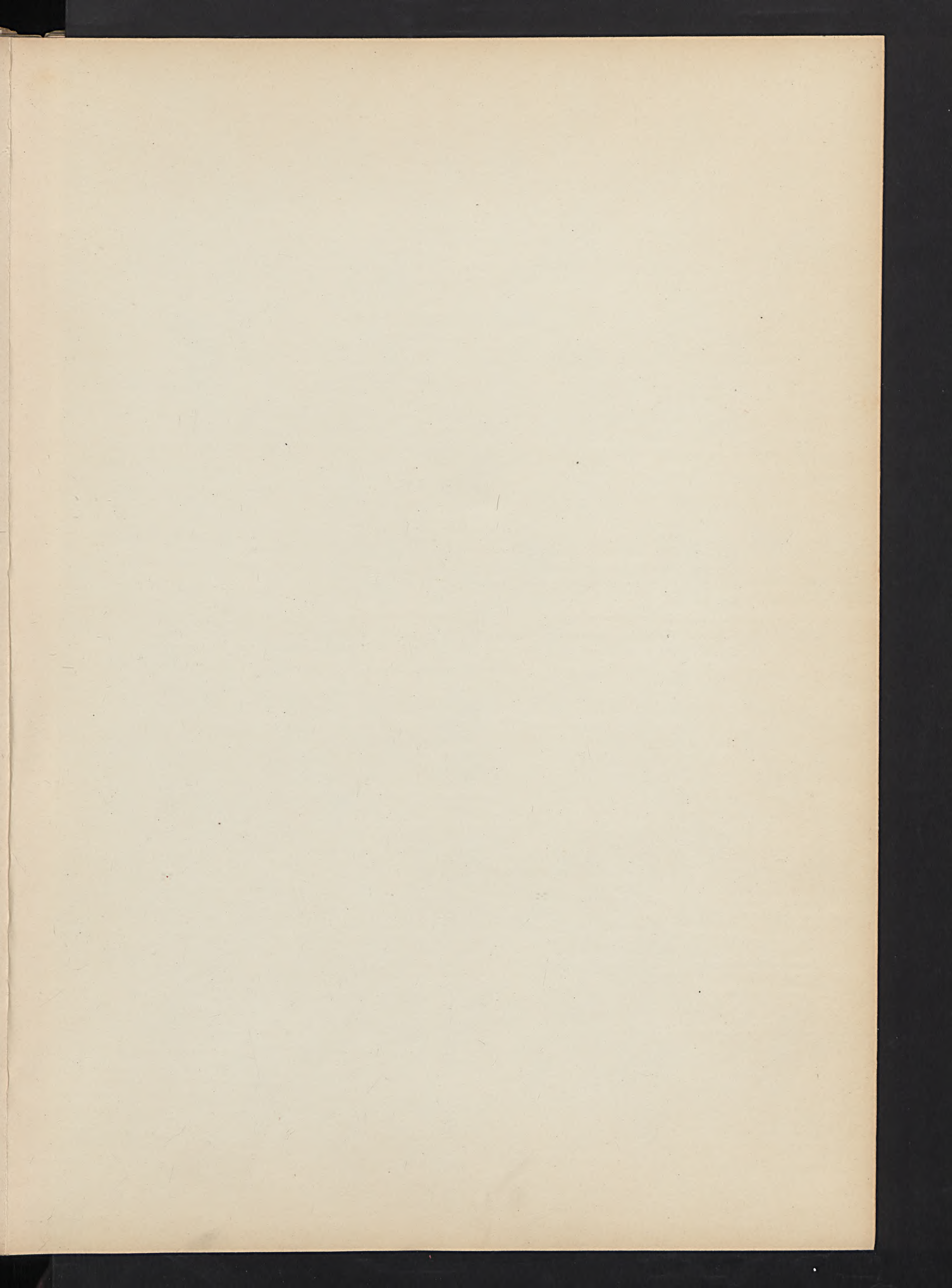
Fig. 1.	*Psammocarcinus*	*multispinatus*	sp. n.,	Steinkern,	nat.	Gr.	
Fig. 2.	»	»	»	»	»	»	
Fig. 3.	»	»	»	»	»	»	
Fig. 3a.	»	»	»	»	»	»	Seitenansicht.
Fig. 4.	»	»	» Restaurirte Ansicht, stark vergr.				
Fig. 5.	*Psammocarcinus laevis* sp. n., Steinkern, nat. Gr.						
Fig. 6.	»	»	»	»	»	»	
Fig. 7.	»	»	» Restaurirte Ansicht, stark vergr.				
Fig. 8.	*Coeloma balticum* Schlüter, Eines der grössten Exemplare, Unterseite.						

Sämmtlich aus der Zone A_1.



E. Ohmann del et lith. Druck A. Renaud.





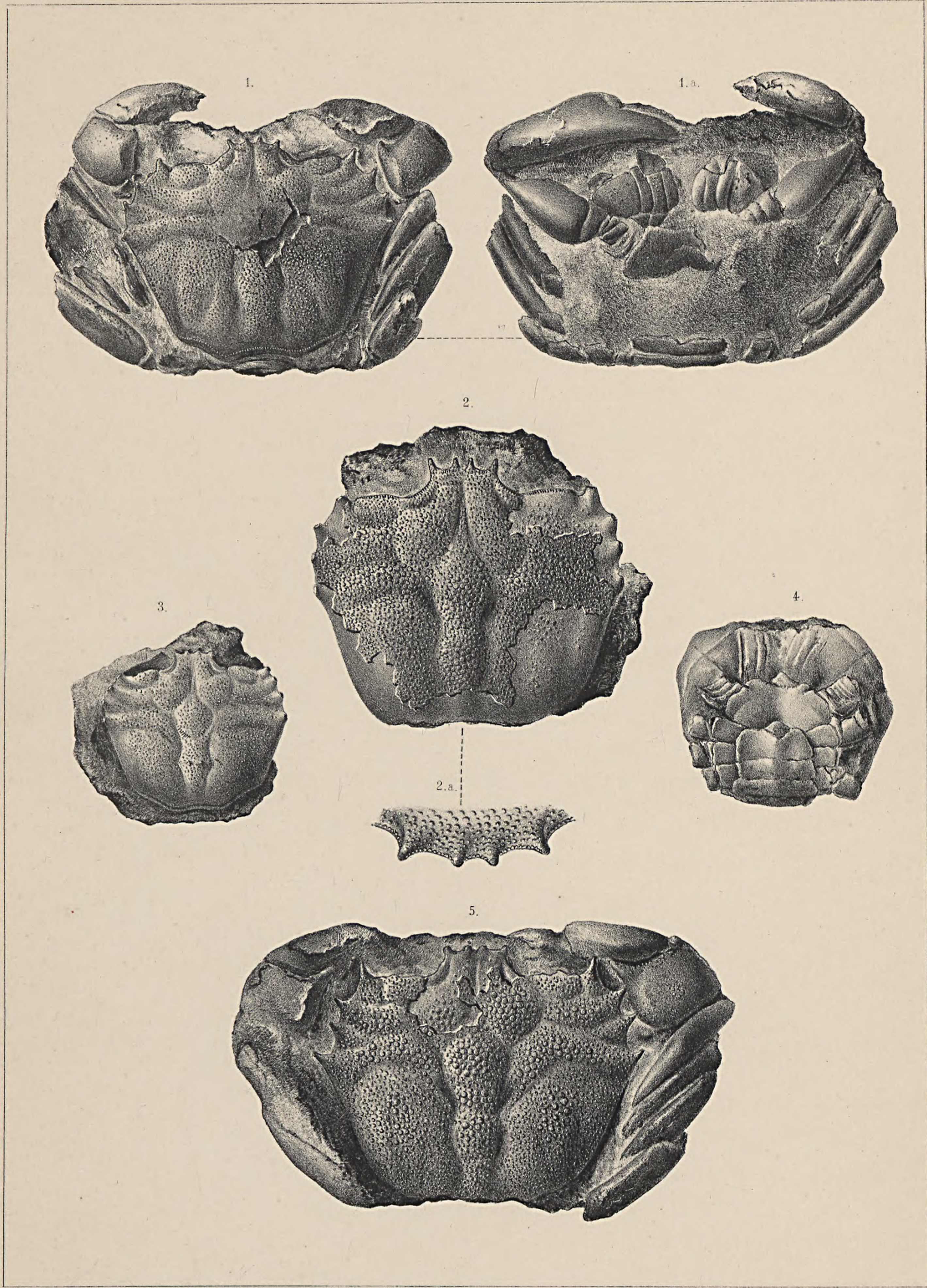
Tafel IV.

Coeloma balticum Schlüter.

Fig. 1. Sehr vollständig erhaltenes Exemplar.
Fig. 1a. Dasselbe von der Unterseite.
Fig. 2. Dient zur Erläuterung der Charaktere der Frontalregion.
Fig. 2a. Die Stirn stark vergr. und theilweise ergänzt.
Fig. 3. Kleinstes Exemplar.
Fig. 4. Weibliches Exemplar von der Unterseite.
Fig. 5. Dient namentlich zur Erläuterung der Charaktere des Anterolateralrandes und der Granulation.

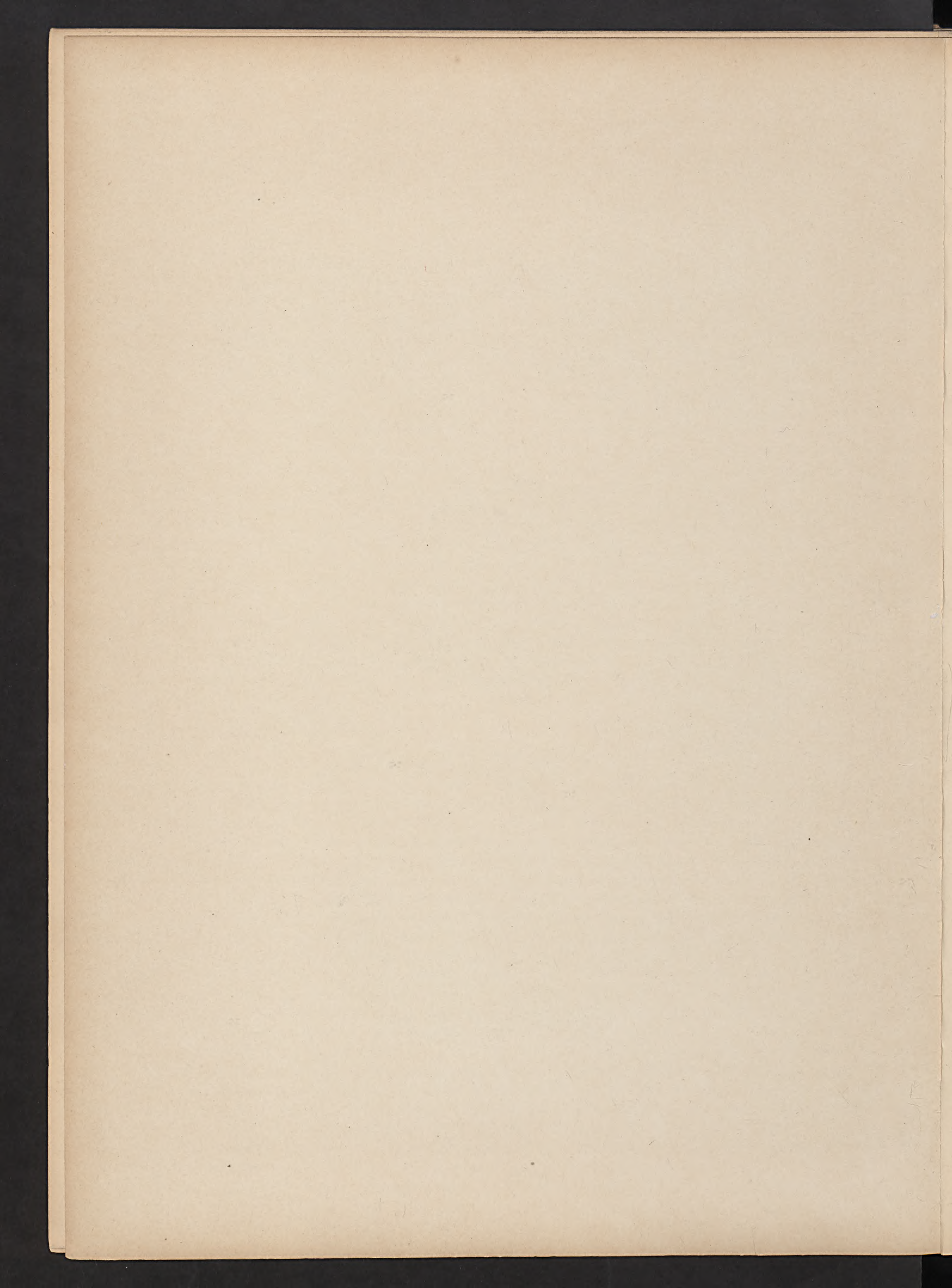
Sämmtlich aus der Zone A_1.

F. Noetling. Die Fauna des samländ. Tertiärs.



E. Ohmann del et lith.

Druck A. Renaud.



Tafel V.

Coeloma balticum Schlüter.

Fig. 1. Exemplar von der Unterseite zeigt den Abdruck des Endostoms.

Fig. 2. Steinkern, veranschaulicht den Gegensatz in der Schärfe der Furchen zwischen Steinkern und einem mit der Schale erhaltenen Exemplare und zeigt ausserdem die inneren Dornen der Augenhöhlen.

Fig. 2a. Derselbe, Seitenansicht.

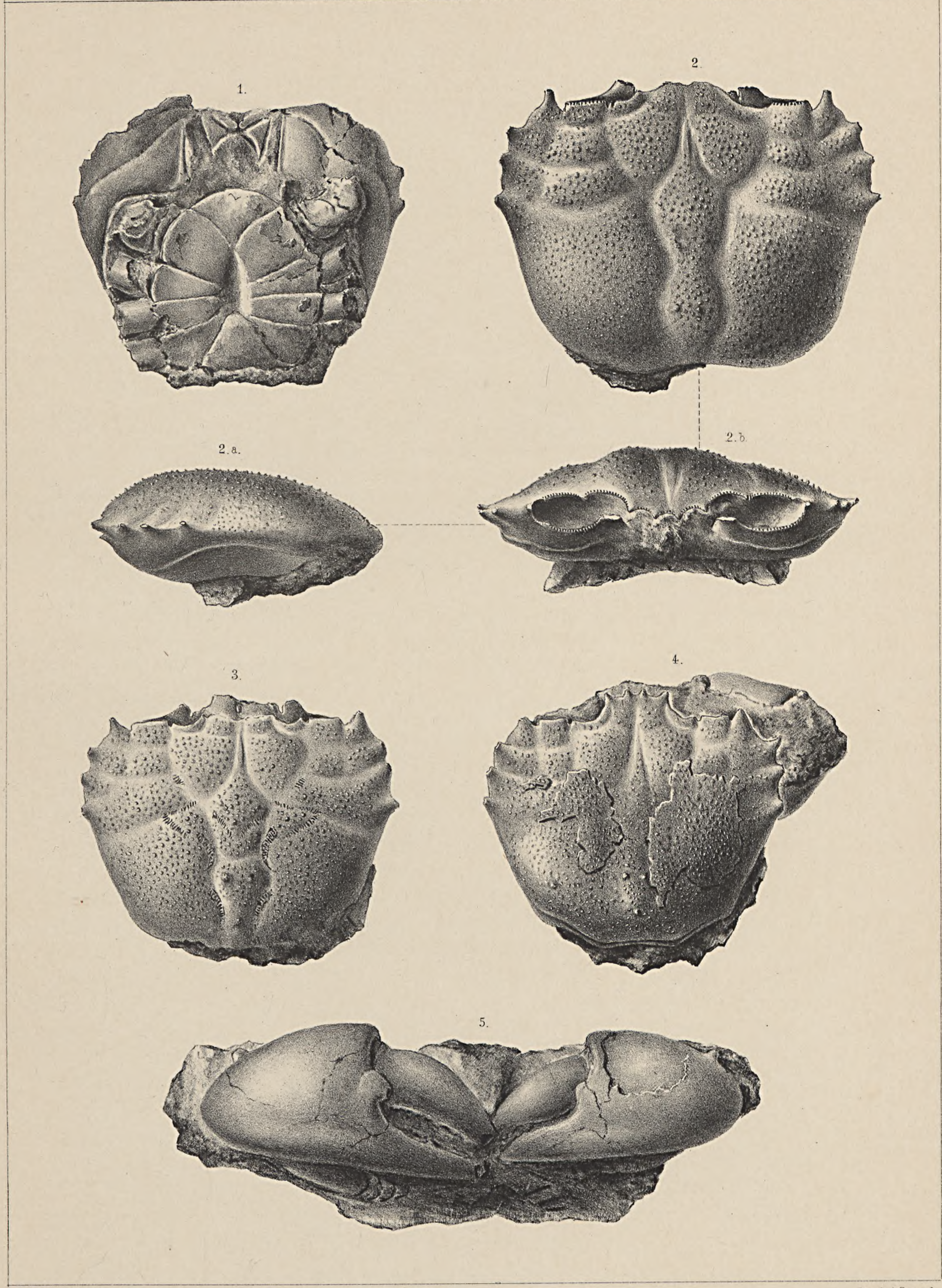
Fig. 2b. Vorderansicht theilweise restaurirt.

Fig. 3. Steinkern, zeigt die, wohl als Muskelhaftstellen zu deutenden Rauhigkeiten und die drei Höcker der Cardialregion.

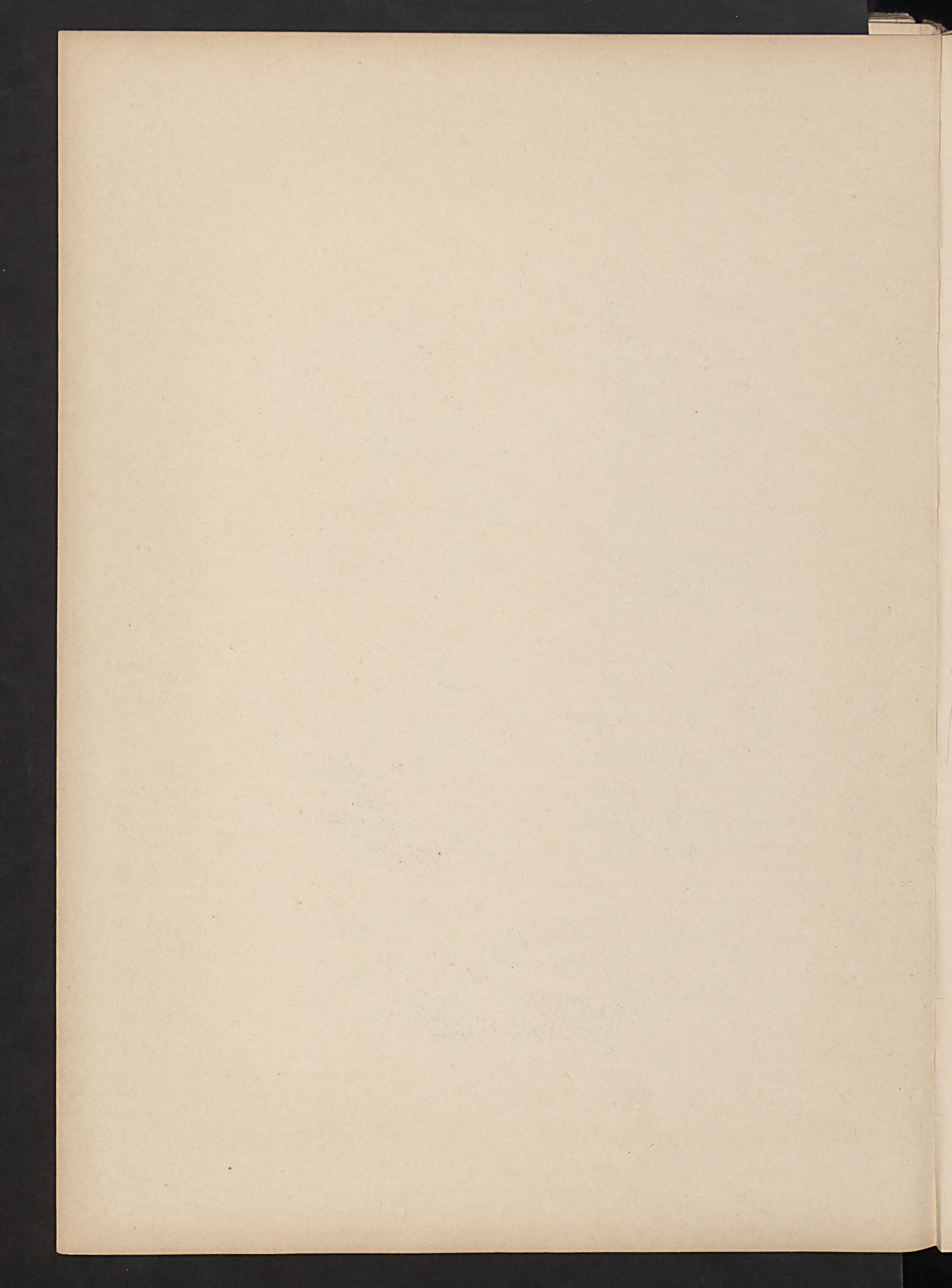
Fig. 4. Steinkern, zeigt die drei Höcker auf dem Epicardiallobus.

Fig. 5. Vorderansicht, veranschaulicht die Lage der Scheeren.

Sämmtlich aus der Zone A_1.



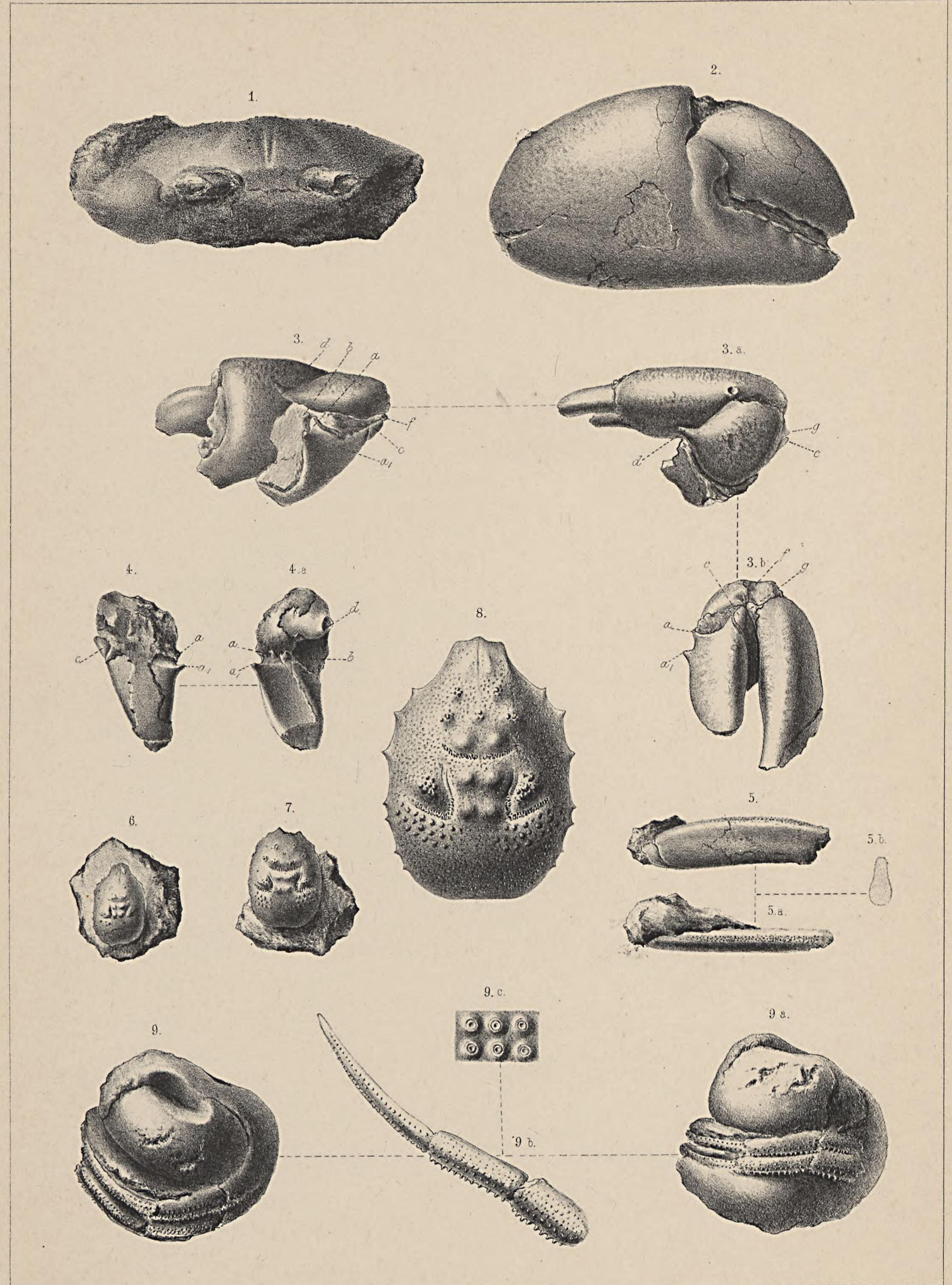
E. Ohmann del et lith. Druck A. Renaud.



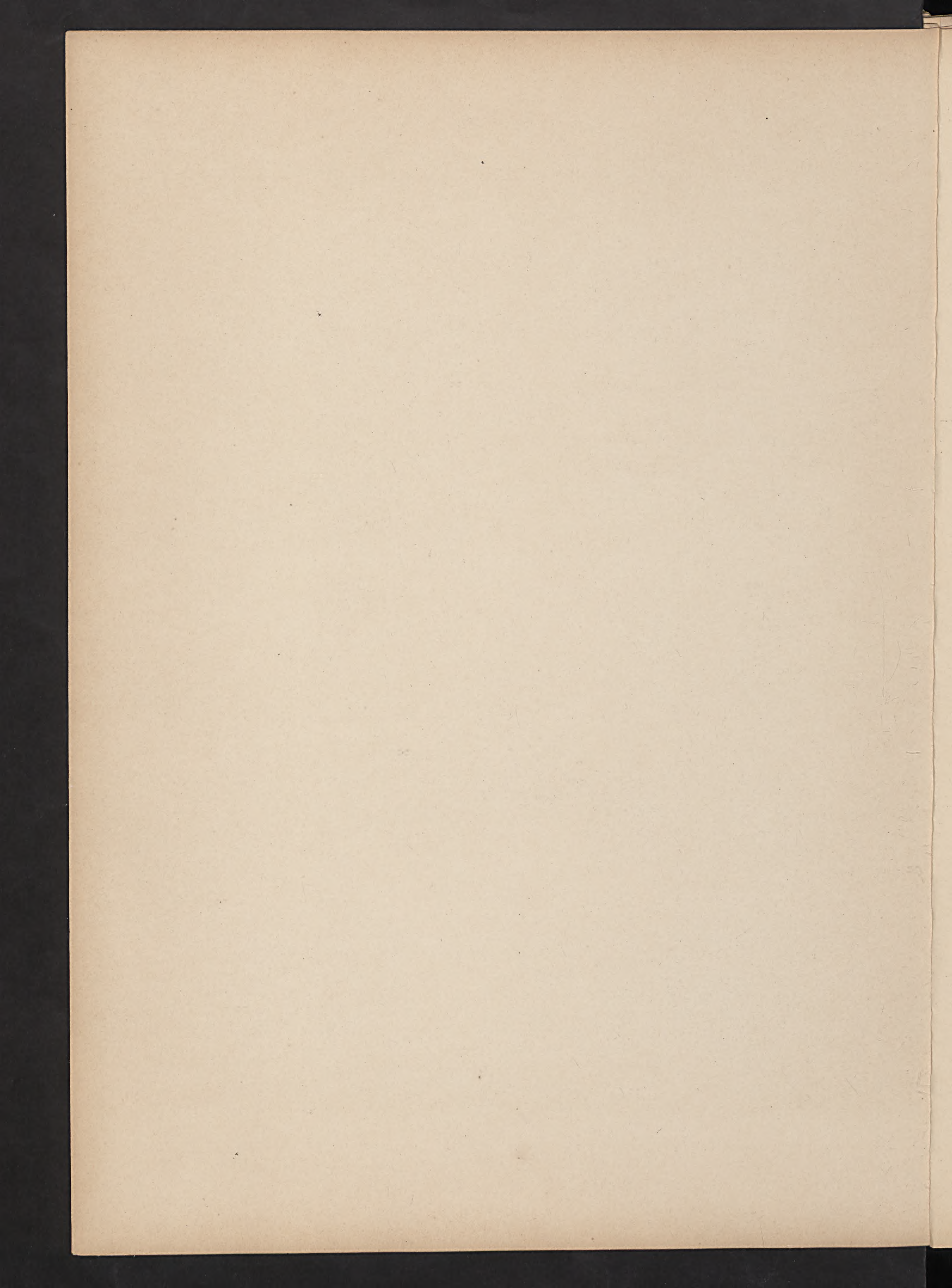
Tafel VI.

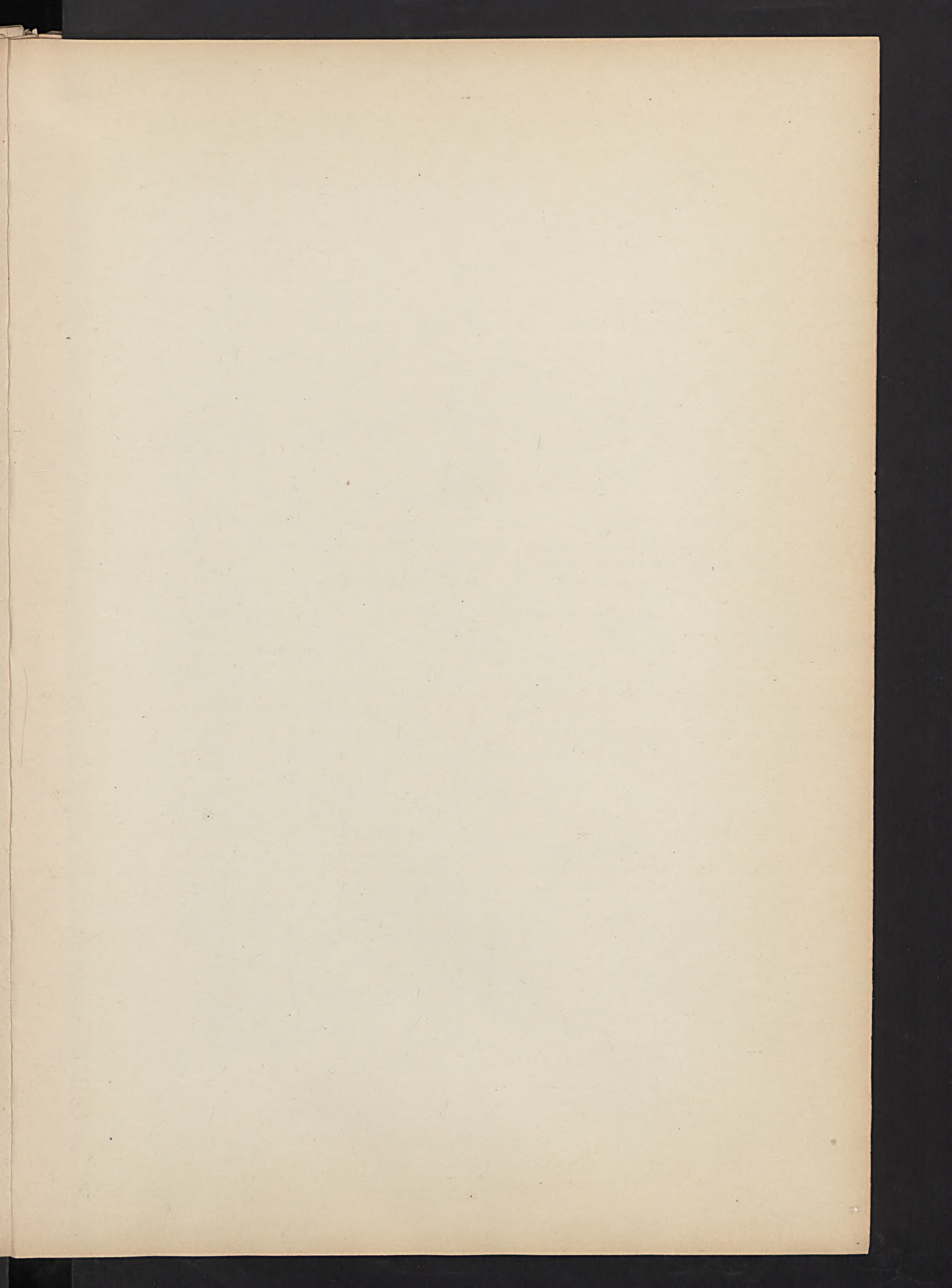
Fig. 1. *Coeloma balticum* Schlüter, mit wohl erhaltenen Augenstielen.
Fig. 2. » » » isolirte rechte Scheere.
Fig. 3. » » » isolirter erster Fuss der rechten Seite. Hinterseite.
Fig. 3a. » » » » » » » » » Oberseite.
Fig. 3b. » » » » » » » » » Unterseite.
Fig. 4. *Coeloma balticum* Schlüter, isolirter Oberarm, Aussenseite.
Fig. 4a. » » » » » Innenseite.
Fig. 5. *Coeloma balticum* Schlüter, isolirter Oberschenkel, Seitenansicht.
Fig. 5a. » » » » » Oberseite.
Fig. 5b. » » » » » Querschnitt.
Fig. 6. *Dromilites Succini* sp. n., Steinkern, nat. Gr.
Fig. 7. » » » » » »
Fig. 8. » » » Restaurirte Ansicht, stark vergr.
Fig. 9. *Pagurus Damesii* sp. n., Oberansicht.
Fig. 9a. » » » Seitenansicht.
Fig. 9b. » » » Einzelner Fuss etwas ergänzt und stark vergr.
Fig. 9c. » » » Skulptur des letzten Gliedes, stark vergr.

Sämmtlich aus der Zone A_1.



E. Ohmann del et lith. Druck A. Renaud.



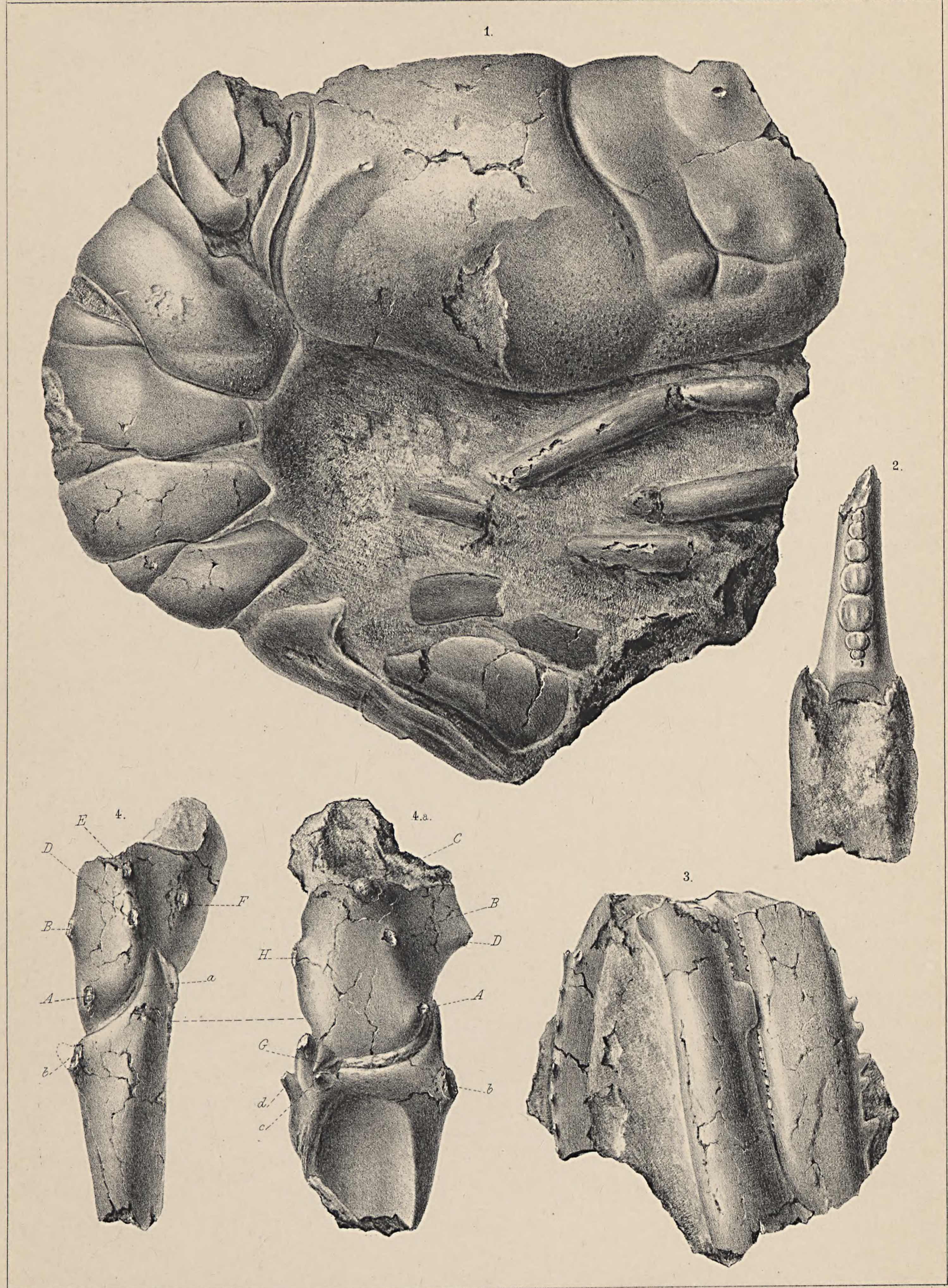


Tafel VII.

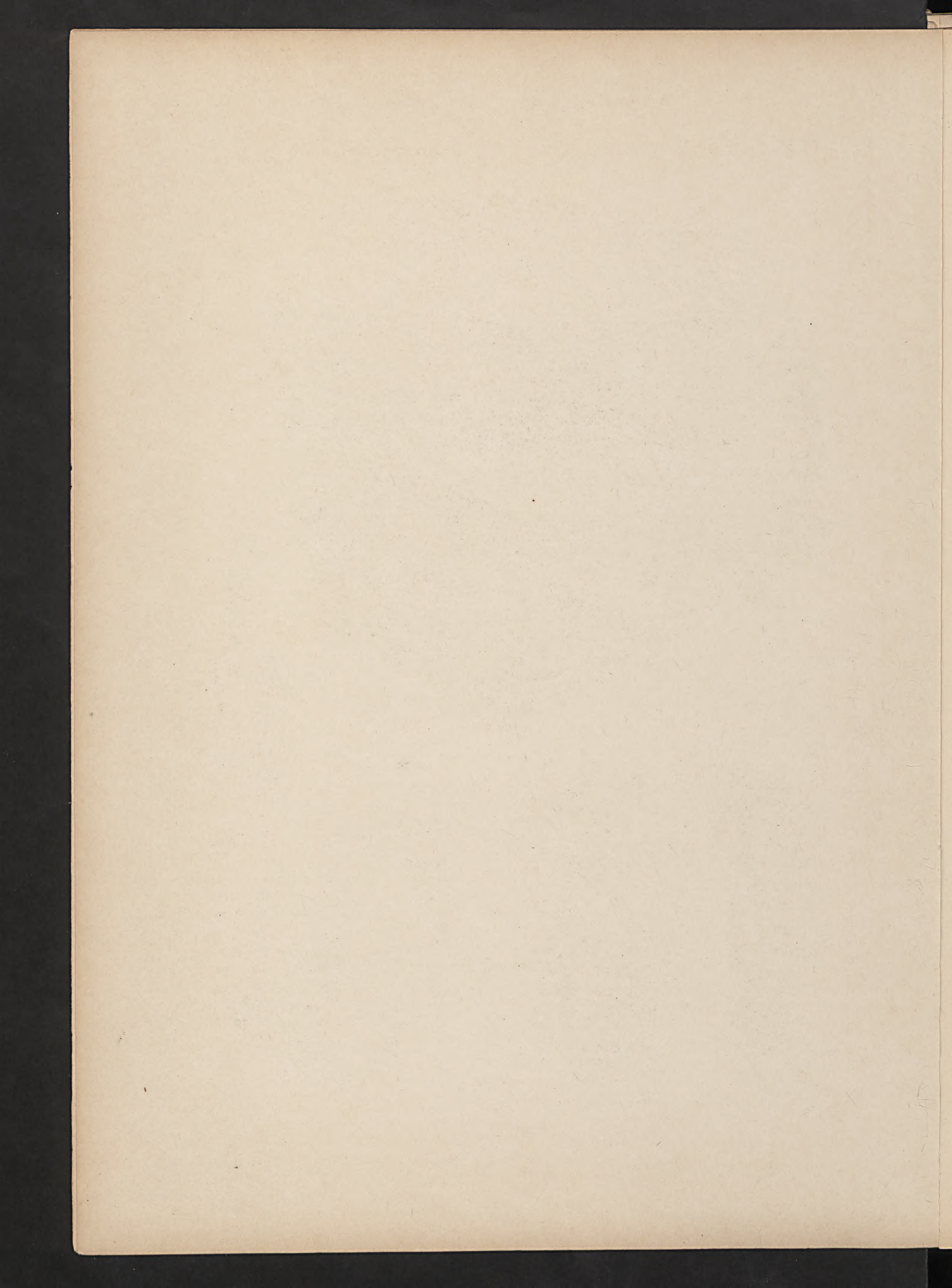
Hoploparia Klebsii sp. n., nat. Gr.

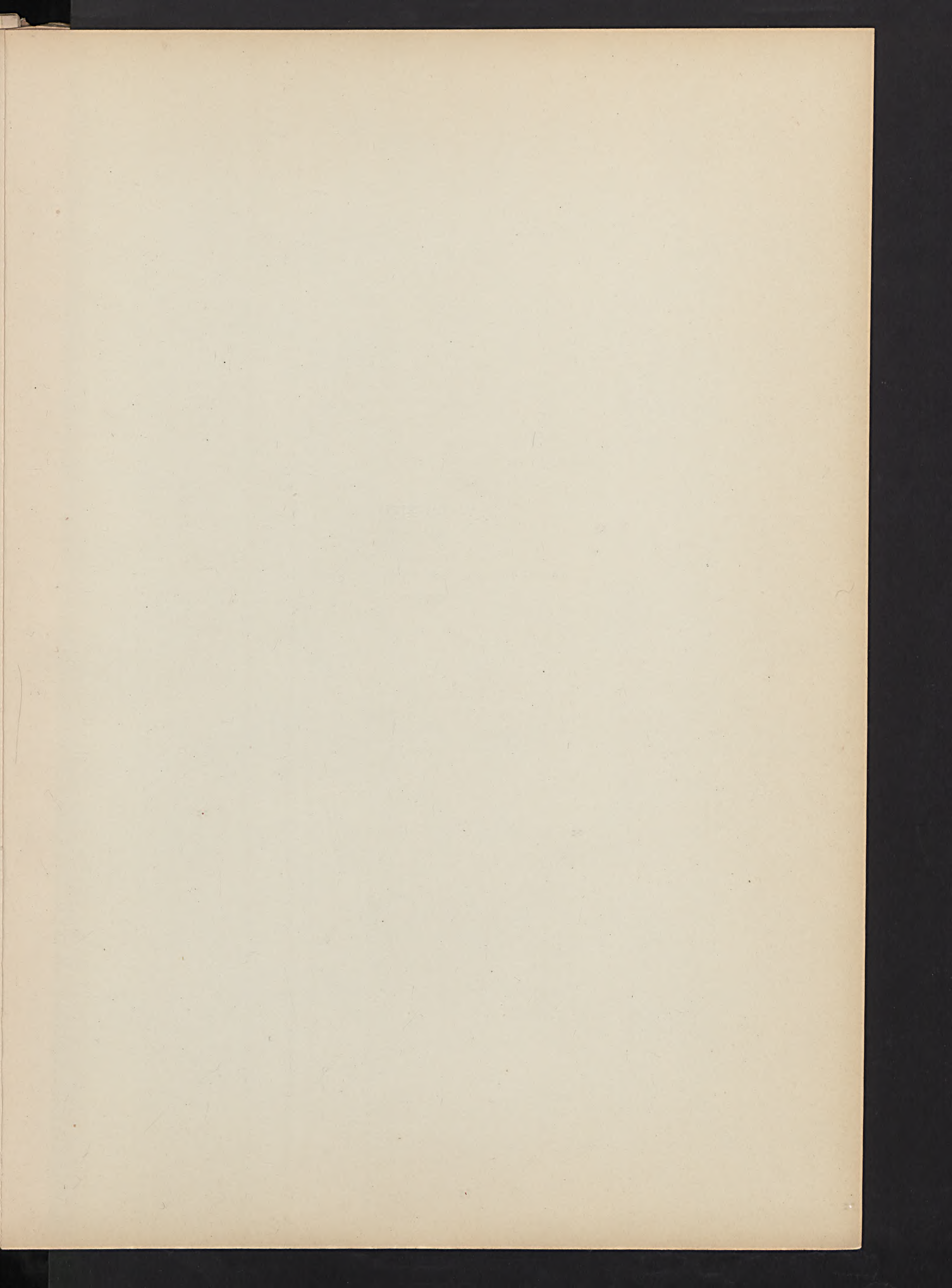
Fig. 1. Sehr vollständig erhaltenes Exemplar mit Cephalothorax und Abdomen.
Fig. 2. Innenseite des unbeweglichen Fingers.
Fig. 3. Fragment der Hand mit sehr schwach ausgebildeten Zähnen (der unbewegliche Finger stark zerquetscht).
Fig. 4. Rechter Ober- und Vorderarm, Aussenseite (von oben).
Fig. 4a. » » » » Innenseite.

Sämmtlich aus der Zone A_1.



E. Ohmann del. et lith. Druck A. Renaud.





Tafel VIII.

Hoploparia Klebsii sp. n.
Grösstes Exemplar einer Scheere mit Vorderarm.
Aus der Zone A_1.

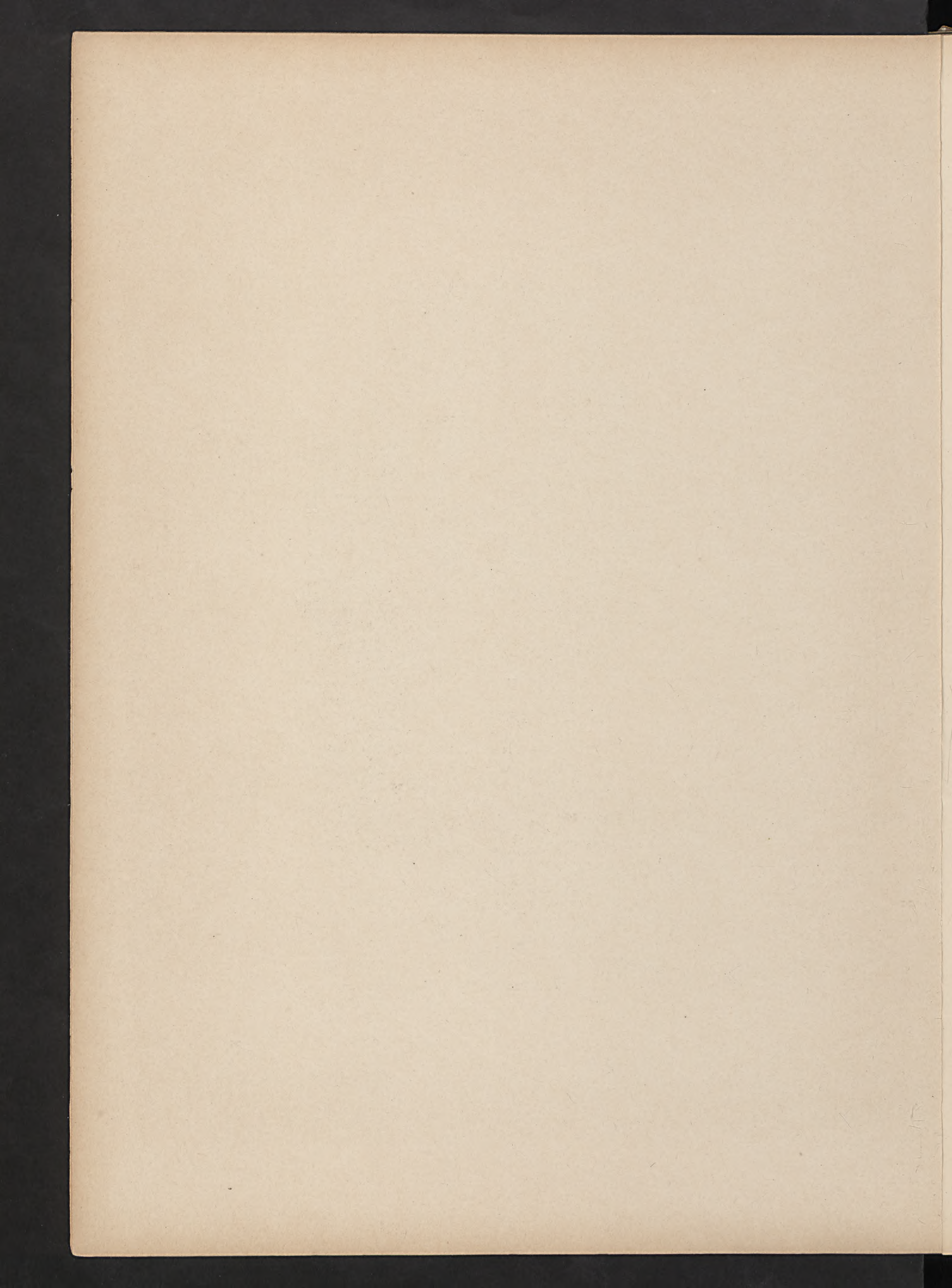
F. Noetling. Die Fauna des samländ. Tertiärs.

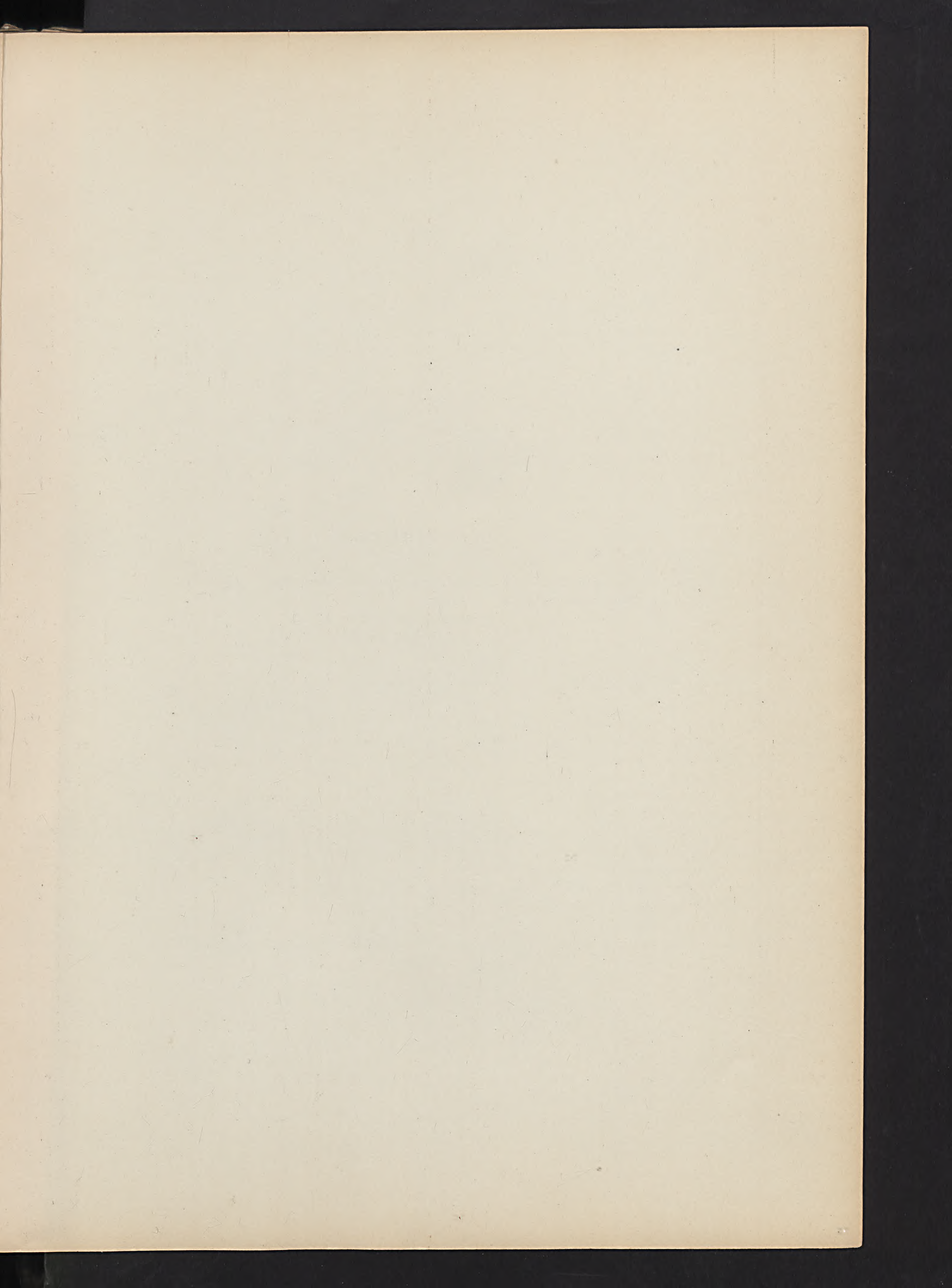
1.



E. Ohmann del et lith.

Druck A. Renaud.





Tafel IX.

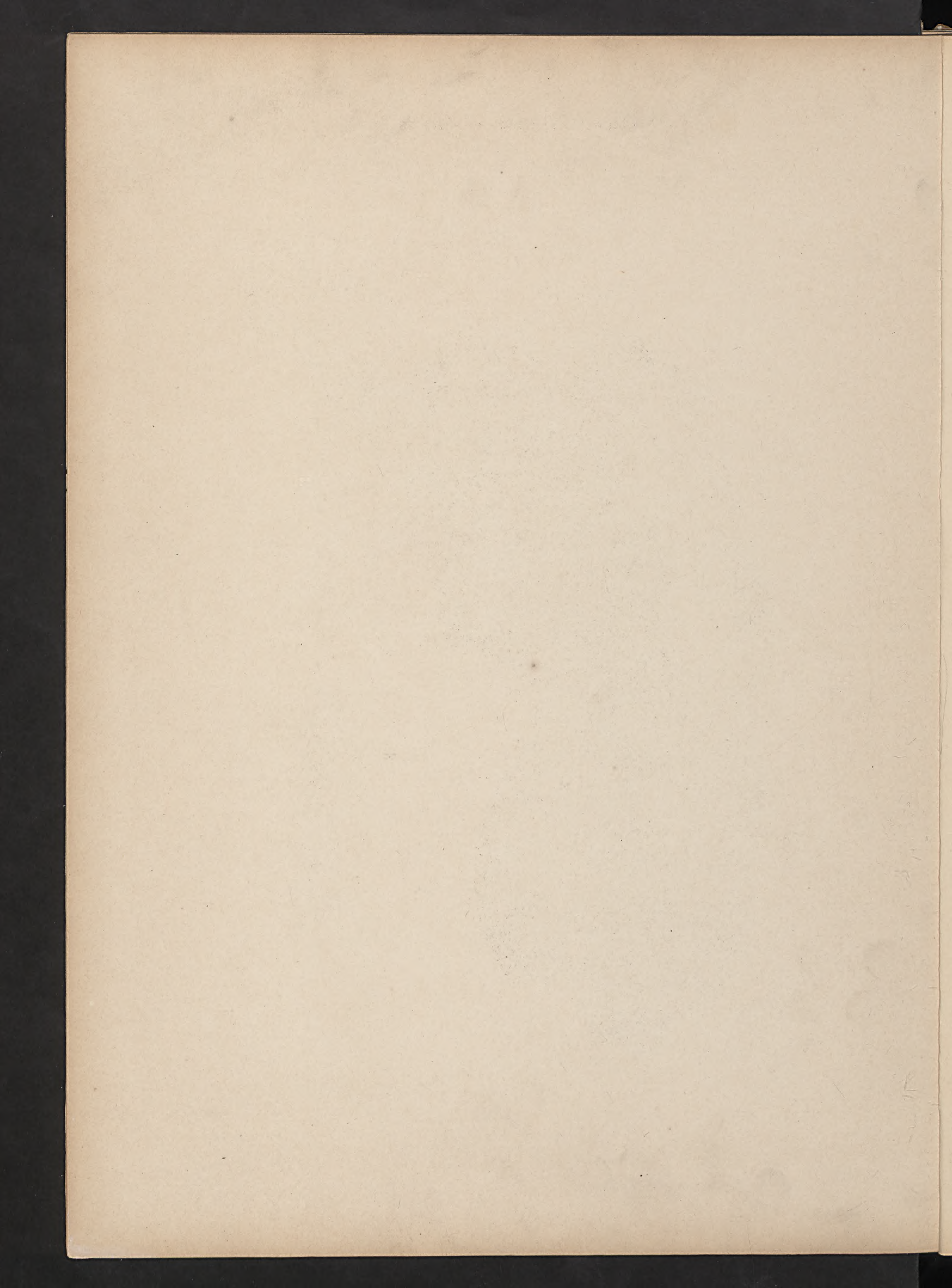
Fig. 1. *Hoploparia Klebsii* sp. n., Exemplar mit erhaltenem Scheerenfuss.

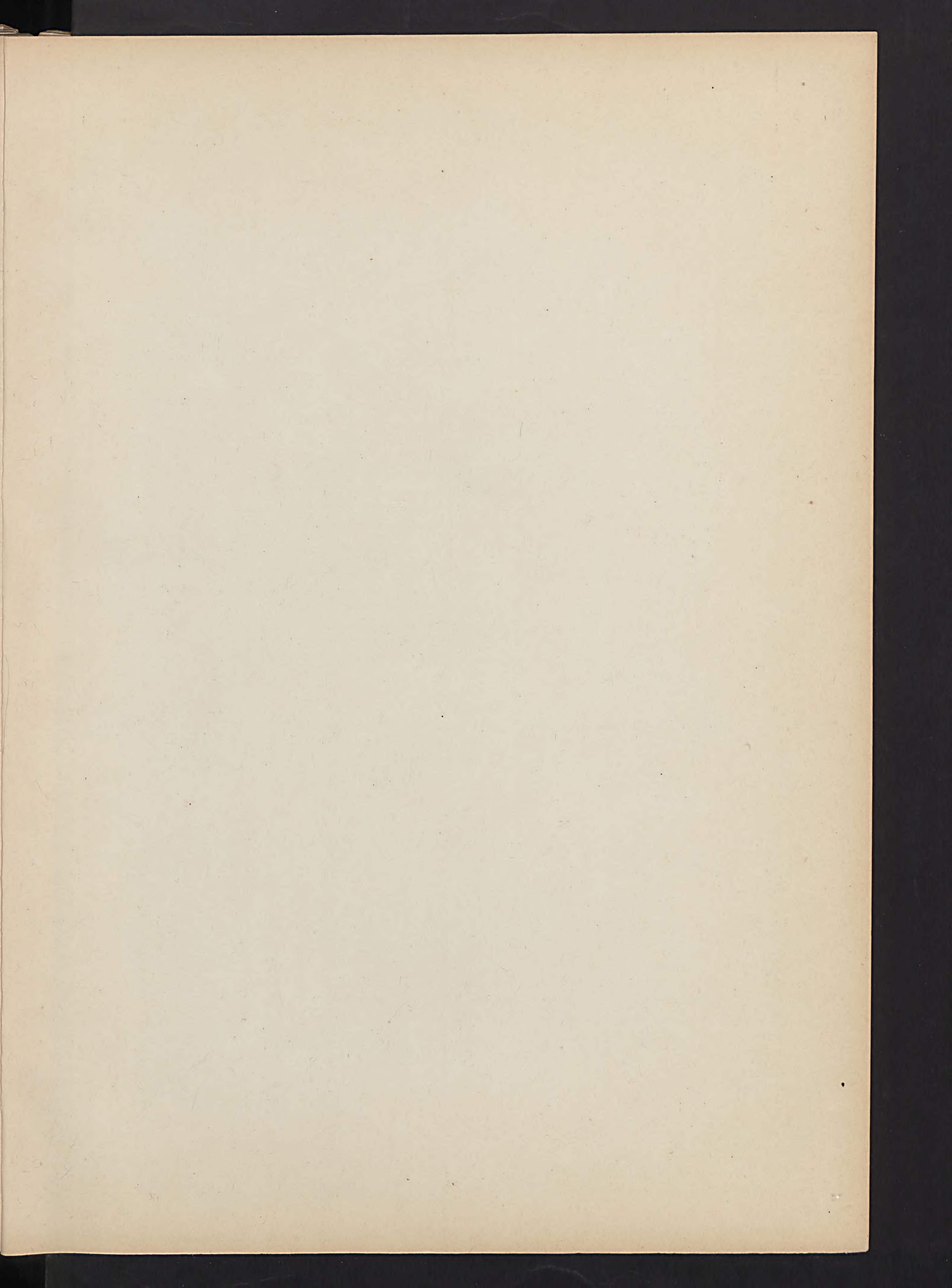
Fig. 1a. Scheere von der Oberseite.

Sämmtlich aus der Zone A_1.



E. Ohmann del et lith. Druck A. Renaud.





Tafel X.

Fig. 1. *Serpula flagelliformis* (a) Sow. und *Serpula exigua* Sow. (b) auf der Innenseite von *Laevipatagus bigibbus* festgewachsen. Zone A_2.

Fig. 2. *Serpula flagelliformis* Sow. auf der Innenseite von *Ostrea flabellula* festgewachsen.

Fig. 3. *Serpula exigua* Sow., nat. Gr. Zone A_1.

Fig. 4. » » » stark vergr. und etwas ergänzt.

Fig. 5. *Serpula heptagona* Sow., an *Moerchia Bognoriensis* Mant. festgewachsen. Zone A_2.

Fig. 5a. » » » Querschnitt etwas unterhalb der Mündung.

Fig. 6. *Serpula heptagona* Sow., mit seitlich festgewachsenem jugendlichen Exemplar. Zone A_2.

Fig. 7. *Serpula heptagona* Sow., sehr junges Exemplar, Hohldruck. Zone A_1.

Fig. 7a. » » » » » » nach einem Wachsabdruck gezeichnet. Zone A_1.

Fig. 8. *Serpula heptagona* Sow., etwas älteres Exemplar, Hohldruck. Zone A_1.

Fig. 8a. » » » » » » nach einem Wachsabdruck gezeichnet (auf der Unterseite von *Maretia grignonensis* aufgewachsen).

Fig. 9. *Serpula heptagona* Sow., Operculum, Abdruck der Unterseite.

Fig. 10. *Serpula heptagona* Sow., Steinkern mit Abdruck der Unterseite des Operculums.

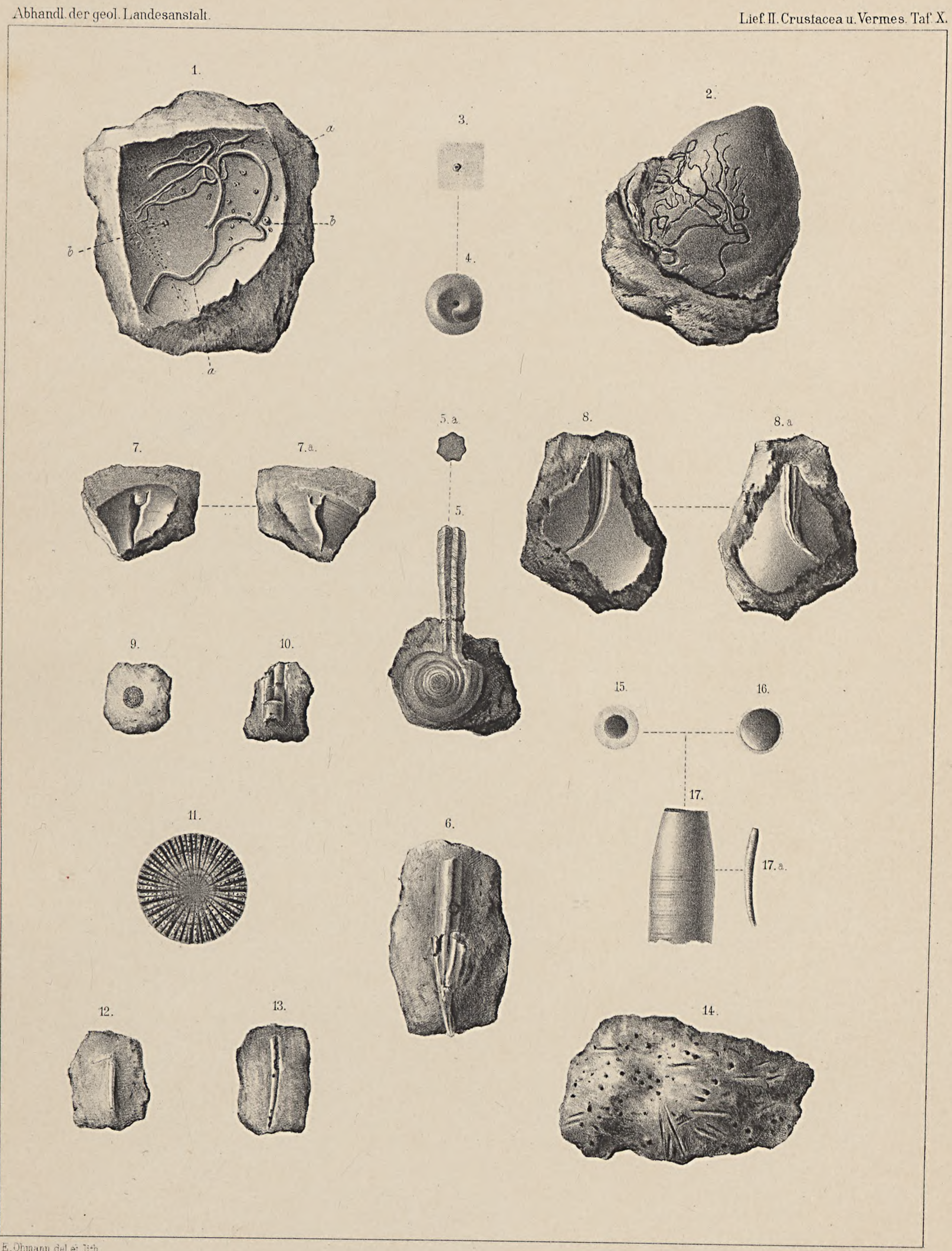
Fig. 11. *Serpula heptagona* Sow., Operculum, Unterseite, stark vergr.

Fig. 12. *Ditrupa strangulata* Desh. sp. Zone A_2.

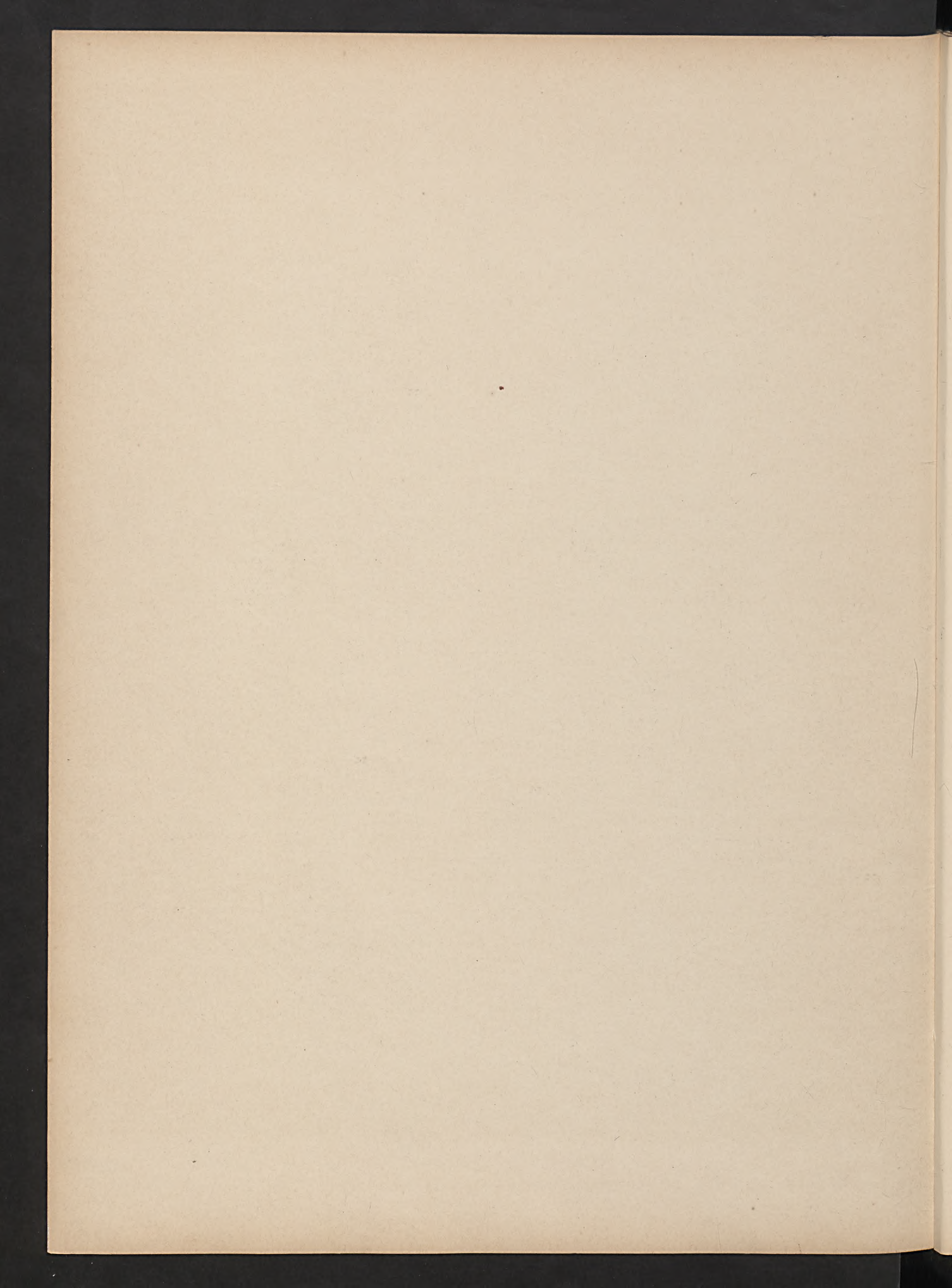
Fig. 13. *Ditrupa strangulata* Desh. sp. Zone A_2.

Fig. 14. *Ditrupa strangulata* Desh. sp., Kolonie. Zone A_1.

Fig. 15. *Ditrupa strangulata* Desh. sp. Querschnitt am unteren Ende }
Fig. 16. » » » » » » oberen Ende } stark vergr. und ergänzt mit theilweiser Benutzung eines belgischen Exemplares.
Fig. 17. » » » » Oberer Theil der Röhre }



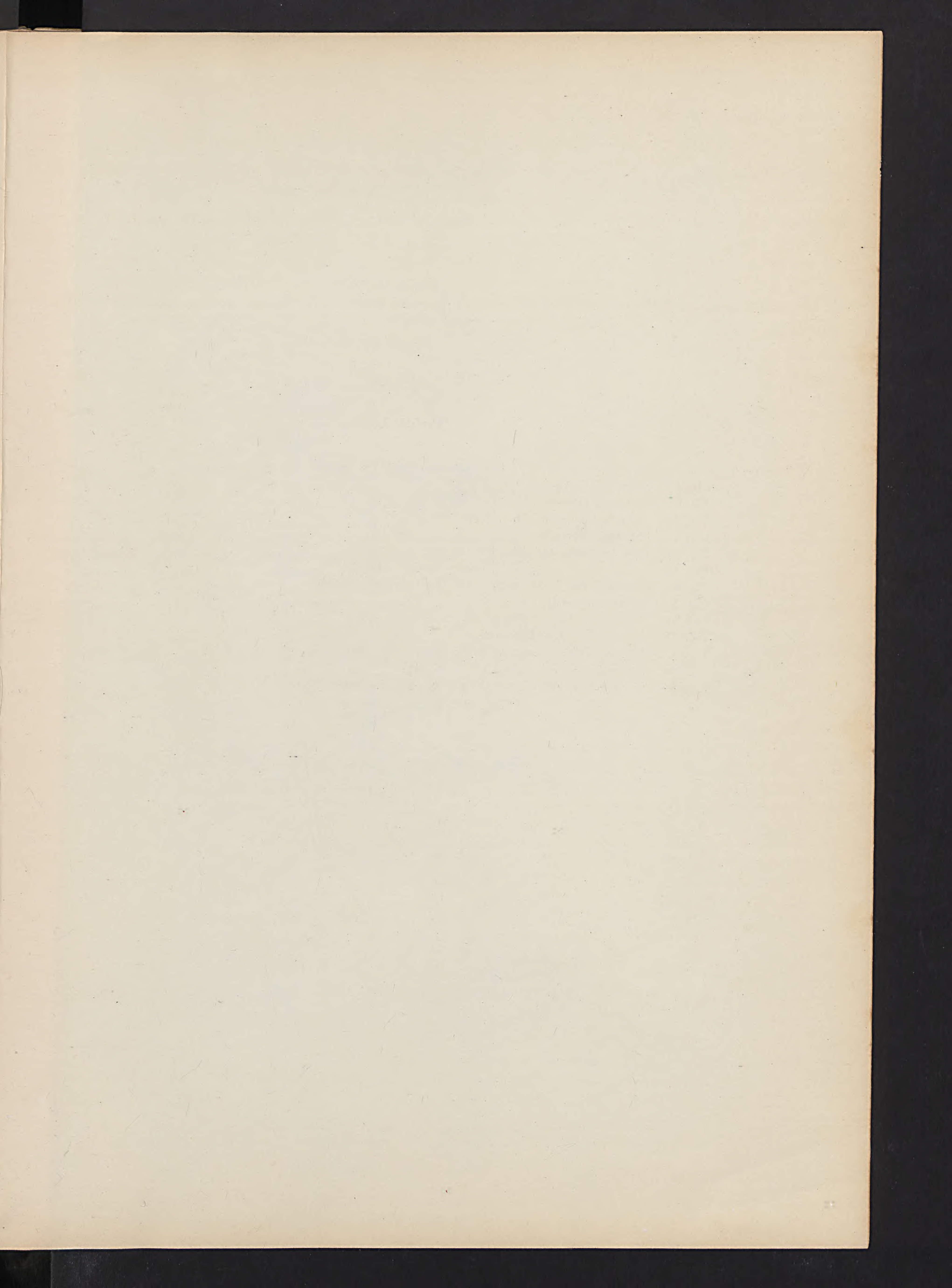
E. Ohmann del. et lith. Druck A. Renaud.



Lieferung VI.

Echinodermata.

Tafel I—VI.

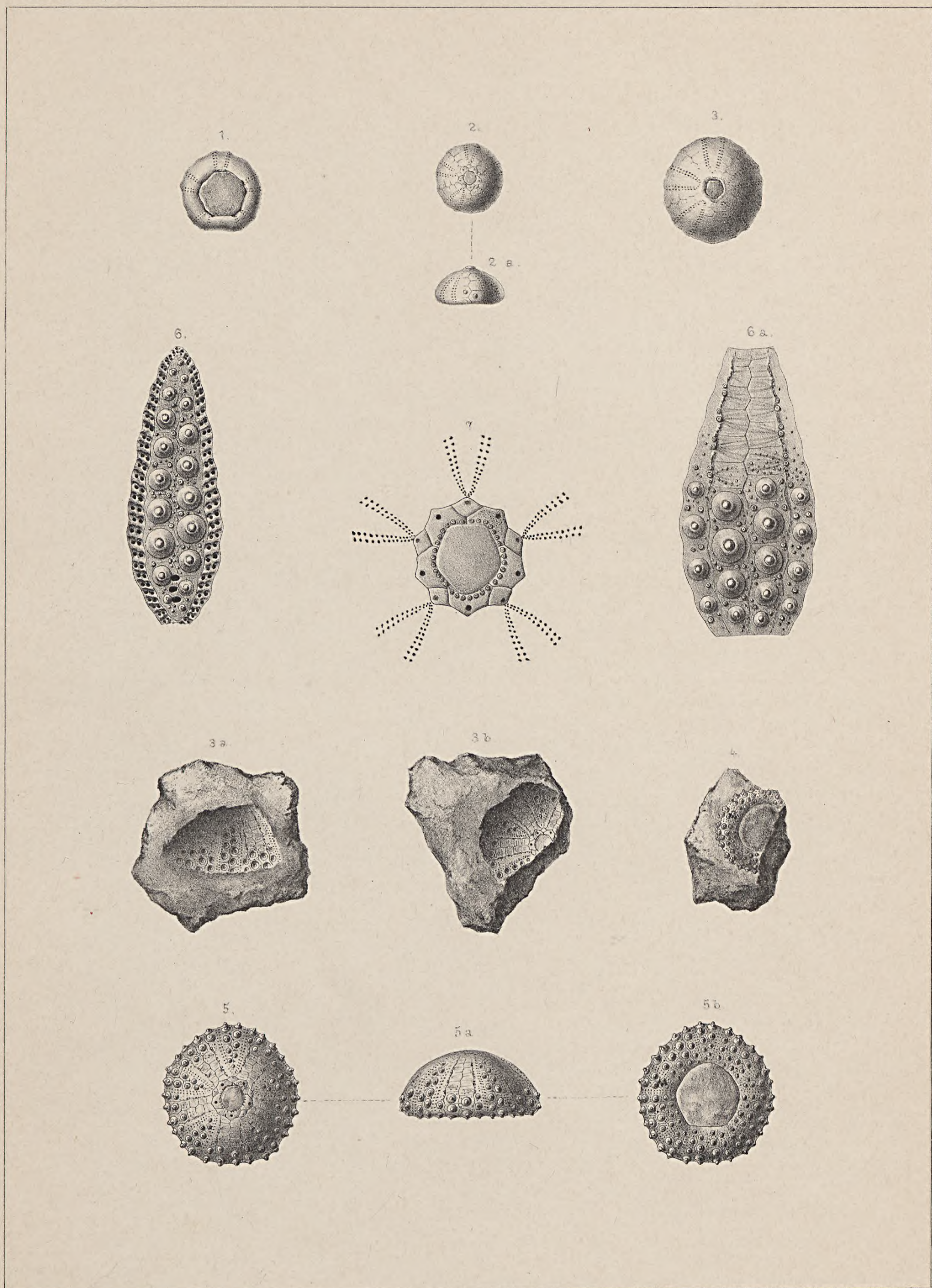


Tafel I.

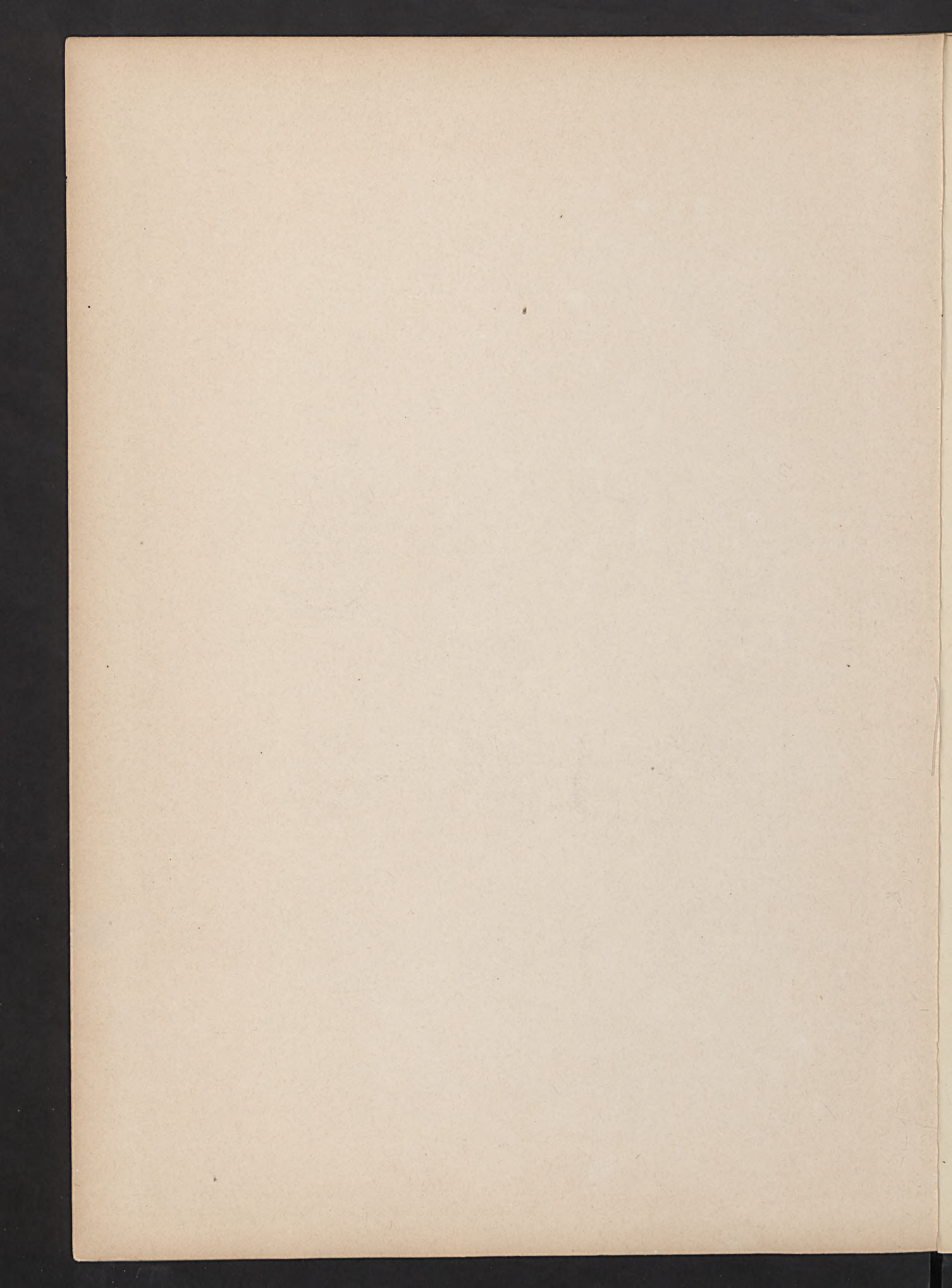
Coelopleurus Zaddachi sp. n.

Fig. 1. Steinkern, Unterseite.
Fig. 2. Steinkern, Oberseite.
Fig. 2a. » Seitenansicht.
Fig. 3. Steinkern, Oberseite.
Fig. 3a. Dazu gehöriger Abdruck, Seitenansicht.
Fig. 3b. » » » Oberseite mit Scheitelschild.
Fig. 4. Unterseite der Schale, nach einem Wachsabdruck gezeichnet.
Fig. 5. Restaurirte Schale, Oberseite.
Fig. 5a. » » Seitenansicht.
Fig. 5b. » » Unterseite.
Fig. 6. Ambulacralfeld, ergänzt und stark vergr.
Fig. 6a. Interambulacralfeld, ergänzt und stark vergr.
Fig. 7. Scheitelschild, nach einem Abdruck von Fig. 3b., stark vergr.

Fig. 1, 2, 3 und 4 aus der Zone A_1.



E. Ohmann del et lith. Druck v. C. Müller.

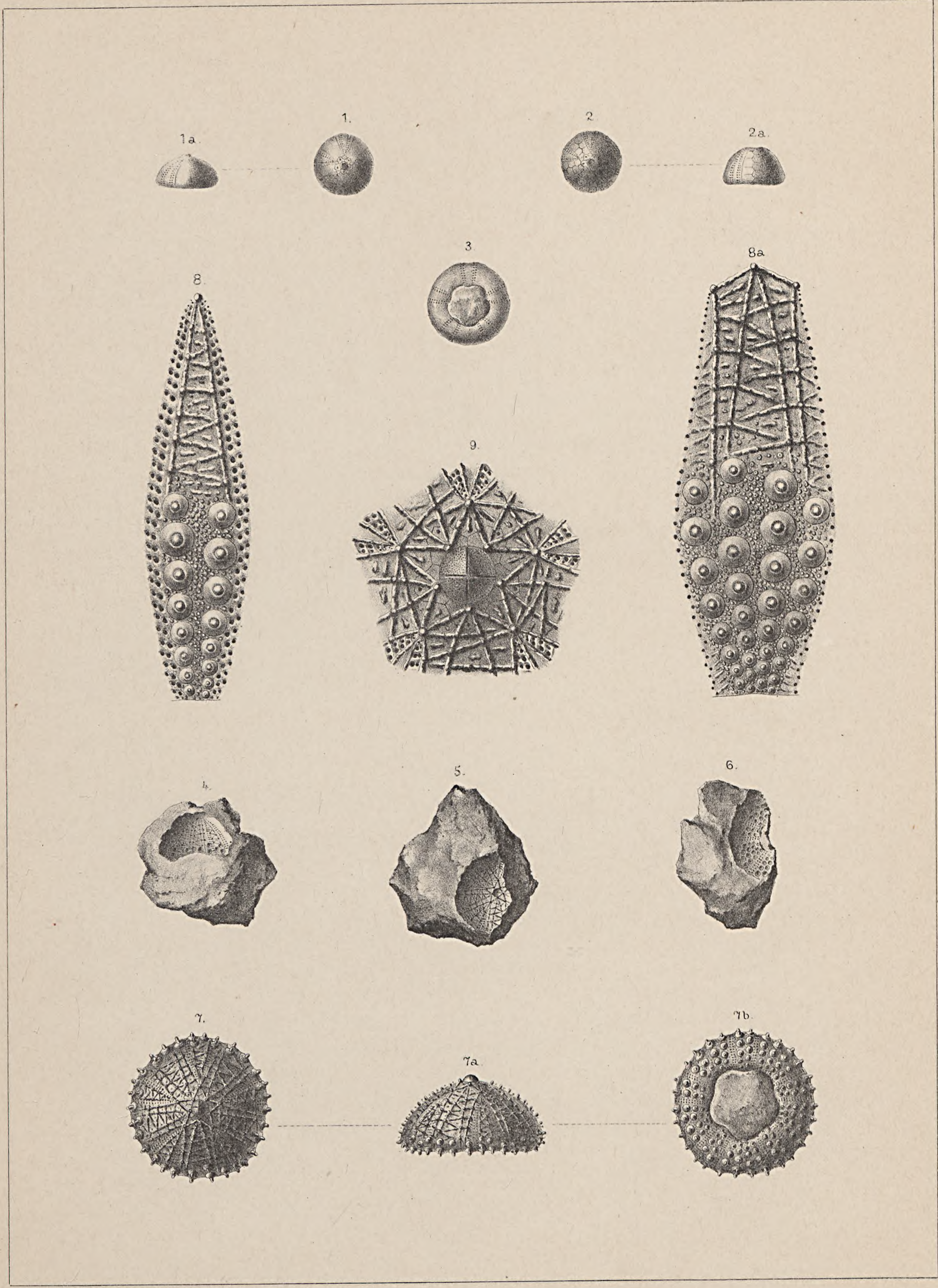


Tafel II.

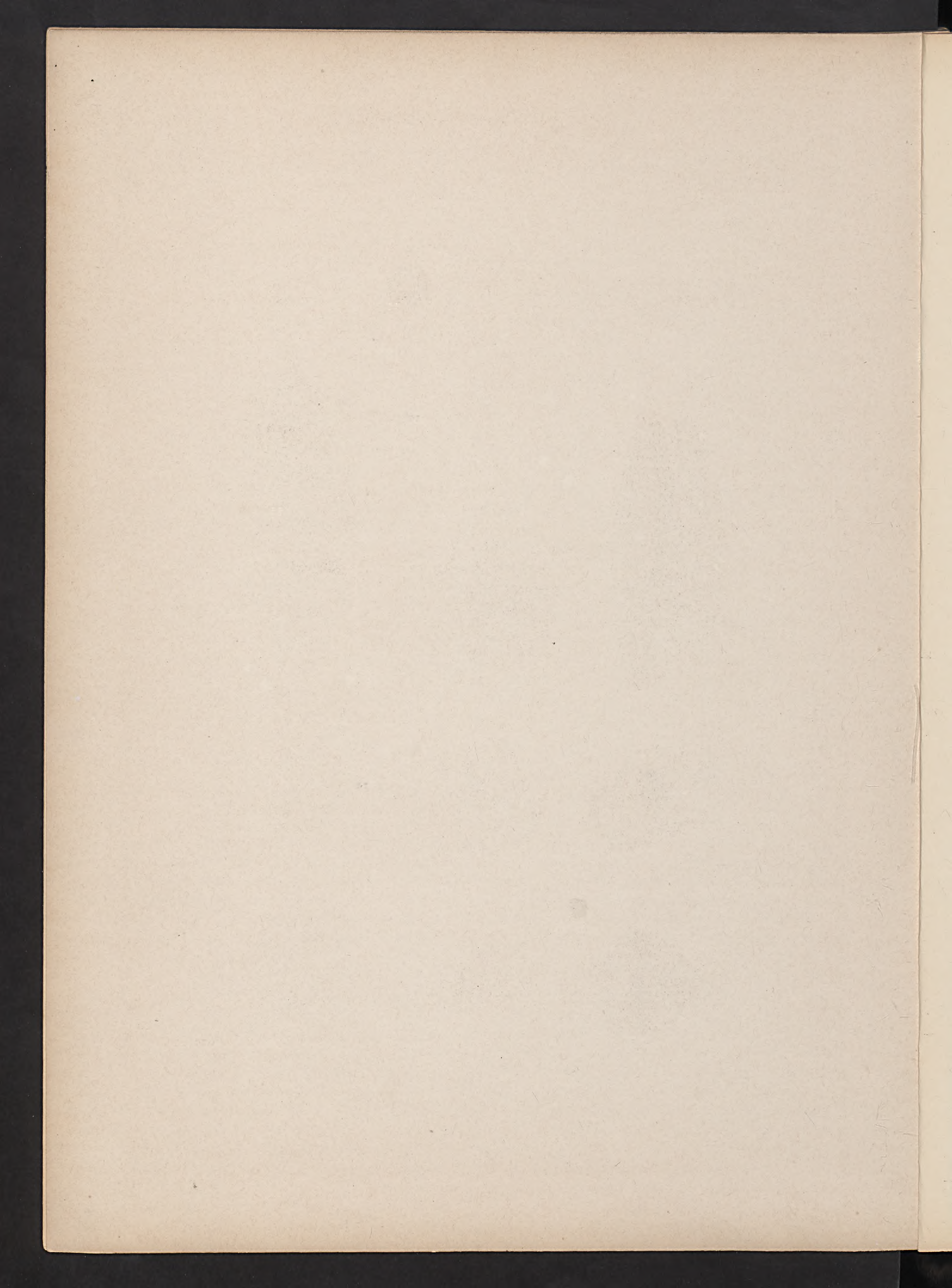
Baueria geometrica sp. n.

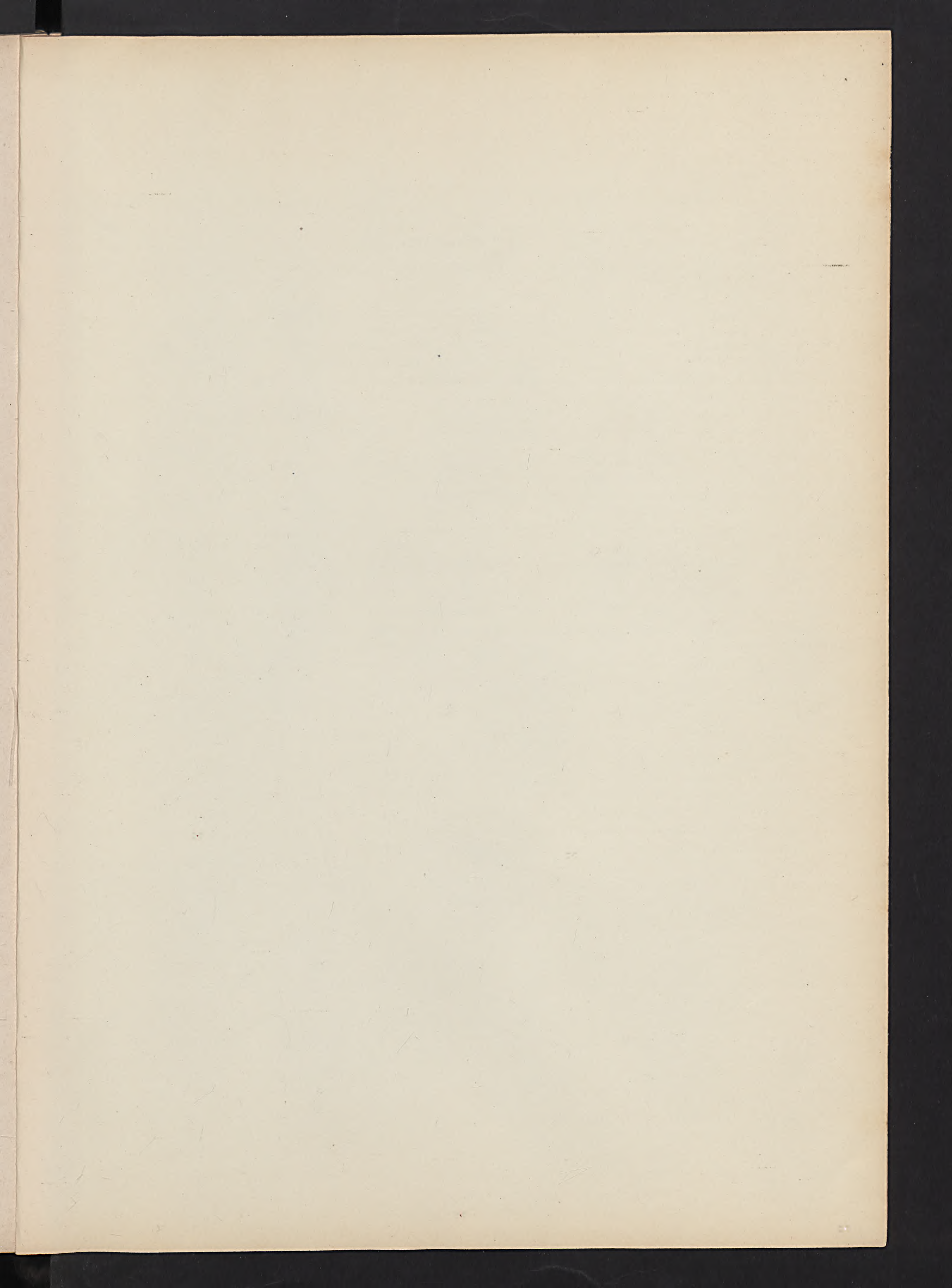
Fig. 1.	Steinkern; Oberseite.	
Fig. 1 a.	» Seitenansicht.	
Fig. 2.	Steinkern, Oberseite;	var. alta.
Fig. 2 a.	» Seitenansicht;	var. alta.
Fig. 3.	Steinkern, Unterseite.	
Fig. 4.	Abdruck, Seitenansicht.	
Fig. 5.	Abdruck, Oberseite.	
Fig. 6.	Abdruck, Unterseite.	
Fig. 7.	Restaurirte und vergrösserte Schale, Oberseite.	
Fig. 7 a.	» » » » Seitenansicht.	
Fig. 7 b.	» » » » Unterseite.	
	(Die Warzenköpfe sind zu lang gezeichnet.)	
Fig. 8.	Ambulacralfeld, ergänzt und stark vergr.	
Fig. 8 a.	Interambulacralfeld, ergänzt und stark vergr.	
Fig. 9.	Scheitelschild, nach einem Abdruck von Fig. 5, stark vergr.	

Fig. 1, 2, 3, 4, 5, 6 aus der Zone A_1.



E. Ohmann del. et lith. Druck v. C. Müller

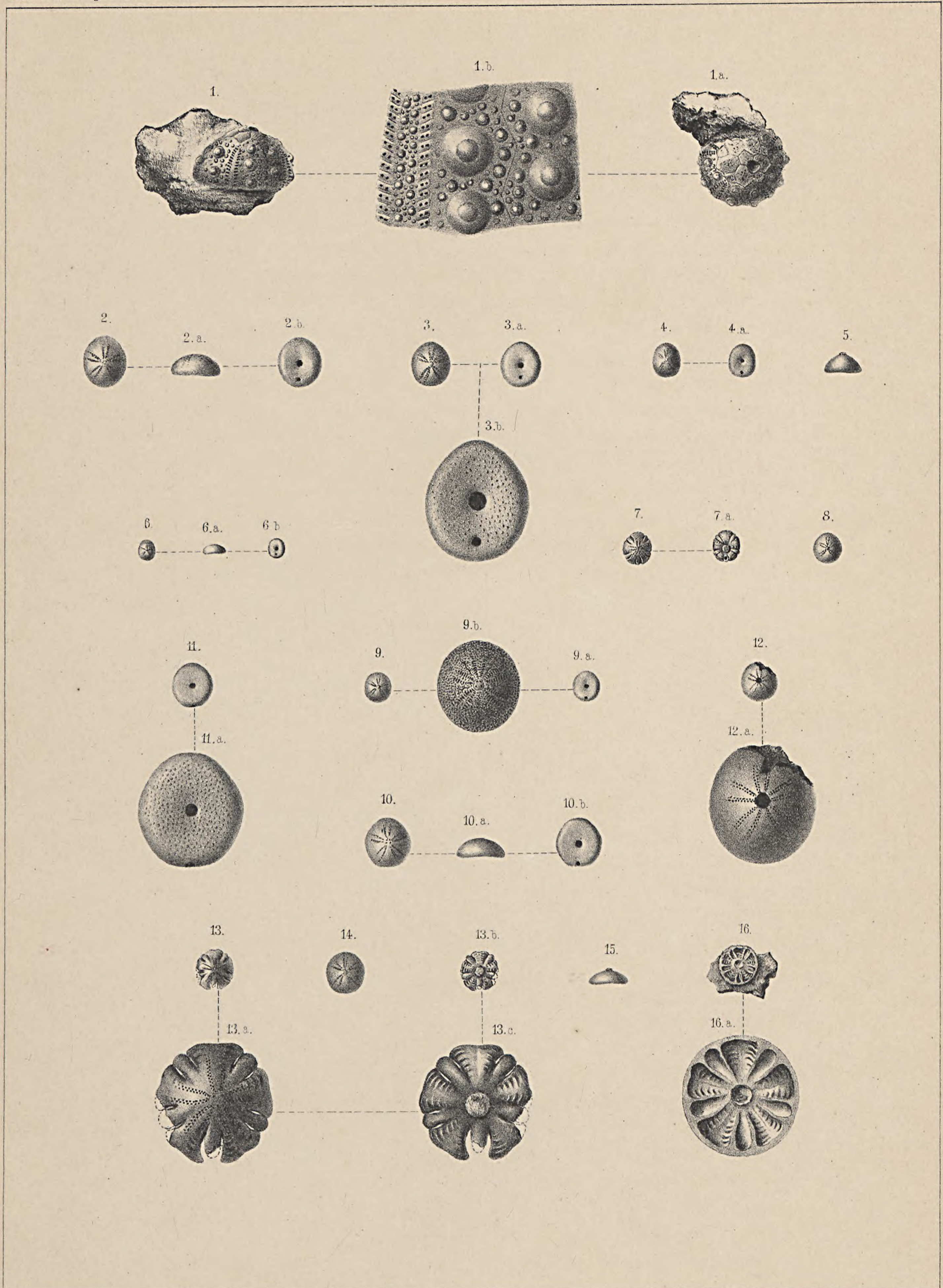




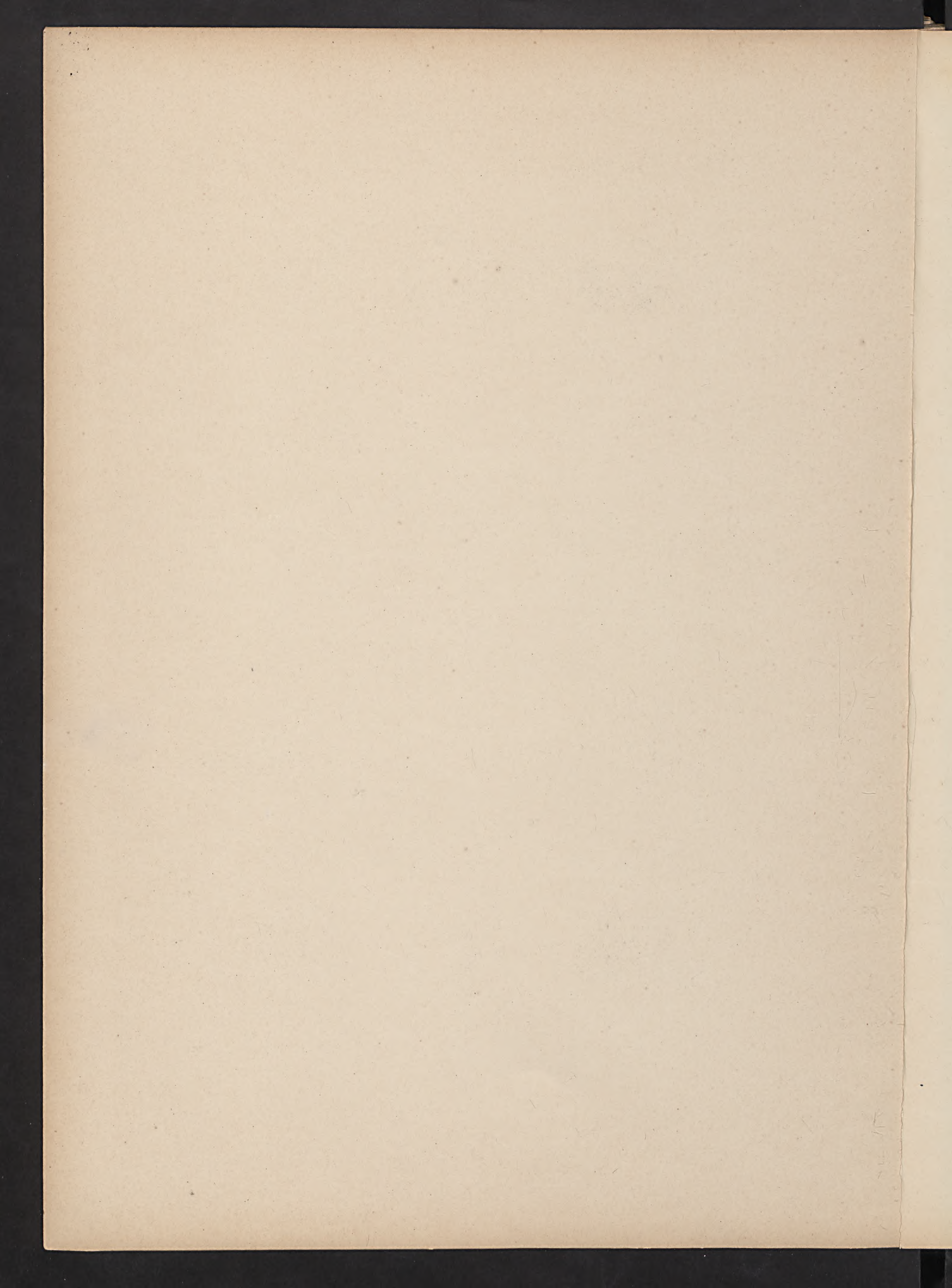
Tafel III.

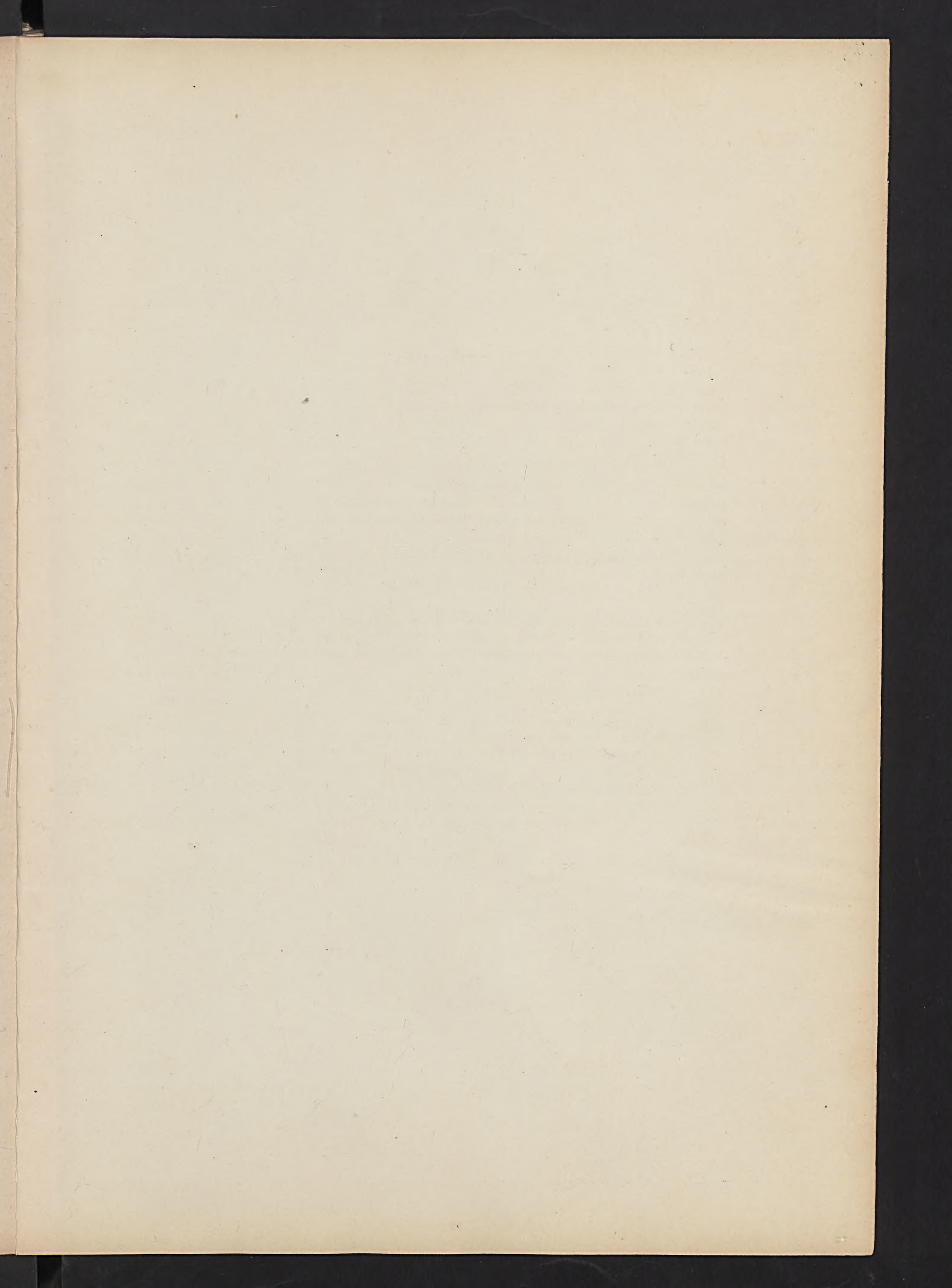
Fig. 1. *Salenia Pellati* Cott., Seitenansicht.
Fig. 1a. » » » Oberseite.
Fig. 1b. » » » Ambulacral- mit Interambulacralfeld, stark vergr.
Fig. 2. *Echinocyamus piriformis* Agass., ovale Form; Oberseite.
Fig. 2a. » » » » » Seitenansicht.
Fig. 2b. » » » » » Unterseite.
Fig. 3. *Echinocyamus piriformis* Agass., fünfeckige Form; Oberseite.
Fig. 3a. » » » » » Unterseite.
Fig. 3b. » » » » » Unterseite stark vergr.
Fig. 4. *Echinocyamus piriformis* Agass., birnförmige Varietät; Oberseite.
Fig. 4a. » » » » » Unterseite.
Fig. 5. *Echinocyamus piriformis* Agass., hochgewölbte runde Varietät; Seitenansicht.
Fig. 6. *Echinocyamus piriformis* Agass., Oberseite.
Fig. 6a. » » » Seitenansicht.
Fig. 6b. » » » Unterseite.
Fig. 7. *Echinocyamus piriformis* Agass., Steinkern, Oberseite.
Fig. 7a. » » » » Unterseite.
Fig. 8. *Echinocyamus piriformis* Agass., hochgewölbte runde Form; Oberseite.
Fig. 9. *Scutellina Michelini* Cott. sp., Oberseite.
Fig. 9a. » » » » Unterseite.
Fig. 9b. » » » » Oberseite, stark vergr.
Fig. 10. *Scutellina Michelini* Cott. sp., fünfeckige Form; Oberseite.
Fig. 10a. » » » » » » Seitenansicht.
Fig. 10b. » » » » » » Unterseite.
Fig. 11. *Scutellina Michelini* Cott. sp., fünfeckige Form mit hart marginalem After; Unterseite.
Fig. 11a. » » » » » » » » » » » stark vergr.
Fig. 12. *Scutellina Michelini* Cott. sp., ovale Form; Oberseite.
Fig. 12a. » » » » » » Oberseite, stark vergr.
Fig. 13. *Scutellina Michelini* Cott. sp., Steinkern, Oberseite.
Fig. 13a. » » » » » » stark vergr.
Fig. 13b. » » » » » Unterseite.
Fig. 13c. » » » » » » stark vergr.
Fig. 14. *Scutellina Michelini* Cott. sp., Oberseite.
Fig. 15. *Scutellina Michelini* Cott. sp., Seitenansicht.
Fig. 16. *Scutellina Michelini* Cott. sp., Innenfläche der Unterseite.
Fig. 16a. » » » » » » » stark vergr.

Fig. 2, 3, 4, 5, 6, 8, 9, 10, 11, 12, 14, 15, 16 aus der Zone A_2
Fig. 1, 7, 13 aus der Zone A_1.



E. Ohmann del et lith. Druck A. Renaud.





Tafel IV.

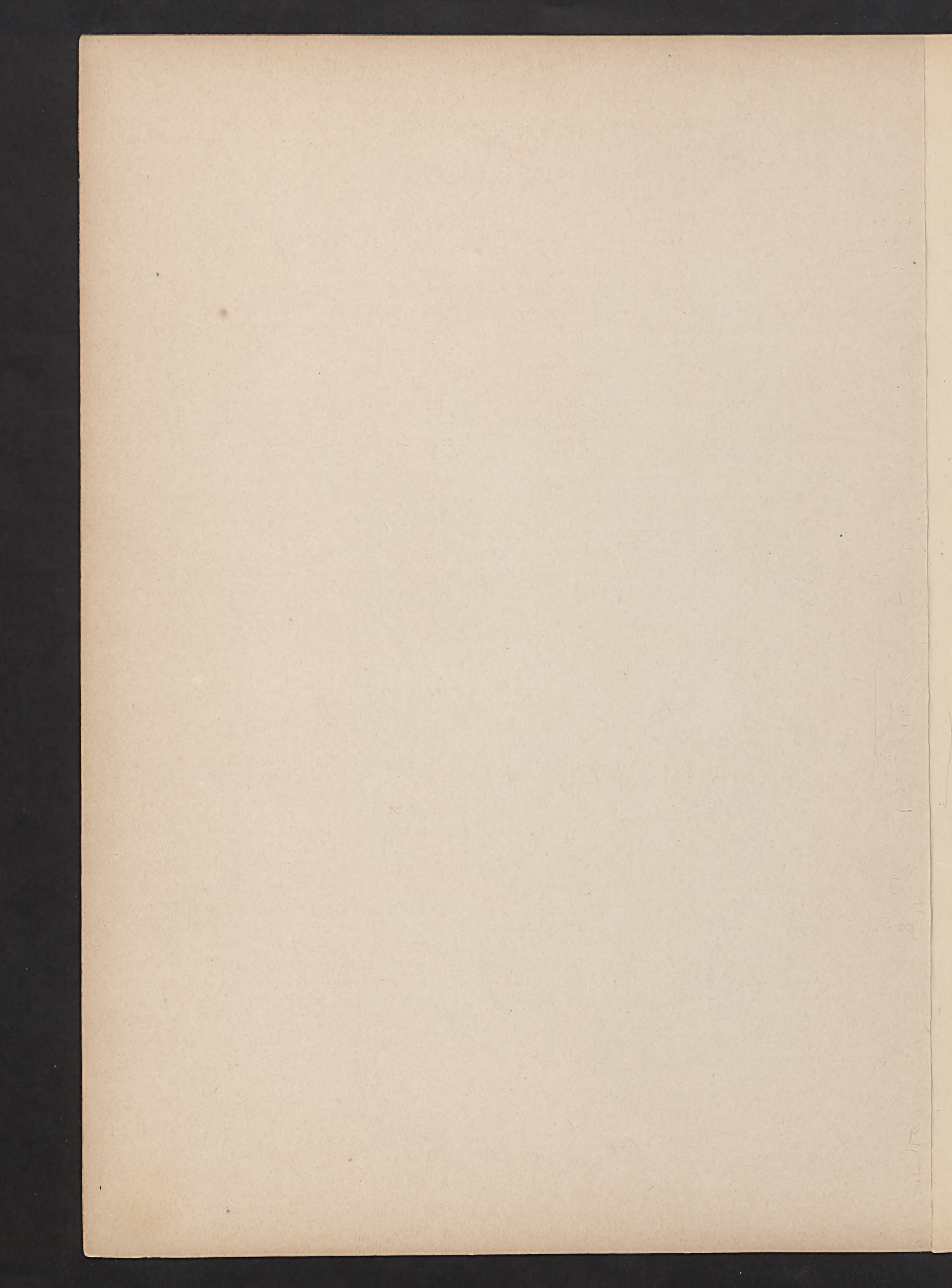
Fig. 1. *Lenita patellaris* (Leske) Agass., Oberseite.
Fig. 1 a. » » » » Seitenansicht.
Fig. 1 b. » » » » Unterseite.
Fig. 1 c. » » » » Hinterseite.
Fig. 1 d. » » » » Oberseite, stark vergr.
Fig. 2. *Lenita patellaris* (Leske) Agass., Oberseite.
Fig. 2 a. » » » » Unterseite, stark vergr.
Fig. 3. *Lenita patellaris* (Leske) Agass., Oberseite, etwas verwittert.
Fig. 4. *Lenita patellaris* (Leske) Agass., Oberseite.
Fig. 5. *Lenita patellaris* (Leske) Agass., Steinkern, Oberseite.
Fig. 5 a. » » » » » » stark vergr.
Fig. 6. *Echinarachnius germanicus* Beyrich sp., Oberseite, nat. Grösse.
Fig. 6 a. » » » » » stark vergr.
Fig. 7. *Echinarachnius germanicus* Beyrich sp., Oberseite (runde Form).
Fig. 8. *Echinarachnius germanicus* Beyrich sp., Unterseite.
Fig. 9. *Echinarachnius germanicus* Beyrich sp., (jugendliches Exemplar), Oberseite.
Fig. 9 a. » » » » » » Unterseite.
Fig. 10. *Echinarachnius germanicus* Beyrich sp., Innere Fläche der Oberseite.
Fig. 10 a. » » » » Innenfläche der Ambulacralfelder, stark vergr.
Fig. 11. *Echinarachnius germanicus* Beyrich sp., Oberseite.
Fig. 12. *Echinarachnius germanicus* Beyrich sp., Seitenansicht.
Fig. 13. *Echinolampas subsimilis* d'Arch., Oberseite.
Fig. 13 a. » » » Seitenansicht.
Fig. 14. *Echinolampas subsimilis* d'Arch., Unterseite.

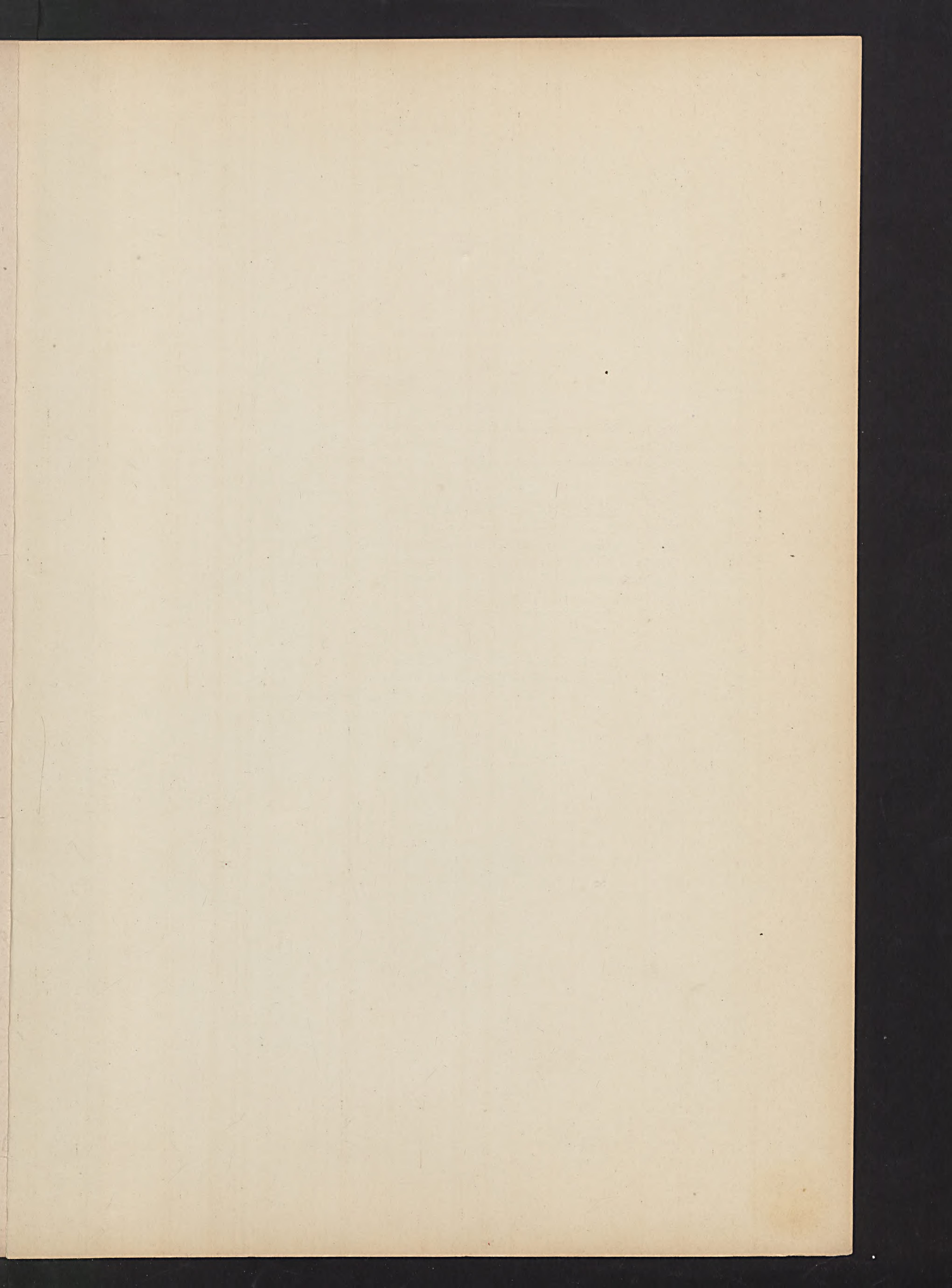
Fig. 1, 2, 3, 4, 6, 7, 8, 9, 10, 11, 12 aus der Zone A_2
Fig. 5, 13 aus der Zone A_1.



E. Ohmann del et lith.

Druck v. C. Müller.

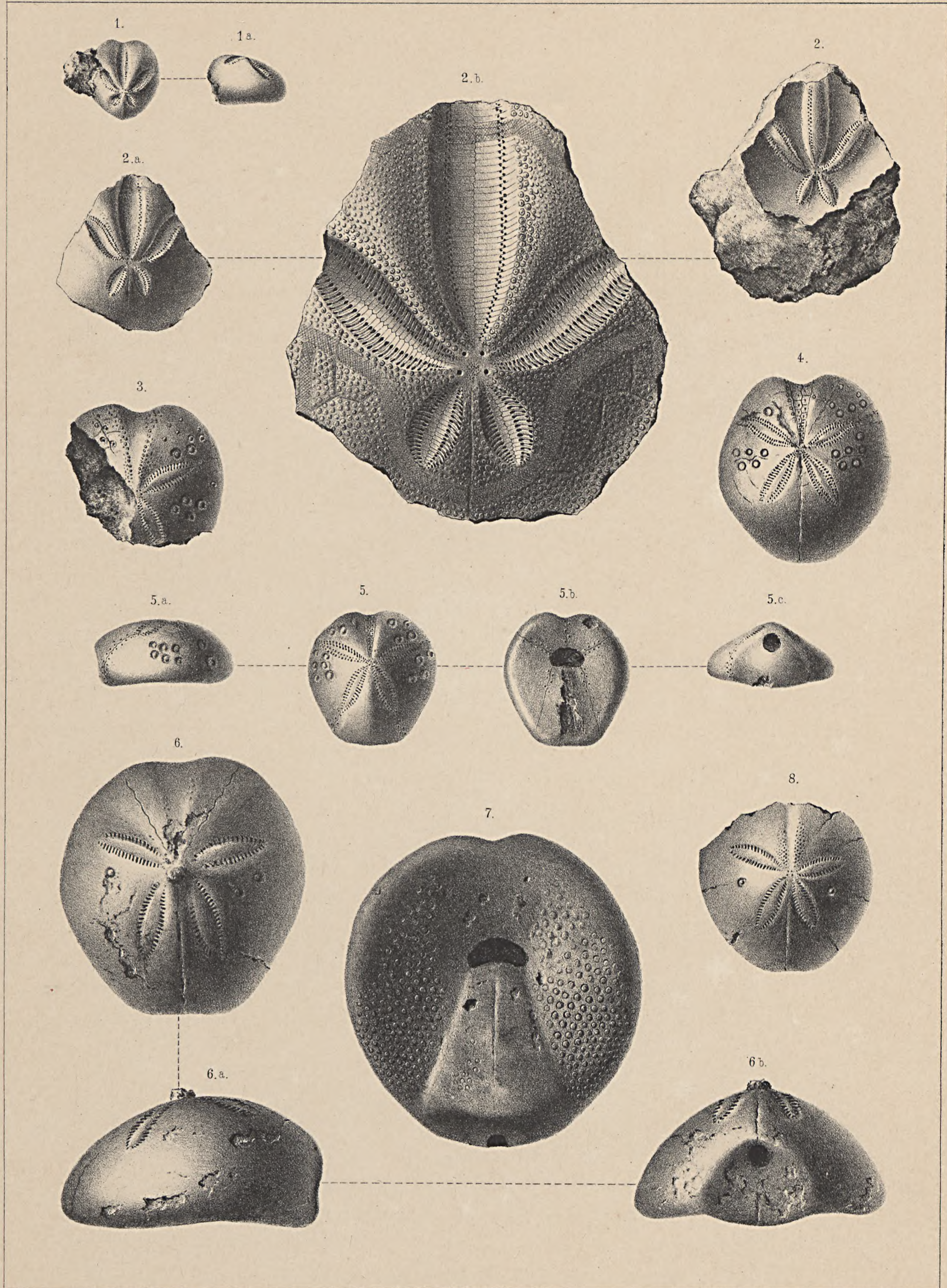




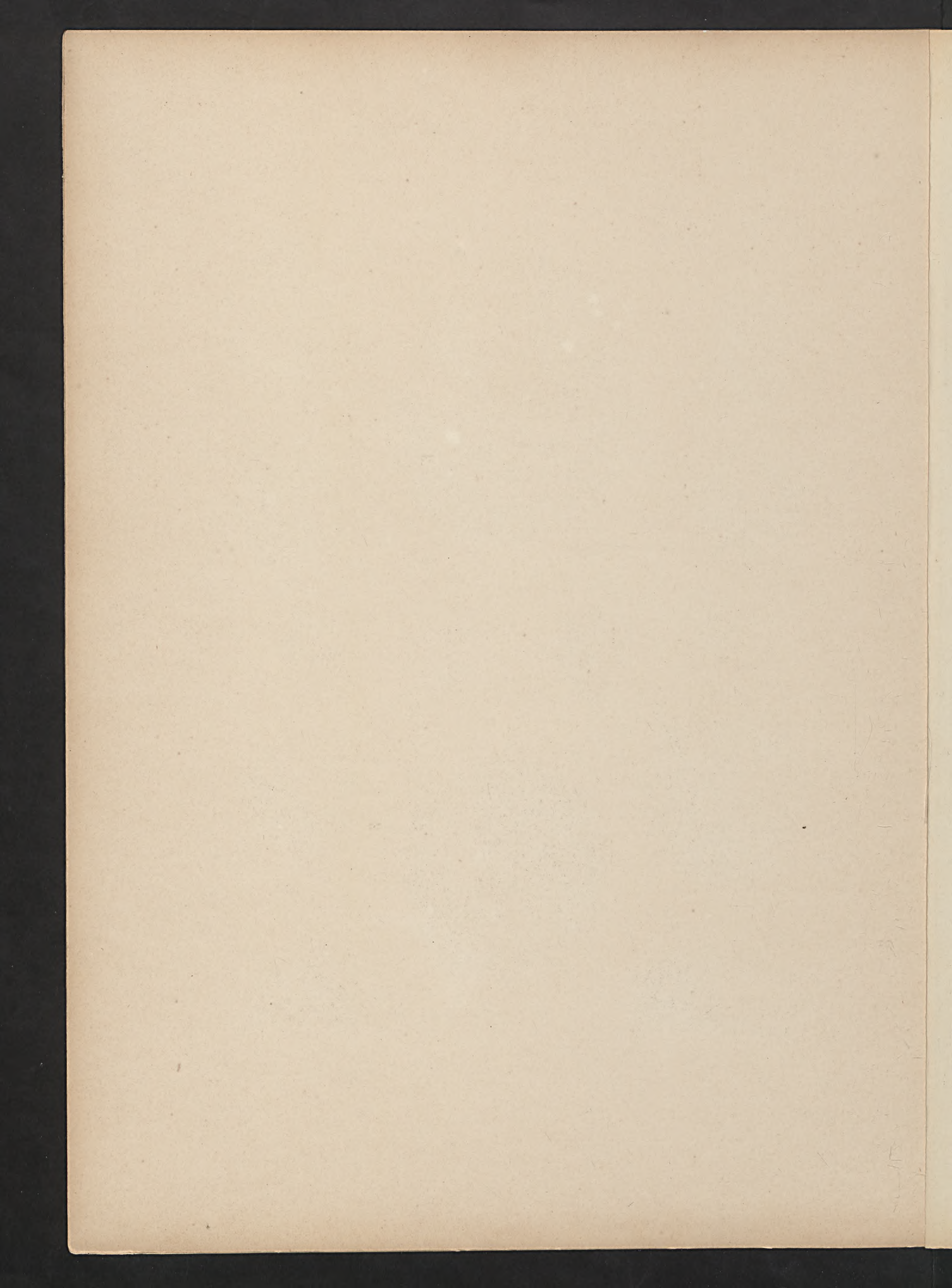
Tafel V.

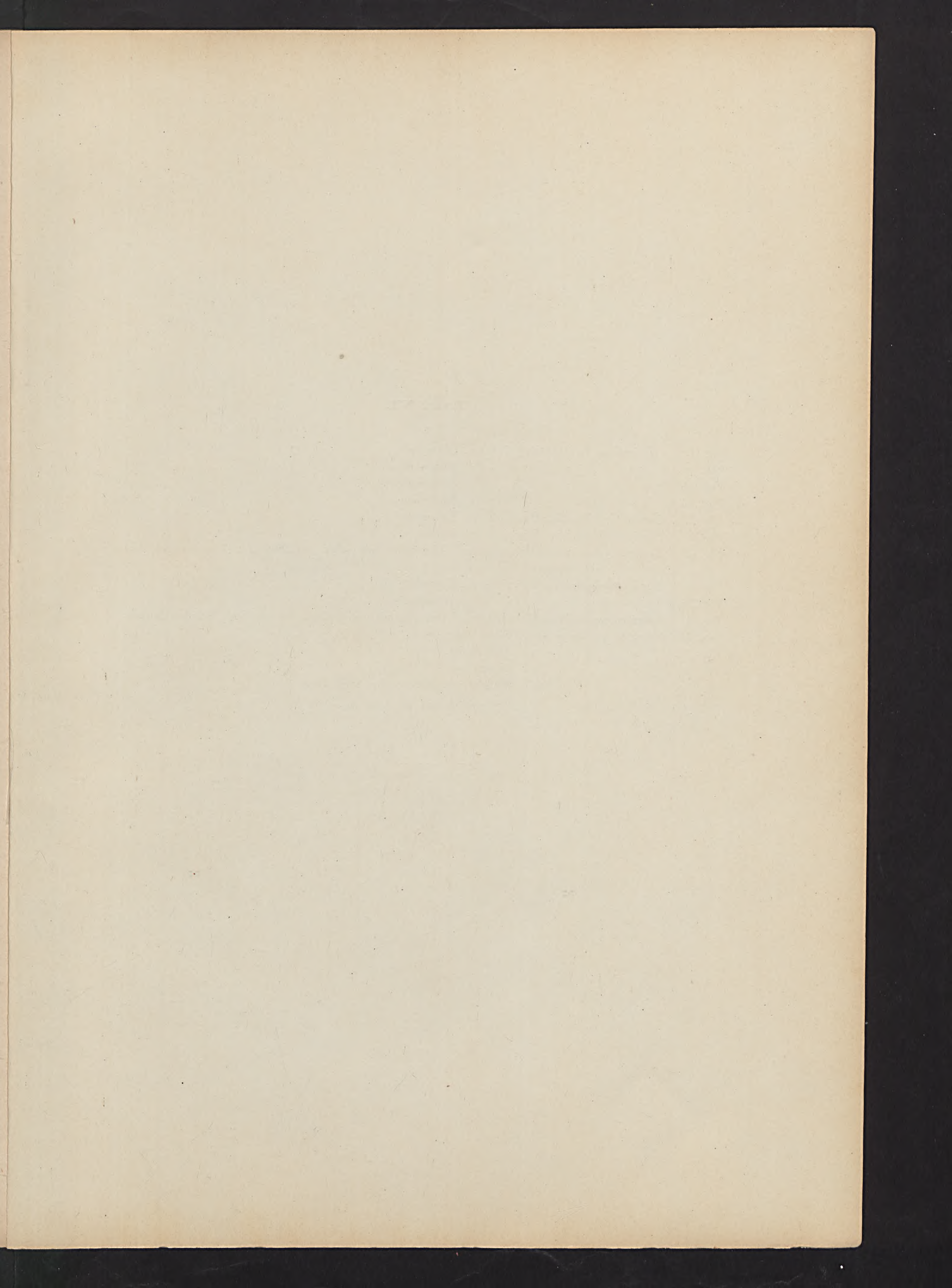
Fig. 1. *Schizaster acuminatus* Agass., Oberseite.
Fig. 1a. » » » Seitenansicht.
Fig. 2. *Schizaster acuminatus* Agass., Abdruck der Ambulacralfelder.
Fig. 2a. » » » Wachsabguss von Fig. 2.
Fig. 2b. » » » Fig. 2a., stark vergrössert.
Fig. 3. *Maretia Grigonensis* Desm. sp., Oberseite.
Fig. 4. *Maretia Grigonensis* Desm. sp., Oberseite.
Fig. 5. *Maretia Grigonensis* Desm. sp., Seitenansicht.
Fig. 5a. » » » » Oberseite.
Fig. 5b. » » » » Unterseite.
Fig. 5c. » » » » Hinterseite.
Fig. 6. *Maretia Sambiensis* Beyrich sp., Oberseite.
Fig. 6a. » » » » Seitenansicht.
Fig. 6b. » » » » Hinterseite.
Fig. 7. *Maretia Sambiensis* Beyrich sp., Unterseite.
Fig. 8. *Maretia Sambiensis* Beyrich sp., Oberseite.

Fig. 3, 6, 7, 8 aus der Zone A_2
Fig. 1, 2, 4, 5 aus der Zone A_1.



E. Ohmann del et lith. Druck A. Renaud.





Tafel VI.

Fig. 1. *Laevipatagus bigibbus* Beyrich sp., Oberseite.
Fig. 1a. » » » » Unterseite.
Fig. 1b. » » » » Seitenansicht.
Fig. 1c. » » » » Hinterseite.
Fig. 2. *Laevipatagus bigibbus* Beyrich sp., Unterseite.
Fig. 3. *Laevipatagus bigibbus* Beyrich sp., Unterseite.
Fig. 4. *Laevipatagus bigibbus* Beyrich sp., Unterseite mit stark verkümmerten blasenartigen Anschwellungen.
Fig. 5. *Laevipatagus bigibbus* Beyrich sp., Unterseite.
Fig. 5a. » » » » Hinterseite.
Fig. 6. *Laevipatagus bigibbus* Beyrich sp., Unterseite mit dreitheiligen blasenartigen Anschwellungen.
Fig. 7. *Crenaster poritoides* Des., Seitenfläche.
Fig. 7a. » » » Aussenseite.
Fig. 7b. » » » Innenseite.
Fig. 7c. » » » Skulptur der Aussenseite, stark vergr.

Sämmtlich aus der Zone A_2.

F. Noetling. Die Fauna des samländ. Tertiärs.

1. 1a. 1b.

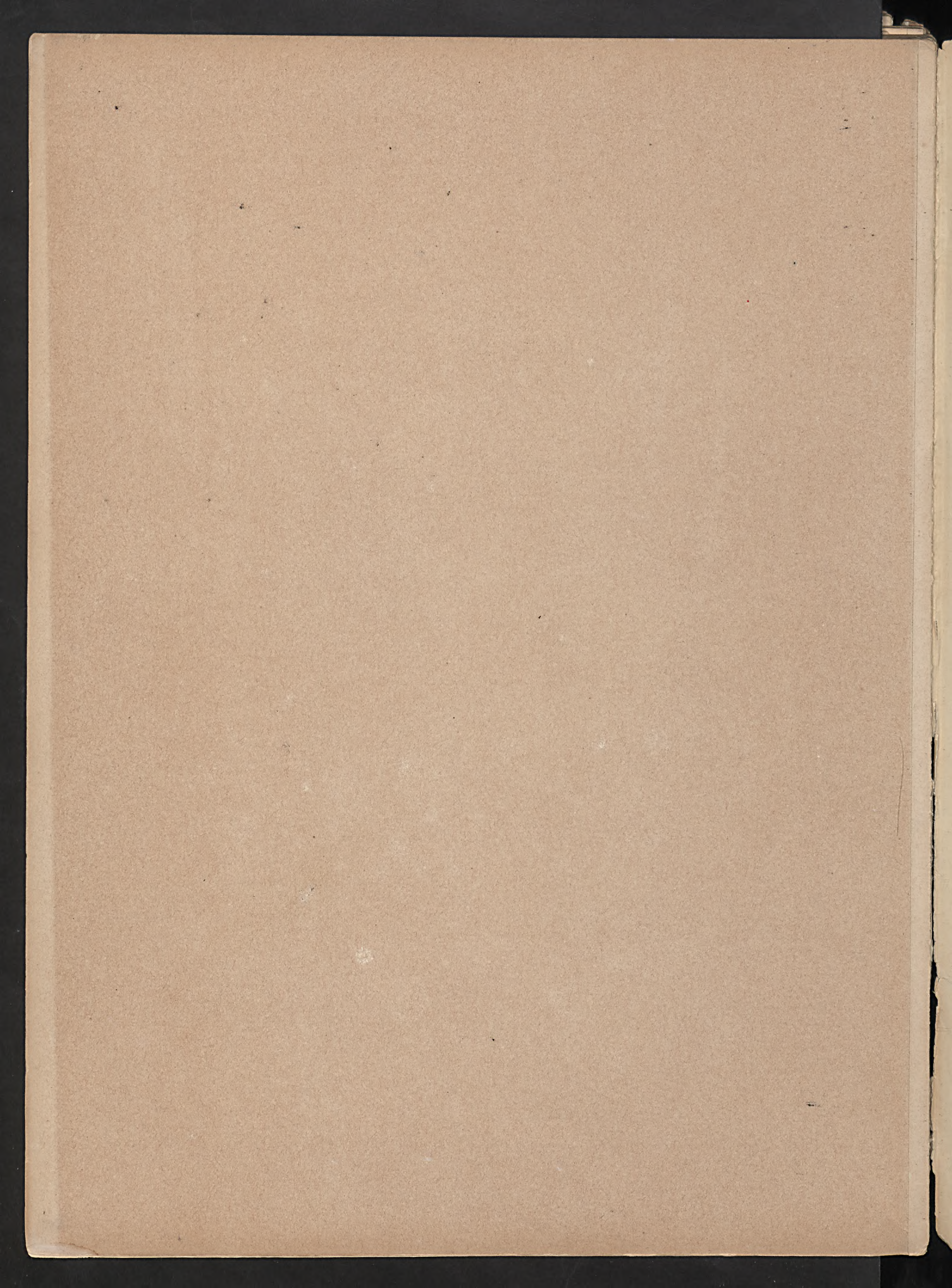
1c. 2.

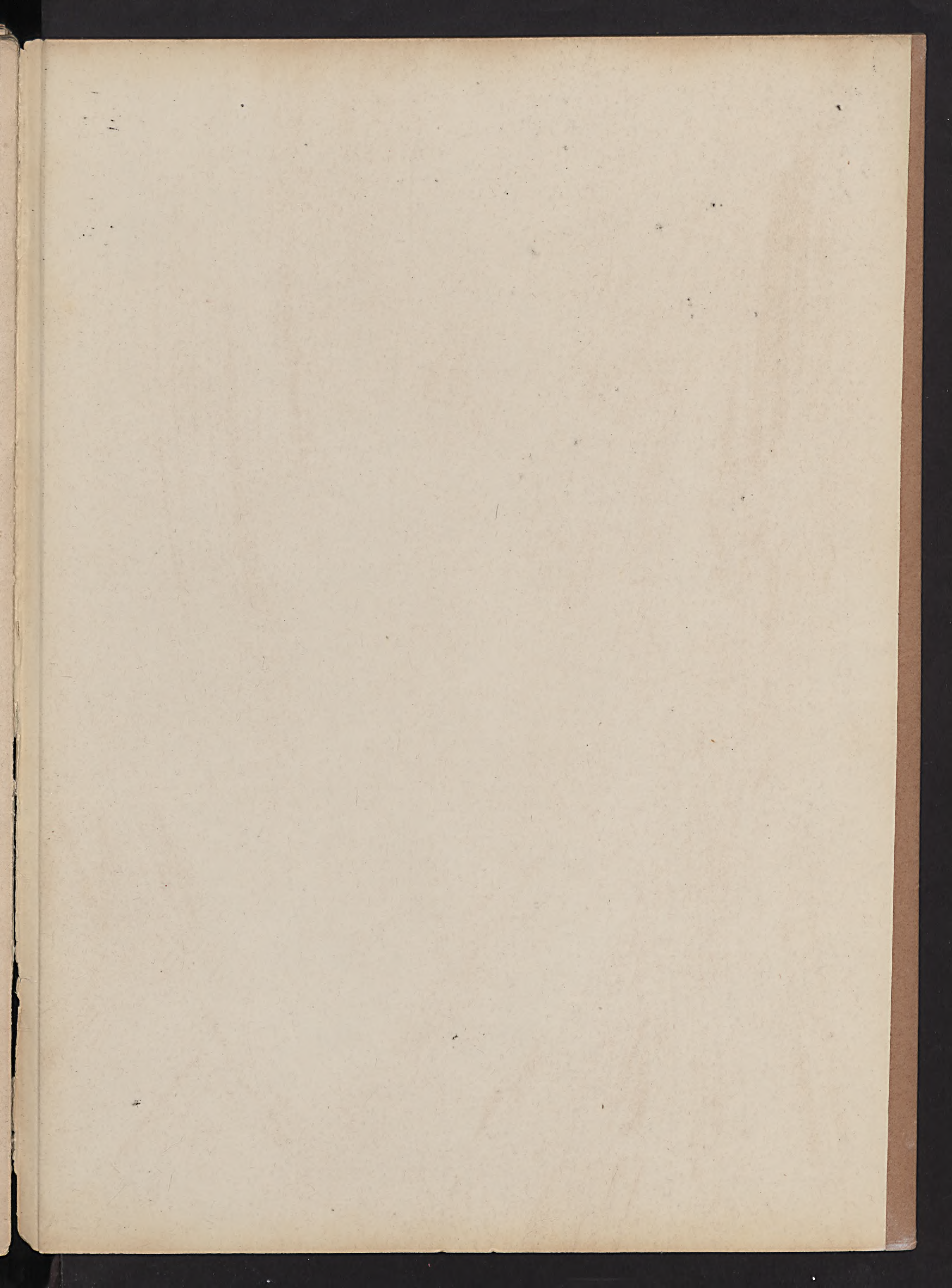
3. 4. 5.

6. 7. 7a. 7b. 7c. 5a.

E. Ohmann del et lith.

Druck v. C. Müller.





A. W. Schade's Buchdruckerei (L. Schade) in Berlin, Stallschreiberstr. 45/46.